

T.C.

ALANYA ALAADDİN KEYKUBAT ÜNİVERSİTESİ
FEN BİLİMLERİ ENSTİTÜSÜ

DİŞ İMLANTILARINA YÖNELİK ZİRKONYA ESASLI KOMPOZİTLERİN
GELİŞTİRİLMESİ VE KARAKTERİZASYONU

Yüksek Lisans Tezi

Bilal SÖYLEMEZ

Ana Bilim Dalı: Malzeme Bilimi ve Mühendisliği Anabilim Dalı

Program Adı: Malzeme Bilimi ve Mühendisliği Programı

Danışman

Doç. Dr. Hilmi YURDAKUL

(Haziran, 2019)

ETİK İLKE VE KURALLARA UYGUNLUK BEYANNAMESİ

Bu tezin bana ait, özgün bir çalışma olduğunu; çalışmamın hazırlık, veri toplama, analiz ve bilgilerin sunumu olmak üzere tüm aşamalarında bilimsel etik ilke ve kurallara uygun davranışımı; bu çalışma kapsamında elde edilemeyen tüm veri ve bilgiler için kaynak gösterdiğim ve bu kaynaklara kaynakçada yer verdigimi; bu çalışmanın Alanya Alaaddin Keykubat Üniversitesi tarafından kullanılan "bilimsel intihal tespit programıyla tarandığını ve "intihal içermediğini" beyan ederim. Herhangi bir zamanda, çalışmamla ilgili yaptığım bu beyana aykırı bir durumun saptanması durumunda, ortaya çıkacak tüm ahlaki ve hukuki sonuçlara razı olduğumu bildiririm.



Bilal SÖYLEMEZ

TEŞEKKÜR

Günümüzde biyomalzemelere ilgi ve ihtiyaç artarken yeni malzemelerin geliştirilmesi yolunda yapmış olduğumuz bu çalışmaların, bundan sonraki yapılacak olan yeni araştırma ve çalışmalara katkı sağlamasını temenni ederim.

Çalışmalarım boyunca ilgi ve desteğini esirgemeyen, bilgi ve tecrübesiyle bana yol gösteren, sabriyla her daim yardım eden değerli danışman hocam Doç. Dr. Hilmi YURDAKUL'a,

Deneysel çalışmaların hazırlanmasında ve sonuçların yorumlanması aşamasında bilgi ve tecrübeleriyle destek veren, yardımlarını esirgemeyen Arş. Gör. Ercan ŞENER'e,

Deneysel çalışmaların hazırlanmasında yardımlarını eksik etmeyen, destek veren, bilgi ve tecrübesini benimle paylaşan, maddi ve manevi her zaman destekleyen sevgili arkadaşım Koray KAMBUROĞLU'na,

Tez çalışmam boyunca desteklerini esirgemeyen değerli patronum Hasan KARGI ve çalışma arkadaşım Şengül TALAŞOĞLU ile Kübra KARGI'ya,

Değerli kardeşim, arkadaşım Ahmet GÜLTEKİN ve eşine,

Benim bu günlere gelmemde en büyük paya sahip destekçilerim olan, bana inanan, her zaman arkamda olduklarını bildiğim, hissettiğim babam Muhammet SÖYLEMEZ, annem Ayşe SÖYLEMEZ ve kardeşim Hilal SÖYLEMEZ'e,

Çalışmalarım boyunca büyük bir sabır ile iyi ve kötü günümde sürekli yanımda olan, tüm sıkıntı ve problemlere birlikte yürüdüğümüz, sevgisiyle desteğini hep yanında hissettiğim değerli eşim Havva SÖYLEMEZ'e sonsuz teşekkür ederim.

Bilal SÖYLEMEZ

ÖZET

DİŞ İMLANTLARINA YÖNELİK ZİRKONYA ESASLI KOMPOZİTLERİN GELİŞTİRİLMESİ VE KARAKTERİZASYONU

Bilal SÖYLEMEZ

Malzeme Bilimi ve Mühendisliği Anabilim Dalı

Alanya Alaaddin Keykubat Üniversitesi, Fen Bilimleri Enstitüsü

Haziran, 2019 (85 Sayfa)

Zirkonya malzemeler üstün özellikleriyle, başta dental uygulamalar olmak üzere insanların biyomalzeme olarak sıkılıkla kullandığı seramik malzemedir. İnsanların yaşadığı herhangi bir kaza sonrası veya yaşlılık, hastalık gibi bir sebeple dişlerini kaybetmesi veya işleminin azalması nedeniyle çok eski yillardan beri farklı biyomalzemeler kullanılmıştır. Dental uygulamalar içerisinde olan diş implantları için zirkonyanın kullanımı, gösterdiği yüksek mekanik özellikler ve biyoyumluluğu nedeniyle ideal bir malzeme olarak bilinmektedir. Dental uygulamalarda kullanılan zirkonyanın tetragonal-monoklinik faz dönüşümüyle hacimindeki değişim karakteristik bir özelliğidir. Saf zirkonyanın kullanımını engelleyen bu durum yüzünden, zirkonya farklı stabilize edici oksitler kullanılarak oda sıcaklığında stabil halde bulunmaları sağlanır. Bu çalışmada, zirkonyanın içerisine itriyum (Y_2O_3) ilavesi ile stabilize edilen, yüksek sertlik gibi üstün mekanik özelliklere sahip Y-TZP ile üstün yüksek sıcaklık özellikleri gösterdiği bilinen Mg ile kısmen stabilize edilmiş Mg-PSZ kullanılmıştır. Tozlar belli oranlarda karıştırıldıktan sonra, kuru pres ve soğuk izostatik presleme (CIP) şekillendirilmiştir. Şekillendirme sonrası numuneler $1450-1500\text{ }^{\circ}\text{C}$ sinterme sıcaklığı ve 1-2 saat sinterleme süresi kullanılarak numuneler hazırlanmıştır. Elde edilen numunelerin vickers sertlikleri, faz oranları, kırılma toklukları, sinterleme sonrası azalmaları, teorik yoğunlukları ve su emme oranları gibi özellikleri karakterize edilmiş, diş implantı olarak kullanabilecek kompozit malzemeye uygunluğu yorumlanmıştır.

Anahtar Sözcükler: Zirkonya, Y-TZP, Mg-PSZ, Biyomalzeme, Diş implantı.

ABSTRACT

DEVELOPMENT AND CHARACTERIZATION OF ZIRCONIA BASED COMPOSITES FOR DENTAL IMPLANTS

Bilal SÖYLEMEZ

Department of Materials Science and Engineering

Alanya Alaaddin Keykubat University, Graduate School of Natural and Applied
Sciences

June, 2019

Zirconia materials, with their superior properties, are ceramic materials that people use frequently as biomaterials notably for dental applications. For many years, different biomaterials have been used after any accident or due to the loss of teeth due to old age, illness or decrease in the functionality of tooth. Zirconia usage for dental implants is known as an ideal material because of its high mechanical properties and biocompatibility. The change in volume of zirconia used in dental applications with tetragonal-monoclinic phase transformation is a characteristic feature. Due to this situation which prevents the use of pure zirconia, zirconia is stabilized at room temperature by using different stabilizing oxides. In this study, into zirconia, Y-TZP which has high mechanical properties such as high hardness- stabilized with the addition of yttrium (Y_2O_3), Mg, which is known to have superior high temperature properties, and partially stabilized Mg-PSZ were used. After mixing the powders at certain rates, dry-press and cold isostatic pressing (CIP) are formed. After the forming, the samples were prepared by using 1450-1500°C sintering temperature and 1-2 hours sintering time. The properties of the obtained samples such as Vickers hardness, phase rates, fracture toughness, post-sintering reduction, theoretical densities and water absorption rates were characterized and the suitability of the composite material which can be used as dental implant was interpreted.

Keywords: Zirconia, Y-TZP, Mg-PSZ, Biomaterial, Dental implant.

İÇİNDEKİLER

TEŞEKKÜR.....	III
ÖZET	IV
ABSTRACT.....	V
İÇİNDEKİLER	VI
TABLOLAR LİSTESİ.....	IX
ŞEKİLLER TABLOSU	XI
SİMGELER VE KISALTMALAR	XIII
1.GİRİŞ	1
2.LİTERATÜR	6
2.1 Biyomalzemeler ve Biyomalzemelerin Gelişimi	6
2.1.2 Biyouyumluluk Terimi	10
2.2 Biyomalzemelerin Gruplandırılması	13
2.2.1. Metaller ve Alaşımalar	14
2.2.2. Polimerler	16
2.2.3. Kompozitler.....	16
2.2.4. Seramikler	18
2.2.4.1. Seramiklerin Sınıflandırılması	19
2.2.4.2.1. Metal Seramik Restorasyonlar.....	21
2.2.4.2.2. Tam Seramik Restorasyonlar.....	21
2.2.4.2.3 Zirkonya Tam Seramik Restorasyonlar	22
2.3 Zirkonya	22
2.3.1 Dönüşüm Toklaşması	25
2.3.2 Diş Hekimliğinde Kullanılan Zirkonya İçerikli Seramikler	26
2.3.2.1 İtriyum ile Stabilize Edilmiş Tetragonal Zirkonya Polikristalleri (Y-TZP)	26
2.3.2.2 Zirkonya ile sertleştirilmiş alümina seramik (ZTA)	28
2.3.2.3 Magnezyum katyon katkılı kısmen stabilize zirkonya (Mg-PSZ) ...	28
2.3.2.4 Seryum ile stabilize edilmiş zirkonya-Alümina kompoziti (Ce-TZP/A)	30
3.YÖNTEM	31
3.1 Amaç	31
3.2 Deney Programı	31
3.3 Deneylerde Kullanılan Malzemeler	34

3.3.1 İtriyum (Y) İle Stabilize Edilmiş Tetragonal Zirkonya Polikristalleri (Y-TZP).....	34
3.3.2 Magnezyum (Mg) İle Kısmi Stabilize Edilmiş Zirkonya (Mg-PSZ)	34
3.4 Kompozisyonların Belirlenmesi.....	34
3.5 Karıştırma ve Homojenizasyon İşlemi	34
3.6 Şekillendirme	35
3.6.1 Kuru presleme	35
3.6.2 Soğuk İzostatik Presleme	35
3.7 Uzaklaştırma	36
3.8 Sinterleme	36
3.9 Numunelere Uygulanan Testler	39
3.9.1 Sertlik Ölçümleri	39
3.9.2 Kırılma Tokluğu Ölçümleri.....	40
3.9.4 X-işını Difraksiyonu(XRD).....	42
3.9.5 SEM ve EDS	43
4.BULGULAR.....	44
4.1 Numunelere Uygulanan Testlerin Sonuçları	44
4.1.1 Fiziksel Testlerin Sonuçları.....	44
4.1.1.1 %100 Y-TZP Numunelerinin Fiziksel Test Sonuçları	44
4.1.1.2 %75 Y-TZP ve %25 Mg-PSZ İçeren Numunelerin Fiziksel Test Sonuçları	46
4.1.1.3 %50 Y-TZP ve %50 Mg-PSZ İçeren Numunelerin Fiziksel Test Sonuçları	49
4.1.1.4 %25 Y-TZP ve %75 Mg-PSZ İçeren Numunelerin Fiziksel Test Sonuçları	51
4.1.1.5 %100 Mg-PSZ İçeren Numunelerin Fiziksel Test Sonuçları	53
4.1.1.6 Fiziksel Testlerin Toplu Sonuçları.....	55
4.1.2 Sertlik ve Kırılma Tokluğu Testlerinin Sonuçları	57
4.1.2.1 %100 Y-TZP Numunelerinin Sertlik ve Kırılma Tokluğu Test Sonuçları	58
4.1.2.2 %75 Y-TZP ve %25 Mg-PSZ İçeren Numunelerin Sertlik ve Kırılma Tokluğu Test Sonuçları.....	60
4.1.2.3 %50 Y-TZP ve %50 Mg-PSZ İçeren Numunelerin Sertlik ve Kırılma Tokluğu Test Sonuçları.....	61
4.1.2.4 %25 Y-TZP ve %75 Mg-PSZ İçeren Numunelerin Sertlik ve Kırılma Tokluğu Test Sonuçları.....	62
4.1.2.5 %100 Mg-PSZ Numunelerinin Sertlik ve Kırılma Tokluğu Test Sonuçları	63

4.1.2.6 Sertlik ve Kırılma Tokluğu Testlerinin Toplu Sonuçları	64
4.1.3 X-ışınları Difraksiyonu(XRD) Faz Analiz Sonuçları.....	66
4.1.3.1 Sinterleme Sıcaklıklarına göre XRD Sonuçları ve Faz Analizi.....	66
4.1.3.1.1 1450°C/1 saat sinterlenmiş numunelerin XRD sonuçları	66
4.1.3.1.2 1450°C/2 saat sinterlenmiş numunelerin XRD sonuçları	67
4.1.3.1.3 1500°C/1 saat sinterlenmiş numunelerin XRD sonuçları	68
4.1.3.1.4 1500°C/2 saat sinterlenmiş numunelerin XRD sonuçları	69
4.1.3.2 Kompozisyon'a Bağlı XRD Sonuçları ve Faz Analizi.....	70
4.1.3.2.1 %100Y-TZP XRD sonuçları.....	70
4.1.3.2.2 %75 Y-TZP/%25 Mg-PSZ XRD sonuçları	71
4.1.3.2.3 %50 Y-TZP/%50 Mg-PSZ XRD sonuçları	72
4.1.3.2.4 %25 Y-TZP/%75 Mg-PSZ XRD sonuçları	73
4.1.3.2.5 %100Mg-PSZ XRD sonuçları	74
4.1.4 SEM ve EDS analizleri Sonuçları	75
4.1.4.1 %100 Y-TZP SEM ve EDS analizleri Sonuçları	75
4.1.4.2 %25 Y-TZP/%75 Mg-PSZ SEM ve EDS analizleri Sonuçları.....	76
4.1.4.3 %100 Mg-PSZ SEM ve EDS analizleri Sonuçları.....	78
5-SONUÇ VE ÖNERİLER	80
6-KAYNAKLAR.....	82
ÖZGEÇMİŞ	85

TABLOLAR LİSTESİ

Tablo 2. 1 Biyomedikal ürünlerde kullanılan doğal ve sentetik malzemeler	7
Tablo 2. 2 Biyomalzemelerin uygulamalarına örnekler.....	10
Tablo 2. 3 Biyoyumlu polimerik malzemeler	16
Tablo 2. 4 Dental seramiklerin sinterleme sıcaklıklarına göre sınıflandırılması	20
Tablo 2. 5 Seramiklerin işleme metoduna göre sınıflandırılması	20
Tablo 2.6 Zirkonyanın mekanik özelliklerı.....	25
Tablo 2. 7 Mg-PSZ, Y-PSZ ve Y-TZP'nin fiziksel özellikleri	25
Tablo 2. 8 TZP genel özelliklerı	27
Tablo 2. 9 İtriyum ile stabilize edilmiş bir zirkonyanın kimyasal bileşimi	27
Tablo 2. 10 MgO KSZ, Y ₂ O ₃ KSZ ve CaO KSZ seramiklerinin mekanik özellikleri... <td>29</td>	29
Tablo 3. 1 Numunelerin kompozisyonları ve uygulanacak sinterleme işlemi	34
Tablo 3. 2 Sinterleme işlemleri ve aşamaları	36
Tablo 4. 1 %100 Y-TZP numunelerinin şekillendirme sonrası ve sinterleme sonrası tartım tablosu.....	44
Tablo 4. 2 %100 Y-TZP numunelerin kuru, yaş ve askıda tartım sonuçları ve % su emme ve % görünür porozite oranları	45
Tablo 4. 3 %100 Y-TZP Numunelerin bulk(yığın) yoğunluk ve % deneysel teorik yoğunlukları	45
Tablo 4. 4 %75 Y-TZP ve %25 Mg-PSZ İçeren Numunelerin şekillendirme sonrası ve sinterleme sonrası tartım tablosu	47
Tablo 4. 5 %75 Y-TZP ve %25 Mg-PSZ İçeren numunelerin kuru, yaş ve askıda tartım sonuçları ve % su emme ve % görünür porozite oranları	47
Tablo 4. 6 %75 Y-TZP ve %25 Mg-PSZ İçeren Numunelerin bulk(yığın) yoğunluk, teorik yoğunlukları ve % deneysel teorik yoğunlukları.....	48
Tablo 4. 7 %50 Y-TZP ve %50 Mg-PSZ İçeren Numunelerin şekillendirme sonrası ve sinterleme sonrası tartım tablosu	49
Tablo 4. 8 %50 Y-TZP ve %50 Mg-PSZ İçeren numunelerin kuru, yaş ve askıda tartım sonuçları ve % su emme ve % görünür porozite oranları	50
Tablo 4. 9 %50 Y-TZP ve %50 Mg-PSZ İçeren Numunelerin bulk(yığın) yoğunluk ve % deneysel teorik yoğunlukları	50
Tablo 4. 10 %25 Y-TZP ve %75 Mg-PSZ İçeren Numunelerin şekillendirme sonrası ve sinterleme sonrası tartım tablosu	51
Tablo 4. 11 %25 Y-TZP ve %75 Mg-PSZ İçeren numunelerin kuru, yaş ve askıda tartım sonuçları ve % su emme ve % görünür porozite oranları.....	52
Tablo 4. 12 %25 Y-TZP ve %75 Mg-PSZ İçeren Numunelerin bulk(yığın) yoğunluk ve %deneysel teorik yoğunlukları	52

Tablo 4. 13 %100 Mg-PSZ İçeren Numunelerin şekillendirme sonrası ve sinterleme sonrası tartım tablosu	53
Tablo 4. 14 %100 Mg-PSZ İçeren numunelerin kuru, yaş ve askıda tartım sonuçları ve % su emme ve % görünürlük porozite oranları	54
Tablo 4. 15 %100 Mg-PSZ İçeren Numunelerin bulk(yığın) yoğunluk ve % deneysel teorik yoğunlukları.....	54
Tablo 4. 16 Farklı oranlarda hazırlanmış Y-TZP ve Mg-PSZ İçeren Numunelerin sinterleme sıcaklığı ve sinterleme sürelerine bağlı değişen fiziksel sonuçları	55
Tablo 4. 17 1450-1500°C 1-2 saat sinterlenmiş %100 Y-TZP numunelerinin sertlik (HV) ve kırılma tokluğu sonuçları (K_{IC}).....	58
Tablo 4. 18 1450-1500°C 1-2 saat sinterlenmiş %75 Y-TZP ve %25 Mg-PSZ numunelerinin sertlik (HV) ve kırılma tokluğu sonuçları (K_{IC})	60
Tablo 4. 19 1450-1500°C 1-2 saat sinterlenmiş %50 Y-TZP ve %50 Mg-PSZ numunelerinin sertlik (HV) ve kırılma tokluğu sonuçları (K_{IC}).....	61
Tablo 4. 20 1450-1500°C 1-2 saat sinterlenmiş %25 Y-TZP ve %75 Mg-PSZ numunelerinin sertlik (HV) ve kırılma tokluğu sonuçları (K_{IC}).....	62
Tablo 4. 21 1450-1500°C 1-2 saat sinterlenmiş %100 Mg-PSZ numunelerinin sertlik (HV) ve kırılma tokluğu sonuçları (K_{IC})	63
Tablo 4. 22 Sertlik ve Kırılma Tokluğu Testlerinin Toplu Sonuçları.....	64
Tablo 4. 23 1450°C - 1 Saat Sinterlenen Numunelerin Faz Oranları.....	66
Tablo 4. 24 1450°C - 2 Saat Sinterlenen Numunelerin Faz Oranları.....	67
Tablo 4. 25 1500°C - 1 Saat Sinterlenen Numunelerin Faz Oranları.....	68
Tablo 4. 26 1500°C - 2 Saat Sinterlenen Numunelerin Faz Oranları.....	69
Tablo 4. 27 100Y-TZP Numunelerin Faz Oranları	70
Tablo 4. 28 75Y-TZP/25Mg-PSZ Numunelerin Faz Oranları	71
Tablo 4. 29 %50 Y-TZP/%50 Mg-PSZ Numunelerin Faz Oranları	72
Tablo 4. 30 25Y-TZP/75Mg-PSZ Numunelerin Faz Oranları	73
Tablo 4. 31 %100 Mg-PSZ Numunelerin Faz Oranları	74
Tablo 4. 32 %100 Y-TZP numunesinin siyah tanenin EDS analiz sonuçları	76
Tablo 4. 33 %25 Y-TZP/%75 Mg-PSZ numunesinin siyah tanenin EDS analiz sonuçları	77
Tablo 4. 34 %25 Y-TZP/%75 Mg-PSZ numunesinin beyaz tanenin EDS analiz sonuçları	77
Tablo 4. 35 %25 Y-TZP/%75 Mg-PSZ numunesinin siyah tanenin EDS analiz sonuçları	78
Tablo 4. 36 %100 Mg-PSZ numunesinin beyaz tanenin EDS analiz sonuçları	79

ŞEKİLLER TABLOSU

Şekil 2. 1 Biyomalzeme biliminin diğer dallarla ilişkisi	8
Şekil 2. 2 Biyoseramik malzemelerin vücut dokuları ile verdiği tepki tipleri	12
Şekil 2. 3 Biyomalzemelere genel bakış.....	13
Şekil 2. 4 Ortopedide kullanılan Çeşitli Kompozitlerin ve Kullanım Yerleri	17
Şekil 2. 5 Zirkonya (ZrO_2) destek kullanılarak yapılan (a) metal desteksiz (tam seramik) ve (b) metal destekli köprü uygulamasının ışık altındaki görüntüleri	21
Şekil 2. 6 Zirkonyum mineralleri: a) Baddeleyit (ZrO_2), b) Zirkon ($ZrSiO_4$).	23
Şekil 2. 7 Zirkonya polimorflarının kristal yapıları.....	24
Şekil 2. 8 Zirkonya biyoinert seramik malzemesinde karşılaşılan dönüşüm toklaştırması	26
Şekil 2. 9 MgO - ZrO_2 faz diyagramı	29
Şekil 3. 1 Deney programı akış şeması.....	33
Şekil 3. 2 Kuru preslemede kullanılan pres	35
Şekil 3. 3 (CIP) Soğuk izostatik presleme cihazı	36
Şekil 3. 4 Numunelerin sinterlenmesi için fırına yerleştirime aşaması	37
Şekil 3. 5 $1450^\circ C$ / 1 saat sinterleme grafiği	37
Şekil 3. 6 $1450^\circ C$ / 2 saat sinterleme grafiği	38
Şekil 3. 7 $1500^\circ C$ / 1 saat sinterleme grafiği	38
Şekil 3. 8 $1500^\circ C$ / 2 saat sinterleme grafiği	39
Şekil 3. 9 Sertlik ve kırılma tokluğunda kullanılan cihaz.....	39
Şekil 3. 10 Su Emdirme İşlemi	41
Şekil 3. 11 Rigaku marka XRD cihazı	42
Şekil 4. 1 %100 Y-TZP % deneysel teorik yoğunluğu.....	46
Şekil 4. 2 %75 Y-TZP/%25 Mg-PSZ % deneysel teorik yoğunluğu	48
Şekil 4. 3 %50 Y-TZP/%50 Mg-PSZ % deneysel teorik yoğunluğu	51
Şekil 4. 4 %25 Y-TZP/%75 Mg-PSZ % deneysel teorik yoğunluğu	53
Şekil 4. 5 %100 Mg-PSZ % deneysel teorik yoğunluğu	55
Şekil 4. 6 Numunelerin toplu % deneysel teorik yoğunluğu	57
Şekil 4. 7 %100 Y-TZP/1500/1 numunesi Vickers Sertlik görüntüleri.....	59
Şekil 4. 8 %100Y-TZP/1500/2 numunesi Vickers Sertlik görüntüleri.....	59
Şekil 4. 9 %100Y-TZP/1450/2 numunesi Vickers Sertlik görüntüleri.....	59
Şekil 4. 10 %100Y-TZP/1450/1 numunesi Vickers Sertlik görüntüleri.....	59
Şekil 4. 11 %100 Y-TZP sertlik ve kırılma tokluğu.....	60
Şekil 4. 12 %75 Y-TZP/%50 Mg-PSZ sertlik ve kırılma tokluğu.....	61

Şekil 4. 13 %50 Y-TZP/%50 Mg-PSZ sertlik ve kırılma tokluğu.....	62
Şekil 4. 14 %25 Y-TZP/%75 Mg-PSZ sertlik ve kırılma tokluğu.....	63
Şekil 4. 15 100 Mg-PSZ sertlik ve kırılma tokluğu.....	64
Şekil 4. 16 Numunelerin toplu sertlik ve kırılma tokluğu	65
Şekil 4. 17 1450°C - 1 Saat Sinterlenmiş Numunelerin XRD Grafiği	66
Şekil 4. 18 1450°C - 1 Saat Sinterlenen Numunelerin Faz Oranları Grafiği.....	67
Şekil 4. 19 1450°C - 2 Saat Sinterlenmiş Numunelerin XRD Grafiği	67
Şekil 4. 20 1450°C - 2 Saat Sinterlenen Numunelerin Faz Oranları Grafiği.....	68
Şekil 4. 21 1500°C - 1 Saat Sinterlenmiş Numunelerin XRD Grafiği	68
Şekil 4. 22 1500°C - 1 Saat Sinterlenen Numunelerin Faz Oranları Grafiği.....	69
Şekil 4. 23 1500°C - 2 Saat Sinterlenmiş Numunelerin XRD Grafiği	69
Şekil 4. 24 1500°C - 2 Saat Sinterlenen Numunelerin Faz Oranları Grafiği.....	70
Şekil 4. 25 %100Y-TZP XRD Grafiği	70
Şekil 4. 26 100Y-TZP Numunelerin Faz Oranları Grafiği	71
Şekil 4. 27 75Y-TZP/25Mg-PSZ XRD Grafiği.....	71
Şekil 4. 28 75Y-TZP/25Mg-PSZ Numunelerin Faz Oranları Grafiği	72
Şekil 4. 29 50Y-TZP/50Mg-PSZ XRD Grafiği.....	72
Şekil 4. 30 %50 Y-TZP/%50 Mg-PSZ Numunelerin Faz Oranları Grafiği	73
Şekil 4. 31 %25 Y-TZP/%75 Mg-PSZ XRD Grafiği	73
Şekil 4. 32 %25 Y-TZP/%75 Mg-PSZ Numunelerin Faz Oranları Grafiği	74
Şekil 4. 33 %100 Mg-PSZ XRD Grafiği	74
Şekil 4. 34 %100 Mg-PSZ Numunelerin Faz Oranları Grafiği	75
Şekil 4. 35 %100 Y-TZP numunesinin SEM görüntüsü (10k X)	75
Şekil 4. 37 %25 Y-TZP/%75 Mg-PSZ numunesinin SEM görüntüsü (10k X,19.25k X)	76
Şekil 4. 38 %25 Y-TZP/%75 Mg-PSZ numunesinin siyah tanenin EDS analizi	76
Şekil 4. 36 %100 Y-TZP numunesinin siyah tanenin EDS analizi	76
Şekil 4. 39 %25 Y-TZP/%75 Mg-PSZ numunesinin beyaz tanenin EDS analizi	77
Şekil 4. 40 %100 Mg-PSZ numunesinin SEM görüntüsü (10k X,16.02k X).....	78
Şekil 4. 41 %100 Mg-PSZ numunesinin siyah tanenin EDS analizi.....	78
Şekil 4. 42 %100 Mg-PSZ numunesinin beyaz tanenin EDS analizi.....	78

SİMGELER VE KISALTMALAR

Simgeler

GPa	Gigapascal
ΔT	Sıcaklık Farkı
E	Elastik Modülü
μm	Mikrometre
T	Sıcaklık ($^{\circ}C$)
P	Yük
MPa	Megapascal

Kısaltmalar

PSZ	Kısmen stabilize edilmiş zirkonya
TZP	Tetragonal zirkonya polikristaller
FSZ	Tam Stabil Zirkonya
ZTA	Zirkonya ile güçlendirilmiş alümina
CIP	Soğuk İzostatik Presleme
XRD	X ışınları difraksiyonu
SEM	Taramalı elektron mikroskopu
t	Tetragonal
m	Monoklinik
VSD	Vickers sertlik değeri
HV	Vickers sertliği
K_c, K_{ic}	Kırılma Tokluğu
EDS	Enerji Dağılımlı X-ışınları Analizi

1.GİRİŞ

Dental tedavi uygulamalarının temel amacı herhangi bir kaza, yaşıllık durumu veya hastalık gibi bir sebeple kaybedilen diş veya dişlerin işlevini tekrar yerine getirebilecek malzemeler kullanarak eski haline kısmen veya tamamen getirmektir. Bunu yaparken ağız içindeki hasar görmemiş sağlam halde bulunan dişlerle uyumluluk sağlanmalıdır (Uz, 2018). Günümüzde hala, çiğnemeye iyi dayanıklılık gösterecek, kaybolan veya zarar görmüş diş ve diş dokularını taklit edecek, iyi biyolojik uyum gösterek bir malzeme arayışı sürmektedir.

Seramik malzemeler özellikleyle doğadakine yakın estetik ve biyolojik özellik gösteren malzemeler olmuş ancak bazı uygulamalar için istenen yeterli dayanıklılığı göstermemiştir. (Yıldırım, 2014).

Metal ile seramik malzeme kullanılarak yapılmış metal destekli seramik malzemelerde, metal ve seramığın ıslık genleşme davranışlarındaki farklılıklar zayıf bağlanma dayanımına neden olmuştur. Ayrıca üretimi sonrası metalin oksit tabakası oluşturabilme potansiyeli ve ıslık geçirgenliğinin yetersiz olması, metal sebebiyle oluşabilecek alerjik etkiler ve estetik açıdan dezavantajlar çıkabilmektedir. Bu sorunlar literatürde araştırmacıları metal destekli seramik restorasyonda metal yerine kullanılabilecek farklı çözümler bulmaya ve geliştirmeye yönelmiştir. Bu çalışmalarda ilk önce metale alternatif olabilecek malzemeler denenmiş ayrıca kullanılan metalin kalınlığı azaltılmak için çalışılmıştır. Ancak bun çalışmalarla bekleniği kadar iyi sonuç vermediği için, günümüzde metal tamamen kaldırılarak sadece seramikten oluşan tüm seramik restorasyon malzemeler kullanılmıştır. Tüm seramik restorasyonların, metal destekli seramik restorasyonlara göre ıslık geçirgenliğinin geliştirilmesi, doğal dişe benzer bir estetik yapıda oluşu, seramiklerin biyoyumluluğunun metallere göre daha iyi oluşundan kaynaklı olarak metal destekli restorasyonlara göre daha iyi oluşu başlıcak avantajları olmuştur. Ayrıca tüm seramik restorasyonların metal desteği olmadığı için metal oksit oluşumunun olmaması, seramiklerin alerjik ve toksit etkiler oluşturmamaları, seramiğe bağlı olarak korozyon ve ıslık direncinin yükselmesi ve malzemelerin boyutsal stabilitesinin olması diğer önemli avantajları olmuştur (Uz, 2018).

Zirkonya, tüm seramik restorasyon uygulamaları için iyi elastik modülü ve yüksek tokluğu gibi iyi mekanik özelliklerinin yanında en önemlisi yüksek biyoyumluluk özelliğiyle çalışmalarda ön plandadır (Uz, 2018). Zirkonya seramikler,

seramiklerin arasında oldukça önemli bir yeri olup, günümüzde yüksek sıcaklık dayanımı, biyoyumluluğu, stabil yapısı, iyi aşınma direnci, dental uygulamalara uygun doğal görünümü ve yüksek korozyon direnci gibi özellikleri nedeniyle dental malzeme olarak sıklıklar kullanılmaktadır (Matik, 2018).

İlk olarak 1789 yılında zirkon taşının ısıtılmasıyla elde edilen zirkonyumun (Zr) genel özelliklerine bakıldığında metalik yapıda olan bir elementtir. Atom numarası 40 olan ve periyodik tablonun D grubunda yer alan zirkonyum, bir geçiş elementi olup, $6,49 \text{ g/cm}^3$ yoğunluğa sahiptir. Zirkonyum oda şartlarında grimsi bir renge sahip olan zirkonyumun erime noktası 1852°C ve kaynama sıcaklığı 3580°C 'dir. Zirkonyum içerisinde %1-3 mol Hafniyum (Hf) bulundurur. Ancak zararlı etkileri olan Hafniyum zirkonyumdan ayırtırılır ve zararı yok edilir (Yıldırım, 2014).

Zirkonya öncelerde diğer oksitler de kullanılarak seramikte renklendirici malzeme olarak kullanılmıştır. Günümüzde ise üstün özelliklerinden dolayı birçok uygulamada kullanılmaktadır. Özellikler korozyona karşı dirençli oluşu, ısı iletkenliğinin düşük oluşu ve dayanıklılığı sayesinde; patlayıcı imalatında, çelik eldesinde, yapay ipek yapımında ve flaş ampullerinin üretimi gibi birçok uygulamada kullanılır. Zirkonyanın radyasyona karşı olan çok direnci nükleer reaktör yakıtlarının yalıtımında kullanılmasını sağlamıştır. Zirkonyum oksit, ısıya dayanıklılığı ile cam-seramik endüstrilerinde, metalürjik fırınların kaplanması ve ısıl şoka dayanıklı malzemelerde kullanılır. Ayrıca zirkonyanın ışılı vermesi bakımından elmasa en yakın olan taştır ve elmasın imitasyonu olarak uygulamalarda kullanılmaktadır (Bultan, 2010).

Zirkonyanın, dental uygulamalarda kullanılmasıyla oluşan avantajlar şu şekilde sıralanabilir;

- Tanelerin boyutu ve homojen taneli mikro yapısı, restorasyonlarda üstün mekanik özellikler sağlar.
- Korozyona karşı iyi bir direnç gösterir.
- Yüksek gerilme direncine sahiptir.
- İyi derecede biyoyumluluk gösterir.
- Şartlara göre yoğun halde sinterlenmesi, muhtemel kırık ve çatlaklıları azaltır.

Zirkonyanın dental uygulamalarda kullanılmasında, hafif opak görüntüsü dezavantajıdır. Bu dezavantaj oksit köprüler ve ön bölge diş gruplarında kullanılan zirkonyanın bazı durumlarda estetik açıdan bir sorun oluşturduğu görülmüştür. Araştırmalarda zirkonya bu dezavantajını yani hafif fildişi olan opak rengini

iyileştirmek ve estetik açıdan kullanılabilir yapmak için FeO ve CeO gibi bileşikle eklenerek bu dezavantaj ortadan kaldırılmaya çalışılmıştır. Amerikada düzenlenen bir sempozyumda araştırmacılar zirkonyanın içerisinde FeO ve CeO bileşikleri ilave etmiş ve seramiğin kırılma direncinde bir değişim ve hiçbir reaksiyon olmadığını belirtmişlerdir (Yazıcı, 2013).

Zirkonyum oda sıcaklığı ile 1170°C arasında monoklinik, $1170^{\circ}\text{C} - 2370^{\circ}\text{C}$ aralığında tetragonal ve 2370°C 'den erime noktasına kadar ise kübik olmak üzere 3 farklı faz yapısı göstermektedir. Bunların içerisindeki zirkonyuma özgü karakteristik davranış monoklinik-tetragonal faz dönüşümü sırasında %3-5'lük hacimsel bir değişimdir. Bu hacimsel değişim zirkonyumun saf halde kullanılmasını engellemektedir. Saf halde kullanılamayan zirkonyanın stabilitesini sağlamak için içerisinde magnezyum oksit (MgO), itriyum oksit (Y_2O_3), kalsiyum oksit (CaO), seryum oksit (CeO) gibi oksitlerin eklenmesi, faz dönüşümü sırasında oluşan stresin ve hacimsel değişimin kontrolünün sağlamaktadır. Zirkonya içerisinde eklenen eklentiler, dönüşüm sırasında oluşan hacimsel değişimin stabilitesinin yanında malzemenin sertliğini de iyileştirdiği görülmüştür (Uz, 2018). Biyomedikal uygulamalarda çoğunlukla itriyum (Y_2O_3) ile stabilize edilmiş tetragonal zirkonya seramikler yani Y-TZP'dir. Saf zirkonya ile Y-TZP karşılaştırıldığında, stabilize edilmiş zirkonyanın yüksek kırılma tokluğu oldukça iyidir (Matik, 2018).

Dental uygulamalarda en çok magnezyum kısmi stabilize zirkonya (Mg-PSZ), zirkonyumla güçlendirilmiş alümina (ZTA) ve itriyum tetragonal zirkonya polikristalleri (Y-TZP) kullanılmaktadır. (Uz, 2018). Bazı uygulamalarda bunlara ek olarak alümina ile güçlendirilmiş zirkonya (ATZ)'de kullanılmaktadır. (Yazıcı, 2013). Bunların yanı sıra 8 mol CaO ile stabilize edilerek oluşturulan oluşturulan CaO-ZrO_2 ve 12 mol seryum ile stabilize edilmiş CeO-ZrO_2 yapıları, dental uygulamalarda karşımıza çıkmaktadır (Uz, 2018).

Kısmen stabilize edilmiş zirkonyalarda en fazla çalışma MgO ile kısmen stabilize edilmiş zirkonyada yapılmıştır. MgO ile kısmen stabilize edilmiş zirkonyada kullanılan stabilize edici MgO , diğer oksitlere (CaO , Y_2O_3 , vb.) göre daha kolay ve çok bulunur, ayrıca diğer oksitlere göre daha ucuzdur. MgO ile stabilize dilerek elde edilen malzeme, üstün termal ve mekanik özelliklere sahip olduğu bilinmektedir.

Dental uygulamalarda sıkça kullanılan başka bir biyomalzeme olan, saf zirkonya içerisinde ağırlığının % 2-3'ü oranında itriyum oksidin (Y_2O_3) ilave edilmesiyle stabilize edilen zirkonya 3Y-TZP'dir. Yapı içerisinde dağılmış stabilize edici Y^{+3} ve Zr^{+4}

katyonları, elektriksel nötralizasyonu ile oksijen anyonları sağlayarak zirkonyayı stabilize etmektedir. Dental uygulamalarında kullanılan 3Y-TZP seramiklerin mikro yapısı 0,2-0,5 mikrometre (μm) çapında eş eksenli taneciklerden oluşmaktadır (Yerliyurt, 2014).

ZTA, biyomalzeme olarak kullanımı artan bir seramik malzemedir. Zirkonyumun alümina ile bir kombinasyonudur. Üstün özellikleri olan ZTA zirkonyum ile güçlendirilmiş alüminadan oluşur (Egilmez, 2011). In-Ceram Zirconia, ZTA'ya örnek olarak verilebilecek bir dental üründür. In-Ceram Zirconia, In-Ceram Alumina hacimce %33 oranında zirkonyum (12Ce-TZP) eklenmesiyle geliştirilmiştir (Yerliyurt, 2014).

Biyomedikal uygulamalarda, magnezyum katyonlu zirkonya polikristali ile ilgili çalışmalar yapılmış ancak bu malzemenin gren boyutunun büyük olması (30-60 μm) ve porozitelerin varlığı kırık oluşumuna neden olmuş, dolayısıyla başarısız olmuştur (Nağış, 2008). Materyaldeki kompozisyonda MgO oranı % 8-10 arasındadır Mikro yapısı kübik stabilize zirkonya matriks içinde teragonal yapı sergilemektedir (Egilmez, 2011). Mg-PSZ seramiklerin tam sinterlenmiş blokları CAM ünitesinde kullanılmaktadır (Karaalioğlu, 2008).

Seramik malzemelerin özellikleri belirleyen neden, malzemenin yapısındaki fazlar ve bu fazların oranlarıdır. Örneğin: monoklinik ZrO_2 iyi bir elektronik iletkendir. Tetragonal ZrO_2 , üstün mekanik özelliklere sahipken; kübik ZrO_2 ise özellikle yüksek sıcaklıklarda mükemmel bir iyonik iletkenliğe sahiptir. Faz dönüşüm miktarını etkileyen başlıca faktörler stabilize edici oksitin tipi ve yoğunluğu, oluşan stresler, zirkonyanın partikül büyülüğu, yaşlandırma, sıcaklık için kullanılan kimyasalın uygulanma süresidir. Y_2O_3 en sık kullanılan stabilize edici oksittir. Ancak Y_2O_3 yapısında bulunan oksijen boşlukları düşük ıslarda bozulmaya sebep olabilmektedir. Zirkonya içeresine %8 veya 12 oranında bileşen eklenerek tam stabilize kübik fazı (kübik zirkonyum) elde edilebilirken, daha küçük miktarlarda (%3-5) eklemeler ile kısmi stabilize zirkonyum elde edilir (Yazıcı, 2013).

Bu çalışmanın amacı, hazırlanan farklı kompozisyonlarda ve farklı sinterleme şartlarında hazırlanmış Y-TZP ve Mg-PSZ numunelerinin diş implantlarına yönelik zirkonya esaslı kompozitlerin geliştirilmesi ve karakterizasyonudur. Kompozisyonları daha önceki çalışmalarda göze alınarak belirlenen Y-TZP ve Mg-PSZ tozlarının, değirmende karıştırılması ve presleme yöntemleriyle şekillendirilmesi, sonrasında belirlenmiş 1450–1500°C sıcaklıklarda, 1-2 saat sinterleme süresinde sinterlenerek

numuneler oluşturulacaktır. Elde ettiğimiz numunelerin sertlik ve kırılma tokluğu gibi mekanik, yoğunluk ve gözeneklilik gibi fiziksel özelliklerini karakterize edilecektir. Y-TZP'nin yüksek sertliği, Mg-PSZ'nin üstün termal özellikleri, yüksek sıcaklık özellikleri ve ısıl şok direnci kullanılarak, yüksek sertlik ve yüksek termal özelliğe sahip diş impantında kullanabilecek malzeme üretmek amaçlanmıştır.

2.LİTERATÜR

2.1 Biyomalzemeler ve Biyomalzemelerin Gelişimi

İnsan vücudunun koruma, önleme sistemleri ve iyileşme özelliklerini olsa da bazı durumlarda savunmasız kaldığı zamanlar olur. Bu durumlarda insanlar bazen bir dış veya gözden bazen de hayatından olabilir. Bu nedenle bu yaşanabilecek zayıflıklarını en azamiye indirme veya bunları gidermenin yolları araştırılmıştır. Bu araştırmalarda da biyolojik yapısına en yakın malzemeyi elde ederek kullanmayı amaçlamıştır (Tüylek, 2017). Geçici veya daimi olabilen tedavi ve onarım gibi amaçlarla vücuta dahil edilen bu malzemelere biyomalzeme adı verilir (Yılmaz, 2013).

Biyomalzemenin fiziksel, kimyasal, mekanik, termal özelliklerinin iyi bilinmesi ve özellikle doku ile alerjik, toksik, karsinojenik reaksiyon vermemeleri istenir (Yıldırım, 2014). İnsanların sürekli ihtiyaç duyasından dolayı günümüzde Biyomalzeme Bilimi büyük gelişmeler olmaya devam etmektedir (Güven, 2014). Biyomalzemeler, kendilerini çevreleyen dokuların normal değişimlerine uygun olan ve istenmeyen tepkiler oluşturmaması gereken malzemelerdir (Özcan, 2010).

Vücut dokularının bazı fonksiyonlarını yerine getiremez olması durumunda yapay olarak geliştirilen biyomalzemelerin kullanımı önemlidir. Biyomalzemeler dahili veya harici olarak vücutta dahil edilebilirler (Yılmaz, 2013). Bu malzemeler tamamen vücut içinde olabilirken kısmen vücut içinde ya da tamamen vücut dışında olarak da kullanılabilir. Kalp kapaklığı, yapay kalp, göğüs ve dış implantları, damarlar, omuz, kalça, eklem gibi protezler ve bazı lensler vücut içinde kalarak bir daha çıkarılmayan biyomalzemelerden yapılır (Zümrüt, 2009). Biyomalzemelerin, hücre teknolojisinde, biyosensörlerde, biyorobotlarda, biyoayırma işlemlerinde, enzim, doku, hücre gibi bioaktif maddelerin immobilizasyonunda (hareketsizleştirme, sabitleştirme) ve biyoçiplerdeki kullanımları gibi birçok uygulamaları literatürde bulunmaktadır (Tüylek, 2017).

Biyomalzemeler, insan vücudunun çok değişken koşulları, vücut sıvılarının pH değeri gibi ortamlarda kullanılırlar. Kemiklerimiz yaklaşık 4 MPa, tendonlar ise 40-80 MPa değerinde gerilmeye maruz kalır. Bir kalça ekleminde ortalama yük, vücut ağırlığının 3 katına, sıçrama gibi faaliyetlerde ise bu değer 10 katı kadar olabilir. Biyomalzemeler bu tür ortamlara ve bu çeşitli zorluklara karşı dayanıklı ve uyumlu olması gerekmektedir (Demir, 2014). Doku mühendisliği alanındaki gelişmeler ile

klasik biyomateryallerden farklı olarak içlerine canlı hücrelerin katıldığı ve vücudaya yerleştirildikten belli bir süre sonra hastanın kendi dokusuyla bütünleşerek hasarlı bölgenin iyileştirilmesini hedef alan çalışmalar da yapılmaktadır (Tüylek, 2017).

Biyomalzemelerin sahip olması istenen başlıca özellikler şöyle sayılabilir;

- İyi mekanik mukavemet
- Uygun ağırlık, yoğunluk, yeterli yorulma dayanımı
- Aşınmaya direnç
- Ses emici bir tasarım
- Seri üretime elverişlilik
- Bazı uygulamalar için estetik görünüm
- Kimyasal kararlılık
- Özellikler güvenilirlik için biyoyumluluk

Ortopedik uygulamalar ve diş protezi uygulamalarında, genelde birinci grup metal ve seramiklerden hazırlanmaktadır. Tablo 2.1'de çeşitli biyomedikal uygulamalarda kullanılan biyomalzemeler görülmektedir. Günümüze kadar çok çeşitli birçok biyomalzemeler kullanılmış, en önemlisi beklenen gereksinimleri karşılayacak uygun biyomalzeme bulup seçmektir.

Tablo 2. 1 Biyomedikal ürünlerde kullanılan doğal ve sentetik malzemeler (Mutlu, 2005)

UYGULAMA ALANI	MALZEME TÜRÜ
İskelet Sistemi Eklemler Kırık kemik uçlarını tespitte kullanılan ince metal levhalar Kemik dolgu maddesi Kemikte oluşan şekil bozuklıklarının tedavisinde Yapay tendon ve bağlar Diş implantları	Titanium, Titanyum-Alüminyum-Vanadyum alaşımı Paslanmaz çelik, kobalt-krom alaşımı Poli (metil metakrilat) (PMMA) Hidroksiapatit Teşon, poli (etilen teraftalat) Titanyum, alümina, kalsiyum fosfat
Kalp-damar Sistemi Kan damarı protzleri Kalp kapakçıkları Kataterler	Poli (etilen teraftalat), teşon, poliüretan Paslanmaz çelik, karbon Silikon kauçuk, teşon, poliüretan
Organlar Yapay kalp	Poliüretan
Duyu Organları İç kulak kanalında Göz içi lensler Kontakt lensler Kornea bandası	Platin elektrotlar PMMA, silikon kauçuk, hidrojeller Silikon-akrilat, hidrojeller Kolajen, hidrojeller

Günümüzde biyomalzeme bilimi Şekil 2.1 de görüldüğü gibi birçok alanlarla birlikte çalışan ve ilerleyen gelişime açık ve üzerinde birçok çalışmanın yapıldığı bir

teknolojik alandır. Binlerce yıllık geçmişi olan biyomalzemeler, gelişen teknolojiye bağlı olarak ciddi ilerlemeler göstermiştir. (Tüylek, 2017). Biyomalzemelerin gelişmesi ve insan vücutunda kullanılması ile beraber oluşabilecek pihtlaşma, korozyon, kireçlenme, kan uyuşmazlığı ve intihaplanma gibi bazı sıkıntılar çıkmıştır.



Şekil 2. 1 Biyomalzeme biliminin diğer dallarla ilişkisi

Bilimsel çalışmalar ve araştırmalar açısından yeni bir alan sayılan biyomalzemeler aslında uygulama açısından insanlık tarihiyle yaşıttır. Altının dişte 2000 yıl öncesinde kullanıldığı biliniyor olması bunun göstergesi sayılabilir. (Taşkın, 2004). Aynı şekilde bronz ve bakır kemik implantlarının kullanımı milattan önceye kadar gittiği araştırmalarda görülmüştür. (Özcan, 2010). Bilimsel alanda öneminin yeni keşfedilmiş olusunun yanında yıllar önce kullanılan biyomalzemeler araştırmalarda görülmektedir (Demir, 2014). Vücut içi implantların kullanım ise son zamanlarda artmıştır. 1938 de ilk metal protez vitalyum üretilmiş, fakat daha sonraları bu protez, ciddi anlamda korozyonuna uğramış ve tehlike oluşturmuştur (Taşkın, 2004). 1972'de alumina ve zirkonya biyolojik olumsuzluk yaratmaksızın kullanılmaya başlanmış ancak inert yapıdaki bu seramikler dokuya bağlanamadıklarından çok çabuk zayıflamışlardır. Aynı yıllarda geliştirilen biyoaktif seramikler (biyocam ve hidroksiapatit) ile bu bağlanamama problem çözüme ulaşmaya çalışılmıştır. (Özcan, 2010). 1950'lerde kan damarlarının değişimi, 1960'larda kalça protezleri, 1970'lerde ise sentetik ameliyat ipliği gibi birçok biyomalzeme kullanılmaya başlanmıştır. Son yıllarda birçok metal, seramik ve polimer vücutun değişik parçalarını onarımı ve yenilenmesi için kullanılmaktadır (Taşkın, 2004). RJ Hegyeli, CA Homsy ve arkadaşları tarafından 1970 yılında biyomalzemelerin, vücut içerisindeki davranışlarını açıklayan biyoyumluluk teriminden ilk kez bahsedilmiştir (Güven, 2014).

Biyomalzemeler çok geniş bir uygulama alanına sahiptir. İmplantlar, vücut dışına yerleştirilen ama vücutla etkileşim halindeki cihazlarda ve çeşitli eczacılık ürünlerinde kullanılmaktadır. Günümüzde bir çok çeşit tıbbi cihaz, 2500 kadar farklı teşhis ürünü ve fazlasıyla değişik eczacılık ürünü, pazarını oluşturmaktadır. Ancak, pazarın büyüklüğüne rağmen biyomalzemelerin hala çözülememiş sorunları bulunmaktadır. Bu sorunların çözümü için doku mühendisliği gibi çalışma alanları

arastırmalarını sürdürmektedir. Özellikle nanoteknolojinin gelişimi ve fabrikasyon yöntemlerindeki ilerlemelerle mükemmel biyomalzemelerin geliştirilmesi çalışılmaktadır (Özcan, 2010).

Biyomalzemeler ortopedik uygulamalarda, yüz ve çene cerrahisinde, dental uygulamalar ve diş implantlarında, yapay kalp parçalarında, vücutta yerleştirilebilir cihazlarda kullanım alanları bulmaktadır. Günlük hayatı sıkça duyduğumuz diş implantları, diyaliz makineleri, yapay eklemler, plastik cerrahi, kontakt lensler, yapay kalp, ameliyat iplikleri gibi sıkça karşılaşılan ve duyulan bir çok alanı vardır. Biyomateryaller, biyoteknoloji alanında da sıkça kullanılmata ve hasarlı dokunun değiştirilmesi, tedavi edilmesi, iyileşmenin desteklenmesi veya bir sorunun teşhis edilmesi gibi çeşitli amaçlara sahip uygulamaları da mevcuttur (Tüylek, 2017).

Polilaktikasit (PLA), polimetilmetakrilat (PMMA), sellüloz türevleri, etilenvinilasetat-kopolimeri (EVAC) ve özellikle polipeptid gibi polimerlerin günümüzde sıkılıkla yapıdaki ilaç etken maddelerinin salım sistemi olarak kullanıldığı bilinmektedir. Polimerlerin Kıkıldak, kemik, periodontal doku, sinirlerin tamiri gibi doku yenilenmesi amacıyla çeşitli uygulama örnekleri vardır. Birçok doku tipinin temel madde ekstresi olan kollajen sıkılıkla kullanılarak, dokuların yeniden yapılabileceği *in vivo* olarak gösterilmiştir. Ancak bu maddelerin mekanik kuvvetleri yetersiz olduğundan seri üretimleri zordur.

ABD'de şu andaki sağlık harcamaları yıllık 1 trilyon doları olan sağlık harcamalarının 40 milyar doları biyoamalzemeler almaktadır. Kabaca 11 milyon Amerikalı implant taşımakta, Dünyada 75 milyon insan kontakt lens takmaktadır. Ortopedide yılda 200,000'den fazla titanyum, paslanmaz çelik, ya da polietilenden yapılmış kalça ve diz protezi kullanılmaktadır. Yılda 100,000 den fazla Yapay damarlar (Teflon, Dakron) ve yılda 80,000 den fazla kalp kapakçıları (karbon, doğal kökenli) kullanımı biyomalzemelerin en sık kullanıldığı alanlar olarak düşünülmektedir. Bu oranlar sürekli güncellenmekte ve durmadan bekleyen listeleri kabarmaktadır. Günümüzde vücutunda ufakta olsa herkesin vücutuna bir şekilde biyomalzeme girmektedir. Diş dolguları, kalça protezleri ve lensler gibi birçok yaygın kullanım alanı olan biyomalzemelerin kullanım alanları Tablo2.2'de toplu şekilde gösterilmiştir.

Tablo 2. 2 Biyomalzemelerin uygulamalarına örnekler (Demir, 2014)

Kardiyovasküler implantlar	Kalp ve kalp kapakçıkları Vasküler grefler Kalp pilleri Stentler	Poliüretan, paslanmaz çelik Polietilen terafatalat, teflon
Plastik ve rekonstrüktif implantlar	Göğüs büyütme Çene implantları	
Ortopedik protezler	Diz ve kalça eklemleri Kırık tedavileri	Titanium alaşımları
Optik sistemler	Kontakt lensler Göz içi lensler	Silikon akrilat, hidrojeller PMMA
Diş implantları		Titanium, alümina, kalsiyum fosfat
Sinirsel implantlar	Hidrosefali şantlar Koklear implantlar	
Vücut dışı	Oksijeneratörler Diyalizatörler Plazmaferezler	PVC, PMMA
Kataterler		Silikon kauçuk, teflon, poliüretan
Kontrollü ilaç salınımı için malzemeler	Tablet ya da kapsüller için kaplama Mikrokapsüller Deri geçişli sistemler	
Genel cerrahi	Dikişler Zımbalar Yapıştırıcılar	Polipropilen PET
Teşhis	Endoskopi için fiber optikler	

2.1.2 Biyouyumluluk Terimi

Vücuttaki dokunun görevini yerine getirmek, ya da fonksiyonunu iyileştirmek amacıyla oluşturulan biyomedikal implantlar için malzemenin mekanik özellikleri, dizaynı ve biyouyumluluğu önemlidir. Biyouyumluluk, materyalinin olumsuz bir yanıt veya etki olmaksızın çevre dokular tarafından kabul edilebilir oluşudur. Bu nedenle

implant materyali; toksik ve karsinojenik olmamalı, vücutta yabancı maddeye karşı hiç reaksiyona sebep olmamalıdır (Bostancıoğlu, 2015). Son zamanlarda biyomalzemeden doku etkileşimleri üzerine önemli çalışmalar yapılmıştır. Vücudun doğal dokularının yeniden yapılanmasını sağlayacak ve vücut sıvıları ile uyumlu biyomalzemeler geliştirilmektedir (Güven, 2014).

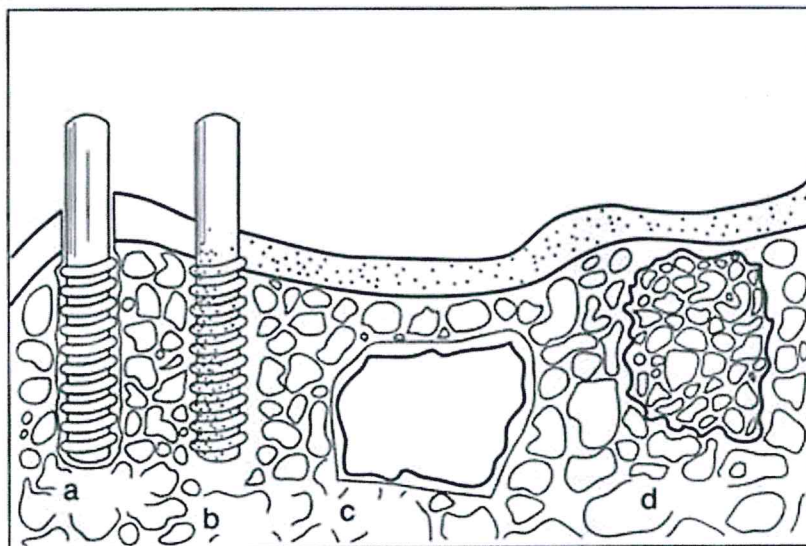
Vücuda yerleştirilen implant malzemenin biyoyumluluğu, sağlayacak olan fiziksel, kimyasal ve mekanik özelliklerini, onunla karşılaşacak hücrenin tepkisi açısından çok önemlidir (Bostancıoğlu, 2015). Biyoyumlu malzemeler, etrafındaki dokulara iltihaplanma, pihti oluşumu gibi olumsuz etki yapmayan malzemedir. Metalik biyomalzemeler pH değeri 1- 9 arasında değişen vücut akışkanları ile temas halindedir. Biyomalzemelerden; iyi mekanik özellikler, biyoyumluluk (vücut ile uyuşabilirlik), korozyona dayanım, üstün sürtünme ve aşınma dayanımı göstermesi arzu edilmektedir (Güven, 2014).

Uygulanacak alan için seçilen materyalin elastiklik modülü, sümekliği, topluk, sertlik mekanik özelliği kullanım amacına uygun olmalıdır. Düşük maliyetli ve şekillendirilebilmesi de beklenen özelliklerindendir. Uygun implant malzemesinin dayanıklılık, işlevsellik ve biyolojik yanıt sağlaması gereklidir. Dayanıklılık ve işlevsellik bulk özelliğine ilgiliyken, biyolojik yanıt yüzey kimyasına ve topografisine, pürüzsüzlüğüne ve yüzey enerjisine bağlıdır (Bostancıoğlu, 2015). Biyomalzemelerin alerjik reaksiyonlara neden olmamaları, zehirli ürünler salgılamamaları, kolay şekillendirilebilir olmaları ve sterilizasyon işlemlerinde özelliklerini bozmamaları da büyük önem arz etmektedir. Biyomalzemelerin, üstün mekanik özelliklere ve biyoyumluluğa sahip olmaları gerektiğinden, kullanım yerlerine göre uygun özellikleri taşıması açısından seçimleri büyük önem arz etmektedir (Güven, 2014).

İnsan vücutundaki çeşitli iyonlar, metalik malzemeler için korozif bir ortamdır. İnsan vücutu protein içeren oksijenli tuzlu çözeltiler içerdiginden, bu malzemelerden uzun süreli korozyon dayanımı göstermesi arzu edilir. Biyomalzemelerin, biyoyumluluk göstermeleri gerektiğinden, implantların ve protezlerin imalinde kullanılacak malzemeler bu bakımdan önem arz etmektedir. Uygun seçilmeyen bir metalik malzeme vücutta korozyon sonucu çözümlemekte ve doku içerisinde girerek zarar vermektedir (Güven, 2014).

Biyomalzemeler; Biyoinert, Biyoaktif, Biyobozunur olmak üzere dokularla etkileşime bağlı olarak Şekil2.2 de gösterildiği gibi 3'e ayrılır. Biyoinert; doku ile malzeme arasındaki bağ mekanik bağ şeklinde dir. Mekanik bağ biyoinert malzemenin

dokuyu değiştirmeden doku ile bir arada bulunması anlamına gelmektedir. Biyoaktif; Malzemeler kemik ile ya da canlı organizanın yumuşak dokusu ile kimyasal bağ yaparak etkileşirler. Biyobozunur biyomateriallar ise biyolojik olarak bozunarak zamanla doku ile yer değiştirir.



Şekil 2. 2 Biyoseramik malzemelerin vücut dokuları ile verdiği tepki tipleri

Bu malzemelerin kullanıldığı uygulamalardaki en önemli etken uygun malzeme seçimidir. Kullanılacak malzemenin vücut koşulları içinde korozyona dayanıklı, biyoyumlu olması, dokularda alerjik reaksiyon oluşturmaması, vücut ağırlığı göz önüne alındığında fiziksel olarak basma ve çekme dayanımının, vücut tarafından iletilen yükleri taşıyacak düzeyde olup tüm bu koşulları sağlamış olması gerekmektedir. Bu özellikleri sağlayan biyomateriallar de; metalik biyomateriallar, biyoseramikler, biyopolimerler ve biyokompozitlerdir (Özkan, 2016).

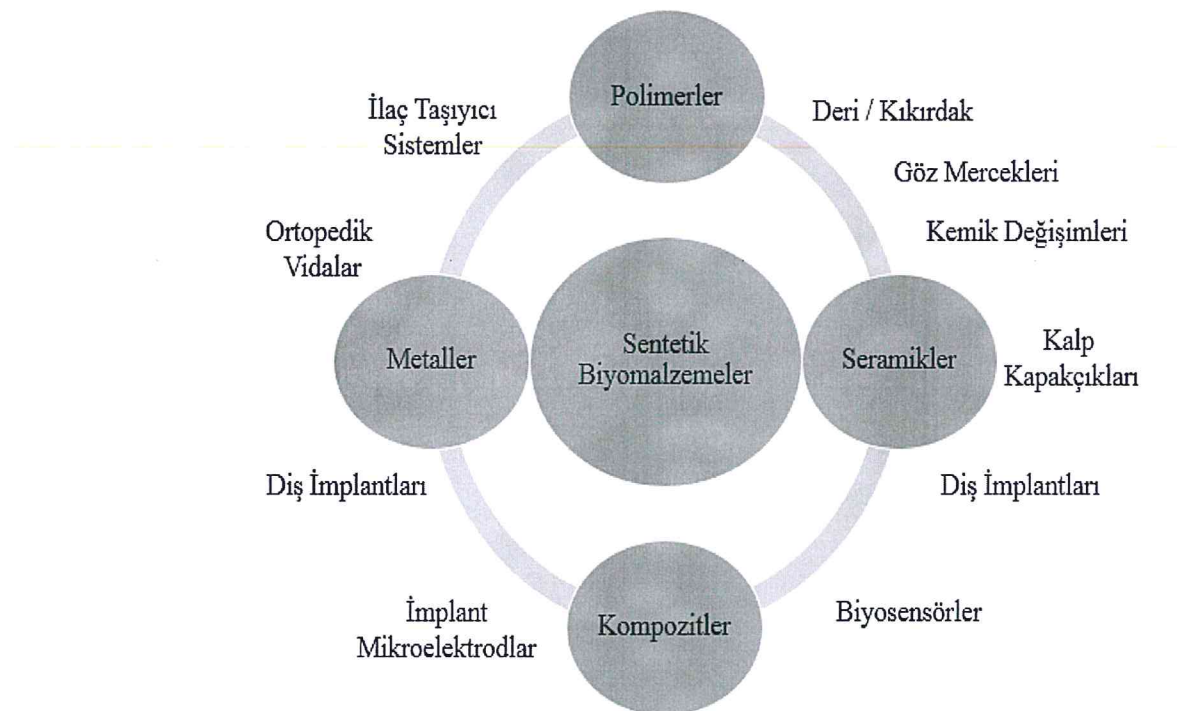
Seramikler, metaller, polimerler ve kompozit biyomateriallar biyomaterial olarak kullanılabilmekte ve insan sağlığına uyum sağlamaktadırlar. Biyomaterialların istenilen mekanik özelliklerinin yanı sıra, bu malzemelerin biyoyumluluğu vücut uzuvaları ve organlarının tedavisinde ve değiştirilmesinde oldukça önemlidir. Yeni biyomateriallar piyasaya çıkmadan önce, vücut içerisinde istenilmeyen bir etkiye neden olmamaları amacıyla detaylı biyolojik testlere tabi tutulmaktadır. İlk olarak vücut dışında daha sonra da vücut içerisindeki testler yapılmalı, bunu takiben klinik denemelerle malzemenin biyolojik güvenilirliği ve performansı tespit edilmelidir.

Biyomaterialın çevresinden alınan doku örneklerinin morfolojik incelemesi,

biyomalzemenin biyolojik uyumluluğu hakkında fikir verebilir. Ortopedi ve travmatolojide kullanılan biyomalzemeler bir çok testten geçtikten ve biyoyumluluğu onandıktan sonra kullanım alanına girmektedirler. Tüm bu testlere rağmen biyomalzemelerin allerjik, immün, nonimmün, mutagenik, kanserojenik ve inflamatuar etkileri olabilir. Bu yüzden, kullanılacak biyomalzemenin test sonuçları çok önemlidir (Güven, 2014).

2.2 Biyomalzemelerin Gruplandırılması

Biyomalzemeler; Şekil 2.3'de örnekleriyle gösterildiği gibi her birinin kendine özgü uygulama alanları olan, metal, polimer, seramikler ve kompozit biyomalzemeler olarak 4 ana gruba ayrırlırlar. Geçmişte biyomalzemeler metal ve polimer malzemelerin tıbbi uygulamalarda daha sık kullanılmışken, gün geçikçe seramiklerin geliştirilmesiyle kullanımı artmıştır.



Şekil 2. 3 Biyomalzemelere genel bakış (Yılmaz, 2016)

Biyomalzeme olarak seramiklere, biyoaktif camlar, alüminyum oksit esaslı seramikler ve hidroksiapatit (HA) camseramikler örnek olarak verilebilebilir (Kükürtçü, 2008). Seramiklerin biyoyumluluklarının iyi olması ve korozyona karşı dirençli oluşu biyomalzeme olarak kullanılmasının nedenlerindendir. Ancak bu avantajlı özelliklerinin yanında kırılabilirlikleri, zor işlenmesi, esnek olmayışı ve yüksek yoğunluğa sahip

olmaları bazı uygulamalar için seramiklerin kullanımını engellemektedir. Homojen özellik gösteren ve kullanım açısından dezavantajlara sahip olan tüm bu malzeme gruplarına alternatif olarak kompozit malzemeler geliştirilmiştir.

Biyomalzeme olarak kullanılan metaller ve alaşımalar ise, altın, tantal, paslanmaz çelik ve titanyum alaşımıları örnek gösterilebilir. Metaller, sağlamlıklarını, kolay şekillendirilebilirlikleri ve dirençli olmaları nedeniyle birçok alanda biyomalzeme olarak kullanılırlar. Ancak metallerin biyoyumluluklarının kötü olması, korozyona karşı dirensiz oluşu, dokulara göre çok sert olmaları, yüksek yoğunlukları gibi özellikleri kullanımlarını kısıtlamaktadır.

Polietilen (PE), silikon kauçuk (SR), poliüretan (PU), poliasetat (PA), polimetilmetakrilat (PMMA), polietilenteraftalat (PET), polilaktik asit (PLA) gibi çok sayıda polimer, biyomalzeme olarak tıbbi uygulamalarda kullanılmaktadır. Polimerler, farklı bileşimlerde ve şekillerde hazırlanabilmeleri nedeniyle biyomalzeme olarak geniş bir kullanım alanına sahiptirler. Ancak polimer malzemelerin bazı kullanım alanları için mekanik özellikleri gibi zayıf yönleri vardır.

Uygulamalarda kullanılacak olan biyomalzemeler, sert doku yerine kullanılacak ve yumuşak doku yerine kullanılacak biyomalzemeler olmak üzere grupperlendirilir. Ortopedik ve diş implantları, genelde sert doku yerine kullanılacak biyomalzeme grubunun kapsamına giren metal ve seramiklerden hazırlanırken, kalp-damar sistemi ve genel plastik cerrahi malzemeleri polimerlerden üretilmektedir. Ancak bir kalp kapaklığı polimer ve metalden hazırlanabilmektedir; bir kalça protezi de metal ve polimerlerin kompozitlerinden oluşabilmektedir. Bu sebeple bu grupperlendirme her zaman geçerli olmayabilir (Kükürtçü, 2008).

2.2.1. Metaller ve Alaşımlar

Metaller, sahip oldukları güçlü metalik bağlar, üstün mekanik özellikler nedeniyle biyomalzeme olarak kullanılmaktadır. Metal ve metal alaşımının biyomalzeme üretimi alanındaki payı oldukça büyüktür. Altın, platin, paslanmaz çelik, kobalt ve titanyum alaşımıları biyomalzeme olarak kullanılan metallere örnek olarak söylenebilir.

Metaller ortopedik uygulamalarda eklem protezi ve kemik yenileme malzemesi olarak, yüz ve çene cerrahisinde, diş implantı, kalp-damar cerrahisinde yapay kalp parçalarında, kateter, vana, kalp kapaklığı olarak da biyomalzemelerde

kullanılmaktadır. Pazar içerisindeki en büyük paylardan biri teşhis ve tedavi amaçlı malzemelerin üretimi oluşturmaktadır (Kükürtçü, 2008).

Metalik biyomalzemeler, kas-iskelet sistemiminin mekanik koşullarına en iyi uyum gösteren malzemelerin başında gelirler. Metal ve合金larından üretilen biyomalzemeler ağır, değişken, ani veya uzun süreli yüklemelere karşı özelliklerini kaybetmeden dayanabilir olması avantajıdır (Taşkın, 2004).

İnsan vücutu metal biyomalzemeler için çok korozif bir ortam oluştu, metal malzemelerin korozyona uğramalarına neden olabilmektedir. İnsan vücutu, su, çözünmüştür oksijen, klorür ve hidrosit gibi çeşitli iyonlar içermesi nedeniyle korozyonu tetiklemektedir. Metallerin biyolojik ortama uygunluğu, vücut içerisinde korozyona uğramalarıyla ilgiliidir. İnsan vücudunda kullanılan metal biyomalzeme, ortamın etkisiyle korozyon uğrar ve sonucunda zayıflar. Ayrıca korozyon ürünleri doku içerisinde girerek hücrelere zarar verebilir (Kükürtçü, 2008).

Metalik biyomalzemeler saf metal veya içerdeği合金 elemanlarına göre paslanmaz çelikler, Co/Cr合金ları ve Ti合金ları olarak sınıflandırılabilirler (Taşkın, 2004).

Biyomalzeme olarak, paslanmaz çelik kullanımı ilk 18/8 Cr/Ni paslanmaz çelik implantı olduğu bilinmektedir. Bu biyomalzemeler sağlamlık, yüksek korozyon direnci gibi avantajlarından dolayı Vanadyum çeliği kullanarak yapırlar. Vanadyum çeliğinin implant olarak kullanımı, korozyon dayanımının yetersizliği nedeniyle kısıtlıdır. Paslanmaz çeliklerde korozyon dayanımını Cr etkiler ve korozyon dayanımı isteniyorsa Cr'un minimum %11 seviyesinde olması gerekmektedir.

Biyomalzeme olarak kullanılan, CoCrMo ve CoNiCrMo şeklinde合金lanmış iki tip kobalt-krom合金ı vardır. CoCrMo合金ları dışçılık ve yeni geliştirilen yapay hafif yük gerektiren eklemlerde kullanılırken, CoNiCrMo合金ı ise daha ağır yükler taşıyan eklemlerde kullanılmaktadır.

1930'dan beri titanyum biyomalzeme olarak kullanılmaktadır. Titanyumun hafif olması, iyi mekanik ve kimyasal özellikleri nedeniyle biyomalzeme olarak kullanılır. Titanyumun, inert özellikte olması, rahatlıkla küçük boyutlu numunelerin üretilebilmesi, korozyona karşı dirençli olması, elastiklik modülünün kemiğinkine çok yakın olması gibi özellikleri, titanyumun ortopedik uygulamalarda biyomalzeme olarak kullanılmasını sağlamaktadır (Taşkın, 2004).

2.2.2. Polimerler

Polimer malzemeler tekrarlanabilir birimlerden oluşan uzun zincirli moleküller olarak tanımlanır. Polimerik malzemeler mekanik özelliklerine, kimsayal özelliklerine göre, işlemeye göre, kökenine göre ve biyolojik ortam içindeki davranışlarının göre gibi bir çok farklı kriterlere göre aşağıdaki sınıflandırılırlar. Polimerler, biyomalzeme olarak oldukça bir kullanım alanı vardır. En yaygın olanları, kalça protezlerinde kullanılan polimetilmetakrilat (PMMA) ve polietilen (PE) sayılabilir (Kükürtçü, 2008). Tablo 2.3'de uygulama alanlarına göre kullanılan polimerler, sahip oldukları özelliklerine göre verilmiştir.

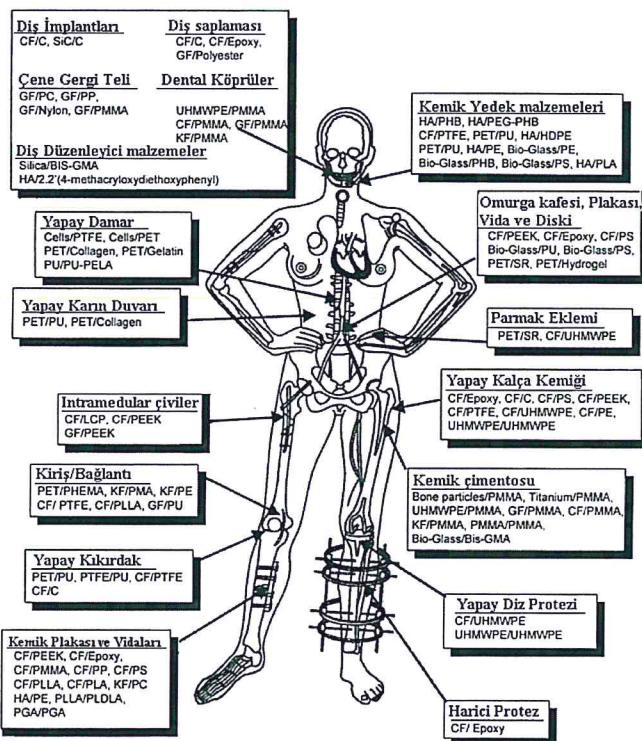
Tablo 2. 3 Biyoyumlu polimerik malzemeler

Uygulama	Özellikleri ve tasarım gereklileri	Kullanılan polimer
Diş	<ul style="list-style-type: none">•Stabilité ve korozyon direnci, plastisite•Dayanıklı ve kaplanabilir•Yüksek adezyon / doku uyumluluğu•düşük alerjenite	Dolgular/protezler için PMMA bazlı reçineler poliamidler poli(Zn akıratları)
Göz	<ul style="list-style-type: none">•Jel veya film oluşturma yeteneği, hidrofil klik•Oksijen geçirenliği	Poliakrilamid jelleri PHEMA ve kopolimerleri
Ortopedi	<ul style="list-style-type: none">•Mekanik kısıtlama ve deformasyona karşı mukavemet sağlayabilme özelliği•kemikler ve kas ile iyi uyum	PE, PMMA PL, PG, PLG
Kalp Damar	<ul style="list-style-type: none">•Deformasyon dayanımı, kayganlık, sterilizasyon	Silicon, Teflon, poli(üretan), PEO
İlaç salınımı	<ul style="list-style-type: none">•Uygun ilaç salınma profili•İlaç biyoyumluluğu, biyobozunurluk	PLG, EVA, Silicon, HEMA, PCPP-SA
Dikişler	<ul style="list-style-type: none">•İyi gerilme mukavemeti, tutma gücü•Esneklik, düğüm tutma, düşük doku sürükleme	PLG, PTMC-G PP, Nylon, PB-TE

2.2.3. Kompozitler

Kompozit, farklı kimyasal yapıdaki iki veya daha fazla sayıda malzemenin, sınırlarını ve özelliklerini koruyarak oluşturduğu çok fazlı malzeme olarak tanımlanabilir. Kompozit malzemeler, homojen malzemelere göre yapısal uyumluluk bakımından daha avantajlıdırlar. Kompozit malzeme, kendisini oluşturan bileşenlerden her birinin tek başına sahip olmadığı özelliklere sahip olur. Kompozit malzeme, "matris" olarak adlandırılan bir malzeme içerisinde çeşitli güçlendirici malzemelerin katılmasıyla hazırlanmaktadır. Güçlendirici olarak cam, karbon veya polimer gibi lifler, mika ve çeşitli toz seramikler kullanılmaktadır. Güçlendiriciler kullanılarak oluşturulan kompozitler genel olarak koroziyona direnç, metal yorgunluğunun olmaması, metal iyonlarının salınmaması ve kırılganlığın az olması gibi avantajlara sahip olurlar. Tıp alanında güçlendirici olarak çeşitli toz seramik malzemelerin tercih edilir. Çünkü seramik malzeme, canlı sistemlerle oldukça uyumludur (Kükürtçü, 2008).

Dokular sert ve yumuşak olarak ayrılır. Kemik ve dış dokuları sert dokulara, kan damarları, deri ve bağlarda yumuşak dokulara örnek olarak verilebilir. Yapısal uyumluluklarına bakıldığından metal ve seramikler sert doku uygulamaları için, polimerler ise yumuşak doku uygulamaları için daha uygun olduğu düşünülmektedir. Metaller ve seramiklerin elastik modülü, sert dokulara oranla daha fazladır. Ortopedik cerrahide kemikle, metal veya seramik biyomalzemelerin sertlik derecesinin birbirini tutmama karşılaşılan sorunlardan birisidir. Bu gibi olumsuzlukların çözümü olarak liflerle güçlendirilmiş polimerik malzemeler, yani polimer kompozit malzemeler alternatif olarak düşünülmüştür ve Şekil 2.4 de insan vücutunda kullanılan kompozit malzeme örnekleri gösterilmiştir (Sarsılmaz, 2003).



Şekil 2. 4 Ortopedide kullanılan Çeşitli Kompozitlerin ve Kullanım Yerleri (Sarsılmaz, 2003)

Yüksek dayanıma ve düşük elastisite modülüne sahip kompozitler biyomalzemelerde özellikle ortopedik uygulamalar için oldukça kullanılmaktadır. Ayrıca, malzemelerin bileşimi değiştirilebilir oluşu, malzemelerin kullanım alanlarına göre veya mekanik, fizyolojik şartlara uyum sağlamaları kolaylaştırılabilir (Güven, 2014). Kompozit biyomalzemeler ortopedi ve dental uygulamaların dışında yumuşak doku implantı olarak da kullanılmaktadır (Kükürtçü, 2008).

2.2.4. Seramikler

Seramik, yüksek ısında kaya parçalarının kaolen ile pişirilmesi ile elde edilen metal olmayan ürün anlamını taşır. Feldspar, kuartz ve kaolin birleşimiyle oluşan, yüksek sıcaklıkta pişirilen seramik maddeye de porselen denir (Tekin, 2017).

Vücutun zarar gören veya işlevini yitiren parçalarının tamiri, yeniden yapılandırılması ya da yerini alması için kullanılan özel tasarımlı camlar, seramikler ve cam-seramikler biyoseramik olarak adlandırılmaktadır. Biyoseramiklerin implant olarak kullanılabilmelerinin sebebi, fizyolojik çevreye olan uyumluluklarıdır. Bu uyumluluk biyoseramiklerin içерdiği Na^+ , K^+ , Ca^{2+} ve Mg^{2+} gibi iyonlar ve/veya fizyolojik çevrede sıkça bulunan Al, Zr, Ti gibi iyonlara bağlıdır (Kükürtçü, 2008).

Dental uygulamada kullanılan ilk diş patenti 200 yılı aşkın bir süre önce alınmıştır. Yine yıllar önce porselen diş icat edilmiş ve diş platin çerçeveyle düzenlenmiştir. Kimyasal bağlantılı olan feldspatik porselenler 1960'lardan bu yana; metal-seramik protezlerde kullanılmaktadır. 1965 yılında, tam seramiklerin kırılma dayanımlarının zayıf olmasından dolayı seramiklerin yapısına %40-50 oranında Al_2O_3 ilave edilerek geliştirilmeye çalışılmıştır. 1900'lü yıllarda 130 MPa kırılma dayanımı olan, ısı ve basınç altında hazırlanan, preslenebilir cam seramikler tanıtılmıştır. Yıllar geçtikten sonra ise 350-450 MPa kırılma dayanımına sahip, preslenebilen cam seramik sistemleri geliştirilmiştir. Zirkonya ise ilk olarak diş hekimliğinde 2004 yılında kron ve köprü yapımında kullanılmıştır (Tekin, 2017).

Biyoseramikler özelliklerine ve bileşimlerine bağlı olarak çok farklı uygulamalarda kullanılmaktadır. Biyoaktif camlar çok dayanıklı olmadıkları için, daha çok dayanılık gerektirmeyen dental uygulamalarda diş tedavisi amacıyla veya orta kulak kemiklerinin tedavisinde kullanılırlar (Kükürtçü, 2008). Hulbert ve arkadaşları, seramiklerin biyobozunmasıyla ile ilgili olarak bağıl inertliklerinin öneminden bahsetmiş ve kemiğe implante edilen seramik malzemelerin “kemikotaktik” (hücrelerin, mikroorganizmaların veya virüslerin kimyasal bir bileşige doğru veya o bileşikten uzaklaşıcı yönde hareketleri) özelliği sayesinde tutunmanın gerçekleştiğini belirtmişlerdir (Özkan, 2016).

Biyoseramik malzemeler, vücut dokularının malzemeye verdikleri tepkiye göre biyoinert, biyoaktif ve biyoemilebilir olarak 3 tipte bulunurlar.

Biyoinert seramik malzemeler, çevresindeki vücut dokuları ile temas geçikleri anda malzemeyi sarmak üzere kapsül oluşmaya başlar. Bu malzemelere örnek olarak alümina (Al_2O_3), zirkonya (ZrO_2) seramikleri verilebilir.

Alüminyum oksit (Al_2O_3) yani bilinen adı ile ‘alümina’, biyoinert seramik malzemelerin en önemli temsilcisidir. Alüminanın tek kararlı fazı olan korundum biyomalzeme olarak yoğun şekilde kullanılmaktadır. Korundum doğal kristal yapısı içerisinde krom (Cr) iyonu içerirse ‘yakut’, titanyum (Ti) iyonu emprüteleri içerirse ‘safir’ ve klor (Cl) iyonu emprüteleri içerirse ‘zümrüt’ ismini almaktadır. Bu empürite çeşidine göre malzemenin rengi de farklılaşmaktadır. Yakut kırmızı, safir mavi ve zümrüt yeşil renktedir. Alümina hakkında sürdürulen araştırmalar; safiyeti artırma, teorik yoğunluğa yaklaşma, daha ince taneli üretme ve daha iyi mekanik özelliklere ulaşma unsurları doğrultusunda devam etmektedir (Yelten, 2010).

Biyoaktif seramik malzemeler ise çevresini saran vücut dokular ile sıkı gib biyokimyasal bağ kurar. Biyoaktif seramik malzemelerin biyolojik aktiviteleri yüksek olduğu için doku hücreleri içerisinde doğru büyümeye eğilim gösterirler. Biyoaktif seramikler leğen kemiği, bel kemiği gibi daha fazla yük binen bölgelerde kullanılırlar. Bunların dışında biyoaktif cam-seramikler kulak (çekiç-örs-üzengi) kemiklerinin tedavisinde ve kemik dolgu malzemesi olarak fazla yük binmeyen bölgelerde toz halinde kullanılabilirler (Kükürtçü, 2008)

Biyoemilebilir seramik malzemeler, doku ile yer değiştirebilen malzemeler olarak bilinirler. Bu malzemeler, vücut içinde kendi kendisine çözünerek kendisini çevreleyen dokunun yerini alır. Ancak bu çözünme sonrasında herhangi bir toksit kalıntı olmaması gerekmektedir. Biyoemilebilir bir malzeme ile doku arasındaki etkileşimden dolayı vücuda yerleştirilen malzemeler zaman ilerledikçe dokudan ayırt edilemez hale gelmektedir.

2.2.4.1. Seramiklerin Sınıflandırılması

Seramiklerin endikasyonlarına göre (Anterior ve posterior kron, veneer, post-kor, sabit protezler), bileşimlerine göre, temel kristal faz ve/veya matriks faz oluşlarına göre, üretim metodlarına göre, (Döküm, sıcak izostatik presleme gibi), pişirilme sıcaklıklarına göre, mikroyapısına göre (Amorf cam, kristalin), geçirgenliğine göre (opak, transparan) kırılma dayanımına göre ve aşınma durumuna göre çok farklı şekillerde sınıflandırılabilirler. Seramiklerin birçok sınıflandırılmaları olmasına karşın

en çok kullanılan işleme sınıfına sınıflandırmaları ve sinterleme sıcaklığına göre sınıflandırmaları Tablo 2.4 ve Tablo 2.5 de verilmiştir (Tekin, 2017).

Tablo 2. 4 Dental seramiklerin sinterleme sıcaklıklarına göre sınıflandırılması (Tekin, 2017).

Sınıf	Uygulamaları	Sinterleme Sıcaklık Aralığı
Yüksek İst	Takma protez dişleri, tam sinterlenmiş alüminyum ve zirkonya kor seramikleri	>1300 °C (>2372 °F)
Orta İst	Takma protez dişleri, önceden sinterlenmiş zirkonya	1101 °C-1300 °C (2013 °F-2372 °F)
Düşük İst	Kron ve köprü veneer seramikleri	850 °C-1100 °C (1562 °F-2012 °F)
UltraDüşük İst	Kron ve köprü veneer seramikleri	<850 °C (<1562 °F)

Tablo 2. 5 Seramiklerin işleme metoduna göre sınıflandırılması (Tekin, 2017).

Başlangıç biçimlendirme yöntemi	Örnekler	Başlangıç materyal formu	İkinci İşleme adımı	Sonraki formu	Son adım
Kondansasyon	Ceramo VITA VMK, Duceram LFC, IPS d.Sing	Toz ve sıvı karışımı	Kor seramığın sinterlenmesi	Hacimce %5'ten az porsüzel yoğun kor seramik	Veneer, glaze
Sıcak presleme	IPS Empress 2, OPC 3G, Fineze pressable	Yüksek kaliteli seramik külçe	Sadece renklendirmek veya renklendirme ve glazeleme veya seramiki veneerleme	Renklendirilmiş/glazelenmiş inlay veya veneer kor	Sabit protez ve kronlar için renklendirme ve/veya glazeleme
Döküm	Dicor	Cam kor	İsl katalizasyon	Cam faz ve tetrasilikik bozumca kristallerini içeren cam-seramik kor	Porselenin gölgelendirilmesi
Slip Casting	In-Ceram Alumina, In-Ceram Spinell, In-Ceram Zirconia	Toz ve sıvı karışımı	Kısmen sinterleme	Kısmen sinterize kor	Fazla cam, veneer, glazemin alınması, cam infiltrasyonu
CAM ile tam sinterize form	Cerec VITABLOCS In-Denzir, BruxZir	Yüksek kaliteli seramik külçe	Eğer gerekliyse marjin tamiri	Mمungkin olduğunda marjini düzeltilmiş yüksek kaliteli kor	Veneer, glaze (BruxZir dışında)
CAM ile kısmen sinterize form	Cercon, Lava, e.max ZirCAD	Kısmen sinterize seramik blok	Final sinterleme, eğer gerekliyse marjin tamiri	Mمungkin olduğunda marjini düzeltilmiş tam sinterize kor	Veneer, glaze
Copy milling	Çeşitli seramik unutları	Yüksek kalitede seramik blok	Eğer gerekliyse marjin tamiri	Mمungkin olduğunda marjini düzeltilmiş yüksek kaliteli kor	Veneer, glaze
Makine ile İşleme, gentişlemiş die üzerinde kuru preslenmiş tozun eğitilmesi	Procera AllCeram	Kuru preslenen ve makinede eğitilen alüminyum blok	Sinterleme	%99.9 oranında alüminium içeren yüksek kaliteli kor	Veneer, glaze

2.2.4.2. Seramik Restorasyonların Uygulama Alanları

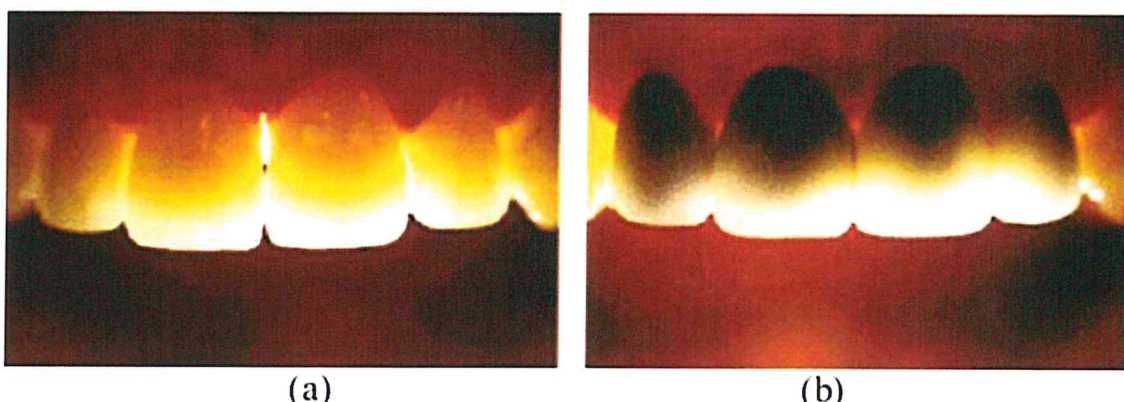
Günümüzde seramik biyomalzemeler, metal seramik restorasyonlar, tam seramik restorasyonlar, seramik protez dişleri olmak üzere 3 ana uygulama alanı vardır (Tekin, 2017).

2.2.4.2.1. Metal Seramik Restorasyonlar

Diş hekimliğinde metaller genellikle alaşım şeklinde kullanılır. Saf metaller yerine alaşımının kullanımıyla gerekli fizikal özellikler elde edilir. Aynı zamanda restorasyonlarda uzun süreli başarı sağlayabilecek fizikal ve biyolojik özellikler kazandırılır. En basit haliyle metal-seramik kron ya da köprü protезinin metal alt yapı ve seramik üst yapı (opak seramiği, dentin ve mine seramiği ve glazür) olacak şekilde iki bileşeni vardır (Tekin, 2017).

2.2.4.2.2. Tam Seramik Restorasyonlar

İlk zamanlarda tam seramik materyaller, metal destekli seramiklere göre daha estetik duruyordu. Ancak buna rağmen kırılma dayanımlarının yetersiz olmasından dolayı tercih edilmemekte ve metal seramik kron ve köprüler kullanılmaktaydı.



Şekil 2. 5 Zirkonya (ZrO_2) destek kullanılarak yapılan (a) metal desteksiz (tam seramik) ve (b) metal destekli köprü uygulamasının ışık altındaki görüntüleri (Yazıcı, 2013)

Ancak tam seramiklerin kırılma dayanımlarının artırılması, seramik üretimindeki son gelişmeler nedeniyle tam seramik ürünlerin kullanımını oldukça arttırmıştır ve 20. yüzyılın başından itibaren seramik kron ve köprüler yaygın bir şekilde kullanılmaya başlanmıştır. Tam seramikler içeriklerine göre silikat seramikler ve oksit seramikler olarak ikiye ayrılmaktadır:

1-Silikat seramikler

a. Feldspar

- Geleneksel feldspar
- Yüksek dirençli feldspar

b. Alümina

2-Oksit seramik sistemler

- a. Alüminyum oksit seramikler
- b. Zirkonyum oksit seramikler

Polikristalin seramikler, içeriğinde cam bulunmayan sadece kristal faza sahip seramiklerdir. İçeriklerindeki kristallerin düzenli yapısı sayesinde kırılmalara karşı daha dayanıklıdır. Alüminyum oksit seramikler; ön ve arka dış kron restorasyonlarında ve ön dişlerde köprü yapımında kullanılabilirler. Zirkonyum oksit seramik sistemlerinde, genellik saf zirkonyanın stabilize olması için % 3'lük itriyum oksit ilavesiyle elde edilen zirkonyumun oda sıcaklığında tetragonal fazda kalması ve hacim genleşmesinin kontrolü sağlanır. Alüminyum oksit seramiklere göre, dayanıklılıkları (750-1000 MPa) daha yüksektir.

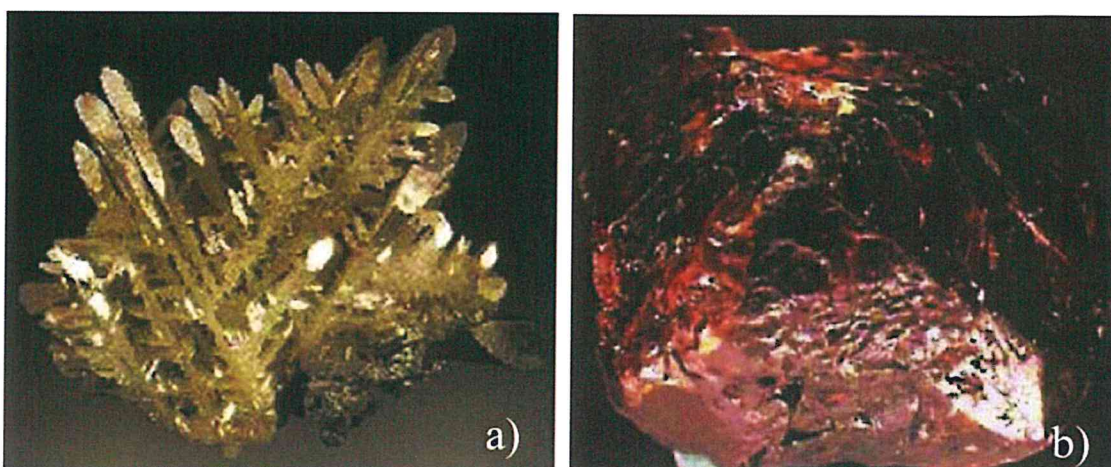
2.2.4.2.3 Zirkonya Tam Seramik Restorasyonlar

Zirkonyanın tüm kristal düzenli diziler halinde yoğun bir şekilde paketlenmiş ve daha sonra sinterlenmiş halde bulunmaktadır. Yoğun yapıdaki kristal kafes, kırık ilerlemesini azaltmaktadır. Zirkonya 1970'lerden beri geniş bir kullanım alanına sahip olmuştur. Diş hekimliğinde ise zirkonyanın kron ve köprü yapımında kullanımı 2004 yıllarında başlamıştır. Zirkonyanın mekanik ve elektriksel özellikleri oldukça iyidir. Zirkonyanın tetragonal fazdan monoklinik faza geçişte hacminde %3-5 oranında artış görülür. Bu şekilde zirkonyanın sertliği ve dayanıklılığı azalmaktadır. Bu koşullar altında saf zirkonyanın dental restorasyonlarda kullanımı imkansızdır. Bu nedenle zirkonya oksitler kullanılarak mikro çatlaklar önlenir ve tetragonal fazın olumlu özellikleri korunmuş olur (Tekin, 2017).

2.3 Zirkonya

Zirkonyum, şist, gnays, siyenit, granit gibi kayaçların içerisinde bulunan, Zr sembolü ile gösterilen, grimsi bir renge sahip bir elementtir. 1855°C ergime sıcaklığı,

4409°C kaynama derecesi olan zirkonyumun yoğunluğu $6,49 \text{ g/cm}^3$, tür. Zirkonyum Şekil 2.6'da görüldüğü gibi zirkon ve baddeleyit olarak iki farklı mineral formunda bulunan zirkonyum yer kabuğunun %0.028'ini teşkil eder. Bu formlardan en yaygın bulunanı olan zirkon, Avustralya, Amerika ve Hindistan'da bulunur. Baddeleyit, zirkon kadar yayın olmamakla beraber safsızlıklar içerir. İçerdikleri safsızlıklar nedeniyle ancak safsızlıklar uzaklaştırıldığı takdirde seramik üretiminde kullanabilirler (Günhan, 2014).



Şekil 2. 6 Zirkonyum mineralleri: a) Baddeleyit (ZrO_2), b) Zirkon (ZrSiO_4) (Günhan, 2014).

Zirkonya'nın bilim ve teknolojiye girmesi, malzeme biliminde bir devrim olarak kabul edilmektedir. Bunun nedenleri şöyle sayılabilir.

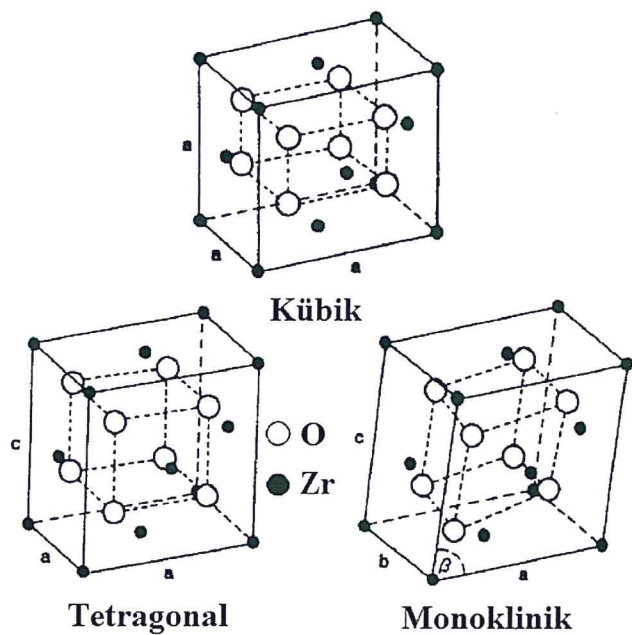
1. Yüksek Ergime sıcaklığı
2. Asidik kimyasal maddeler karşı gösterdiği direnç
3. Korozyon, erozyon ve aşınmaya karşı dayanıklılığı
4. Isıl şoka dayanıklı oluşu
5. Yüksek kırılma tokluğu (Sünbül, 2007)

Zirkonyanın günümüzde birçok ticari olarak kullanım alanı aşağıda verilmiştir.

- Refrakter malzeme
- Isıtıcı eleman
- İzolasyon malzemesi
- Abrasiv kesici aletlerin üretiminde
- Ekstrüzyon kalıplarında ve aşınmaya dayanıklı makine parçalarında

- Oksitlenmeye karşı ve termal bariyer amaçlı yapılan seramik kaplamalarda
- Seramik filtre üretiminde
- Yakıt hücrelerinde
- Piezoelektrik, elektrooptik devrelerde ve kapasitörlerde
- Katı elektrolit ve oksijen sensör imalinde
- Dizel ve ısı motorları
- Dental uygulamalar (Yazıcı, 2013).

Zirkonyum oksit yani zirkonya biyoinert seramik bir malzemedir. 1980 li yılların sonunda adından sıkça bahsettiren zirkonya, alüminaya alternatif olarak gösterilmiştir. Zirkonyanın alüminanın zayıf kırılma tokluğu yüzünden gelişmesi önemli görülmüştür. Zirkonya alüminayla benzer alanlarla kullanılmaktadır. Zirkonyanın alüminaya göre daha düşük elastik modülüne, basma dayanımına ve daha yüksek çekme dayanımı ile kırılma tokluğuna sahip olduğu bilinmektedir (Yelten, 2010).



Şekil 2. 7 Zirkonya polimorflarının kristal yapıları (Günhan, 2014)

Zirkonya, zirkonyumun oksit formudur ve Şekil 2.7'de görüldüğü gibi monoklinik, tetragonal ve kübik olmak üzere üç adet polimorfu vardır. 1170°C kübik formda bulunan zirkonya, $1170\text{-}2370^{\circ}\text{C}$ arasında tetragonal, $2370\text{-}2680^{\circ}\text{C}$ arasında kübik formda olduğu bilinmektedir (Günhan, 2014).

Zirkonyayı ısıtma ve soğutma esnasında meydana gelen faz dönüşümü sırasında hacminde oluşan artık veya tersi durumda azalış, yapıda çatlak oluşumuna sebep olmaktadır. Kristal yapıda meydana gelen bu değişimleri önüne geçmek için zirkonyanın stabilize edilmesi gereklidir. Bu sorun saf zirkonya içeresine CaO, MgO, CeO₂ ve Y₂O₃ gibi oksitler eklenerek çözülmüştür. Tablo 2.6'da bazı katkılı zirkonyaların mekanik özelliklerini verilmiştir.

Tablo 2.6 Zirkonyanın mekanik özellikleri (Sünbül, 2007)

Özellikler	m-ZrO ₂	TZP	Mg-PSZ
Y ₂ O ₃ %		%3 mol	
MgO %			%3,4 mol
Yoğunluk g/cm ³	5,83	6,05	5,72
Sertlik GPa		12,6	11,8
Ortalama tane boyu	0,15	0,2-0,4	0,42
Elastik modülü- GPa	195	150	208
Kırılma tokluğu- (MPa m ^{1/2})	2	7-8	8

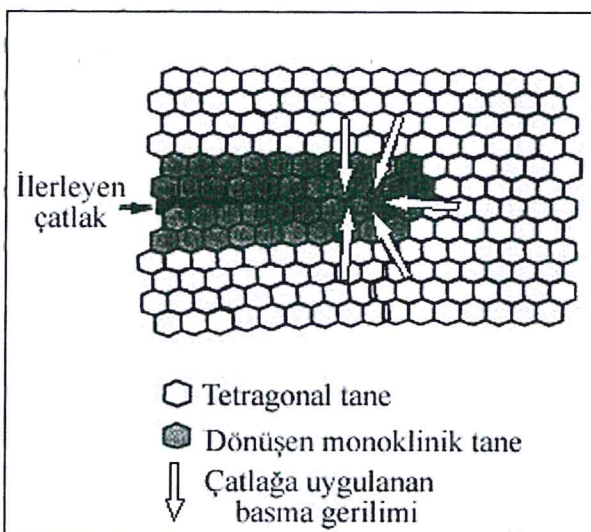
Mg-PSZ, Y-PSZ ve Y-TZP'nin fiziksel özellikleri tablo 2.7'deki gibidir.

Tablo 2. 7 Mg-PSZ, Y-PSZ ve Y-TZP'nin fiziksel özellikleri (Yazıcı, 2013)

Özellikler	Mg-PSZ	Y-PSZ	Y-TZP
Kütle Yoğunluğu (g / cm ³)	5,9	6,05	6,1
Termal Genleşme Katsayısı (x 10 ⁻⁶)	6,8	10,23	10,6
Termal İletkenlik (W.m ⁻¹ .K ⁻¹)	1-2	1-2	1-2

2.3.1 Dönüşüm Toklaşması

Zirkonyanın bir önceki bölümde belirtilen özelliklerinin temelinde dönüşüm toklaşması yer almaktadır. Sinterleme işlemi tamamlanıp, soğuma aşamasına geçildiğinde sıcaklık düşüşüyle zirkonya, tetragonal kristal yapısından monoklinik kristal yapısına dönüşür. Bu dönüşümle hacimsel artış gözlenir. Bu hacim artışı, malzeme yapısında bulunan çatlakları absorbayarak çatlağın ilerlemesine engel olmaktadır (Sünbül, 2007).



Şekil 2. 8 Zirkonya biyoinert seramik malzemesinde karşılaşılan dönüşüm toklaştırması (Sünbul, 2007)

Tokluk, çatlak ilerlerken absorbe edilen enerjinin bir ölçüsüdür. Dönüşüm tokluğu ise bir malzemede var olan çatlakları ilerleten gücü azaltan ve gerilmeye neden olan faz dönüşümü esasına dayanan süreç olarak tanımlanır. Zirkonyaya ($t \rightarrow m$) dönüşümü sonucu materyal içerisinde oluşan %3–5 oranındaki hacim artışı çatlak uçlarında lokalize baskı gerilimlerini meydana getirir. Dönüşüm tokluğu mekanizması tetragonal-monoklinik faz dönüşümüne bağlı olarak zirkonya esaslı seramiklerde gözlenir. Zirkonyadaki bu “çatlak durdurucu” mekanizma başka hiçbir diş hekimliği seramığında gözlenmez. Bundan dolayı zirkonya esaslı seramiklerin kırılma dayanımı diğer seramiklerden oldukça yüksektir. (Tekin, 2017)

2.3.2 Diş Hekimliğinde Kullanılan Zirkonya İçerikli Seramikler

Diş hekimliğinde en sık kullanılan dört tip zirkonya içerikli seramik vardır.

1. Zirkonya ile sertleştirilmiş alümina seramik (ZTA)
2. Magnezyum katyon katkılı kısmen stabilize zirkonya (Mg-PSZ)
3. İtriyum katyon katkılı tetragonal zirkonya polikristaller (Y-TZP)
4. Seryum ile Stabilize Zirkonya/Alümina Nanokompozit (Ce-TZP/A)

2.3.2.1 İtriyum ile Stabilize Edilmiş Tetragonal Zirkonya Polikristalleri (Y-TZP)

Tetragonal zirkonya polikristalleri (TZP), biyomalzeme olarak üstün özelliklerinden dolayı başta diş hekimliği olmak üzere birçok alanda kullanılan seramik bir malzemedir. Günümüzde Tetragonal Zirkonya Polikristallerinin (TZP) malzemelerin üretiminde dengeleyici olarak genellikle itriyum Y_2O_3 kullanılmaktadır (Boyacıoğlu, 2007).

Tablo 2. 8 TZP genel özellikler (Boyacıoğlu, 2007)

TZP Genel Özellikleri	
Renk	Beyaz
Ergime noktası	2720 °C
Kütle yoğunluğu	6,05 g/cm ³
Termal iletkenlik	0,007 cal/cm.s.°C
Termal şok direnci ($\Delta T^{\circ}\text{C}$)	360

Bazı özellikleri Tablo 2.7'de verilen 3Y-TZP'nin mekanik özellikleri tane boyutuna bağlıdır. Tane boyutunun 1 μm 'den küçük olması durumunda malzeme, düşük dönüşüm hızına bağlı olarak faz dönüşümüne duyarlı hale gelecektir. Yaklaşık 0.2 μm den düşük tane boyutunda düşük kırılma tokluğuna neden olan dönüşüm gerçekleşmez. Aynı zamanda sinterleme koşullarıda mekanik özellikleri etkilemektedir. Sinterleme süresinin artması veya sıcaklığın artması büyük tane boyutu eldesine neden olur. Mekanik özellikleri, diğer dental malzemelerden gelişmiş olan 3Y-TZP'nin eğme mukavemeti 800-1000 MPa, kırılma tokluğu ise 6-8 MPa $\text{m}^{1/2}$ arasında olduğu bilinmektedir (Günhan, 2014).

Tablo 2. 9 İtriyum ile stabilize edilmiş bir zirkonianın kimyasal bileşimi (Yazıcı, 2013)

Kimyasal Bileşim	
A.Z. (wt %)	0,61
Y ₂ O ₃ (wt %)	5,56
Na ₂ O (ppm)	<10
Fe ₂ O ₃ (ppm)	10
SiO ₂ (ppm)	135
TiO ₂ (ppm)	<10
CaO(ppm)	<15
MgO(ppm)	25
Al ₂ O ₃ (ppm)	<20
SiO ₄ -2 (ppm)	<100
Cl- (ppm)	<50

%3 mol itriyum içeren zirkonya (3Y-TZP) sabit protez ve implantlarda sıkılıkla kullanılmaktadır. Ayrıca 3Y-TZP 20 yıldan fazla süredir ortopedik aygıtların üretiminde kullanılmaktadır (Yazıcı, 2013). Dişçilikte tercih edilen 3Y-TZP, ön sinterlenmiş

blokların dış formunda işlenerek yüksek sıcaklıklarda sinterlenmesi ya da tamamen sinterlenmiş blokların sert işlenmesi ile üretilmektedir.

2.3.2.2 Zirkonya ile sertleştirilmiş alümina seramik (ZTA)

Zirkonya toklaştırılmış alümina, zirkonya taneleri ve alümina matristen oluşan bir seramik kompozit malzemedir. Zirkonya ile güçlendirilmiş alümina seramiklerin diğer zirkonyalardan farkı; stabilizasyon amacıyla ilave iyonların kullanımı yerine stabilizasyonun; partikül boyutları, partikül morfolojisi ve lokasyonu ile sağlanmasıdır. Kısmen stabilize edilmiş zirkonyum ilavesi, materyalin büükülme, kırılma ve yorgunluk direncini artırarak arka bölgede kullanımına olanak vermiştir. Bununla birlikte bu materyal opak yapısı nedeniyle estetik olarak aynı başarıyı gösterememektedir (Yazıcı, 2013).

ZTA seramilerin en dayanıklısı In-Ceram Zirkonyadır. In-Ceram Zirkonya, hacimce %33 ve %12 mol seryum ile stabilize edilmiş zirkonyanın (12Ce-TZP) In-Ceram Alümina'ya ilavesi ile elde edilir. Oluşan kompozit Y-TZP'ye göre daha kötü mekanik özelliklere sahiptir ancak düşük sıcaklık bozulmasına karşı daha büyük direnç göstermektedir (Tekin, 2017).

Slip döküm yöntemiyle üretilen In-Ceram Zirkonya, sınırlı bir pişme küçülmesi göstermesine karşın sinterlenmiş 3Y-TZP'ye kıyasla daha yüksek oranda porozite içermektedir. Bu durum 3Y-TZP'ye göre daha düşük mekanik özellikler göstermesinin nedenidir (Günhan, 2014).

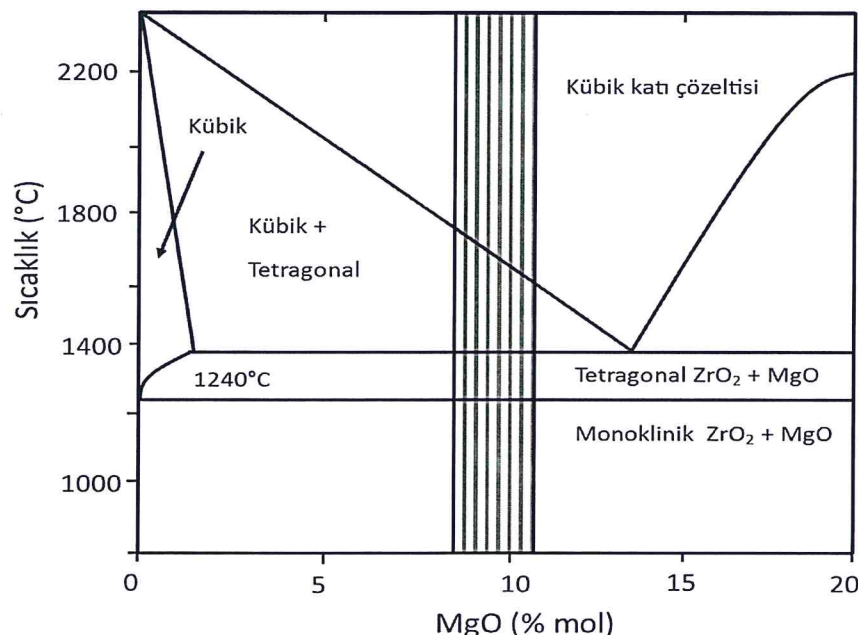
2.3.2.3 Magnezyum katyon katkılı kısmen stabilize zirkonya (Mg-PSZ)

Zirkonyayı stabilize etmek amacıyla kullanılan oksitler, saf zirkonyanın ısıl işlem davranışını değiştirir. Tamamen stabilizasyon için gerekli olan miktdan daha düşük oranlarda kullanılan oksit ilaveleri 1000°C ve üzerinde tetragonal faza geçiş sağlar. Oda sıcaklığına yeniden düşüldüğünde ise yapıda kübik ve tetragonal fazların karışımı görülür. Sonuç olarak, yarı stabilize olarak adlandırılan yapı oda sıcaklığında kübik, tetragonal ve düşük oranlarda monoklinik fazlardan oluşmaktadır. Bu yapı “Kısmi Stabilize Zirkonya (KSZ)” veya “Partially Stabilized Zirconia (PSZ)” olarak ifade edilir.

Tablo 2. 10 MgO KSZ, Y₂O₃ KSZ ve CaO KSZ seramiklerinin mekanik özellikleri (Boyacıoğlu, 2007)

Özellikler	Y ₂ O ₃ KSZ ZrO ₂	CaO KSZ ZrO ₂	MgO KSZ ZrO ₂
Katkı Miktarı (% Ağ.)	5-10	3-4,5	8-10
Young Modülü (GPa)	180-220	200-220	170-210
Eğilme Mukavemeti (MPa)	650-1000	400-650	440-720
Kırılma Tokluğu KIC (MPa.m ^{1/2})	6-8	6-12	6-20
Sertlik (GPa)	8-12	14-17	10-14

Mg-PSZ olarak isimlendirilen Mg ile yarı kararlı hale getirilmiş zirkonya, kübik bir matriks içerisinde tetragonal kristallerden meydana gelmektedir. Bu materyal, magnezyum oksit tarafından stabilize edilir. MgO-ZrO₂ sistemleri için genel olarak kabul edilen faz diyagramı Şekil 2.9 da gösterilmektedir. (Uz, 2018) Mg-PSZ su varlığında 3Y-TZP ile karşılaşıldığında tetragonal fazda stabilizasyonu daha zor olmaktadır. Farklı stabilize oksitlerle oluşturulan kısmi stabilize zirkonyanın genel özellikleri Tablo 2.9'da gösterilmektedir.



Şekil 2. 9 MgO-ZrO₂ faz diyagramı

Mg-PSZ'nin gözenekli yapısı ve büyük tane boyunun neden olduğu aşınmaya karşı düşük direnci sebebiyle başarılı uygulamaları oldukça sınırlıdır. Mg-PSZ'nin mikroyapısı, kübik zirkonya matris içerisindeki tetragonal çözeltilerden oluşmaktadır.

Bu nedenle Mg-PSZ düşük mekanik özelliklere ve daha kararsız bir yapıya sahiptir. 1680-1800°C arasında değişen yüksek sıcaklıklarda sinterlenen Mg-PSZ, kontrollü bir soğutma işleminden geçirilmelidir. Soğutma esnasında bozunmanın gerçekleştiği aşamada (1100°C) dönüşüme duyarlı tetragonal faz çözeltisi oluşmakta, bu oluşumdan kaynaklanan hacimsel orandaki değişim, malzemenin kırılma tokluğunu kontrol eden önemli bir kriter olarak değerlendirilmektedir (Tekin, 2017).

2.3.2.4 Seryum ile stabilize edilmiş zirkonya-Alümina kompoziti (Ce-TZP/A)

Seryum ile stabilize edilmiş zirkonya yani Ce-TZP, düşük sıcaklık bozunmasına karşı dirençlidir. Bununla birlikte düşük esneme dayanımına sahiptir. Matriks içerisindeki nanosilikika alüminanın homojen dağılımı kırılma sertliğini etkilemeden esneme dayanımını arttırır. Ce-TZP/A, sabit protezler için sağlam bir seramik materyalidir. Ce-TZP/A porseleninin alt yapılarının kalınlığı 0,3 mm'ye kadar indirilebilir, bu değer Y-TZP için 0,5 mm olmalıdır. Bu nedenle Ce-TZP kullanılsaksa dış preperasyonu miktarı azaltılabilir. Prospektif vaka serilerinin ön sonuçları posterior sabit protezlerde Ce-TZP/A'nın güvenilir bir malzeme olduğunu göstermiştir. Ce-TZP/A'nın düşük sıcaklık bozunmasına karşı tam bir rezistans göstermesinden dolayı bu seramikler lingual tarafta oral ortama maruz kalabilir ve metal altyapı ile benzer destek yapısı gösterir (Tekin, 2017)

3.YÖNTEM

3.1 Amaç

Bu çalışmanın amacı, farklı oranlarda Y-TZP ve Mg-PSZ kullanılarak oluşturulan reçetelerdeki kompozisyonlar hazırlanacaktır. Kompozisyonlar oluşturulduktan sonra şekillendirilme işlemi tamamlanıp sinterleme aşamasına geçilecektir. Elde edilen numunelerin sinterleme sıcaklıklarının ve sinterleme sürelerini fiziksel ve kimyasal özelliklerine etkisi belirlenecek, dental uygulamalarda kullanılabilir oluşu test edilecektir.

Diş görünümü ve ağız sağlığı insanoğlunun önem verdiği bir unsur olarak karşımıza çıkmaktadır. Biouyumluluk özelliğiyle ön plana çıkan zirkonya sahip olduğu fiziksel ve mekanik özellikleriyle detay uygulamalara uygun seramik malzeme olarak kabul edilmiştir. Tetragonal zirkonya polikristalleri TZP, halen yapılan çalışmalarla üstün özellikleri ve biouyumluluğu ile halen kullanılmaktadır.

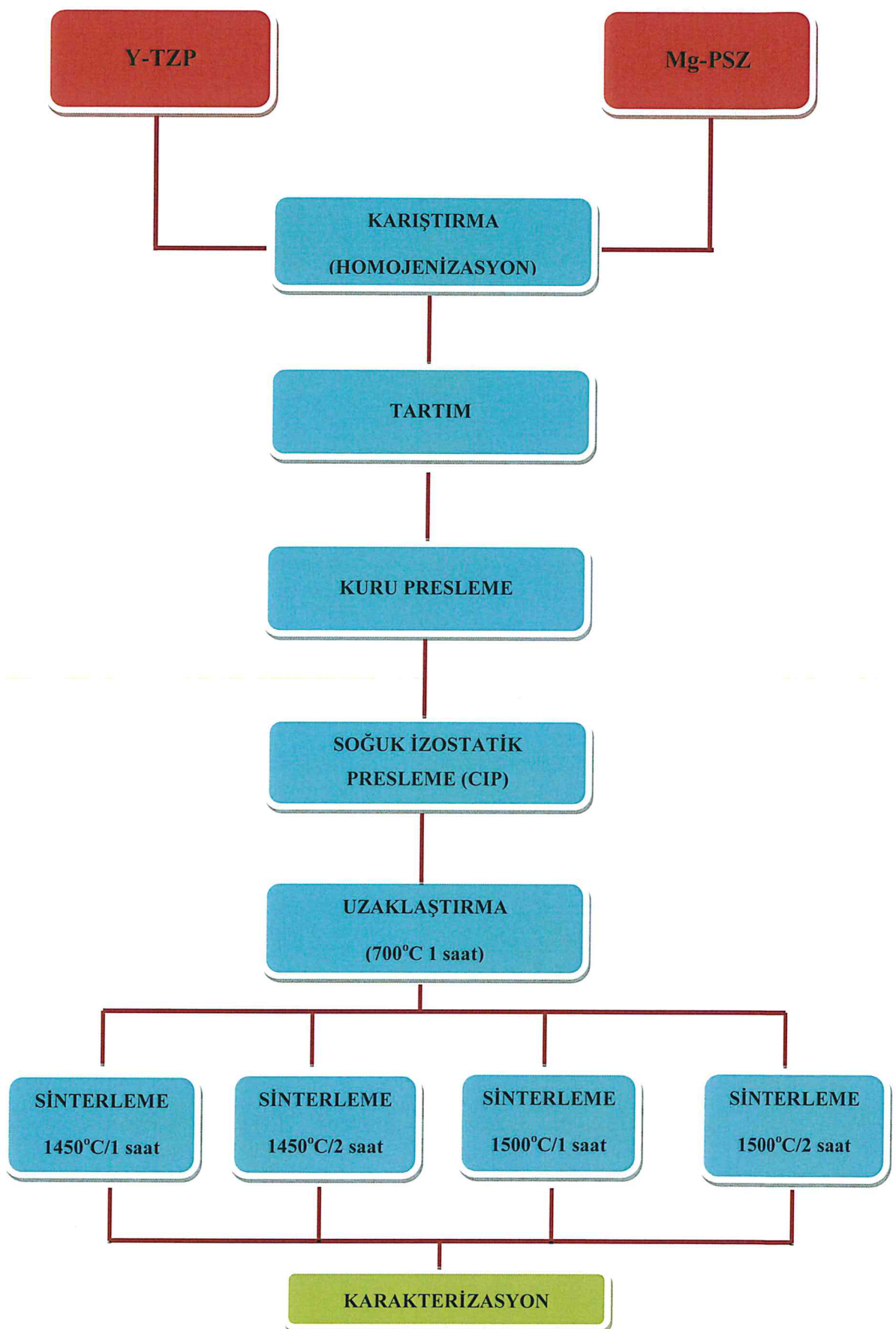
Bu çalışmada, Y-TZP'nin yüksek sertliği, Mg-PSZ'nin yüksek sıcaklık özellikleri kullanılarak, yüksek sertlik ve yüksek sıcaklık kompozisyonlarının geliştirilmesi hedeflenmiştir. Bu üstün özellikler için dental uygulamalarda kullanılabilir malzemelerin geliştirilmesi, kompozisyonlar ve uygun sinterleme sıcaklığı üzerine çalışılacaktır.

3.2 Deney Programı

Yapılan bu çalışmada sırasıyla aşağıdaki aşamalar izlenmiştir.

- Dental uygulamalara uygun malzemeyi üretmek için itriyum (Y) ile stabilize edilmiş tetragonal zirkonya polikristalleri (Y-TZP) ve Magnezyum (Mg) ile kısmi stabilize edilmiş zirkonya (Mg-PSZ) yurtdışından sipariş edilerek temin edilmiştir.
- Literatür çalışmalarından çıkarılan sonuçlara dayanılarak alınabilecek en iyi sonuçlar ve kıyaslamalar için gerekli kompozisyon oranları (%100 Y-TZP, %75 Y-TZP/ %25 Mg-PSZ, %50 Y-TZP/ %50 Mg-PSZ, %25 Y-TZP/ %75 Mg-PSZ, %100 Mg-PSZ) ve sinterleme sıcaklık değerleri (1450 °C, 1500 °C) ve bu sıcaklık değerlerindeki sinterleme süreleri (1 saat, 2 saat) belirlenmiştir.

- Belirlenen kompozisyon oranları için kullanılacak tozların ağırlıkları hesaplanmış ve tartılmıştır. Tartılarak hazırlanan karışımlar gezegen bilyalı dejirmene konulmak üzere öğütme haznelerine konulmuştur. Haznelerin içerisinde toz miktarının yarısı ağırlığında zirkonya bilyalar eklenerek, karıştırma ve homojenizasyon için 4 saat boyunca orta hızda dejermen çalıştırılmıştır.
- Dejermenin haznelerinden alınan tozlar bilyalardan ayrılmak üzere elenmiş ve karışımlar önce kuru presleme yöntemiyle şekillendirilmiş, sonrasında zımpara ile çapakları alınan numuneler soğuk izostatik presleme için kalıplanarak tekrar preslenmiştir.
- Şekillendirmeleri tamamlanan farklı oranlarda itriyum ve magnezyum ile kısmi stabilize zirkonya numuneleri ilk olarak 700°C sıcaklıkta 2 saat süreyle uzaklaştırma işlemi uygulanmış daha sonra ise 1450°C 1 saat, 1450°C 2 saat, 1500°C 1 saat, 1500°C 2 saat sinterleme işlemi yapılmıştır.
- Sinterleme işlemi gerçekleştirildikten sonra farklı oranlarda itriyum (Y) ve magnezyum (Mg) içeren, farklı sinterleme sıcaklığı ve süreleri kullanılarak hazırlanan numunelerin özellikleri incelenmiş, kıyaslanmış ve dental uygulamalar için uygunluğu incelenmiştir.



Şekil 3. 1 Deney programı akış şeması

3.3 Deneylerde Kullanılan Malzemeler

3.3.1 İtriyum (Y) İle Stabilize Edilmiş Tetragonal Zirkonya Polikristalleri (Y-TZP)

Yurtdışından temin edilmiş $6,05 \text{ g/cm}^3$ yoğunluğa sahip 3mol ile stabilize edilmiş Y-TZP kullanılmıştır.

3.3.2 Magnezyum (Mg) İle Kısmi Stabilize Edilmiş Zirkonya (Mg-PSZ)

Yurtdışından temin edilmiş $5,72 \text{ g/cm}^3$ yoğunluğa sahip Mg-PSZ kullanılmıştır.

3.4 Kompozisyonların Belirlenmesi

Farklı karışım oranlarının, sinterleme sıcaklıklarının ve sinterleme sürelerin numunelerin özelliklerine etkisi incelenmesi için ilk olarak numunelerin yüzdesel olarak oranlarına karar verilmiştir.

Tablo 3. 1 Numunelerin kompozisyonları ve uygulanacak sinterleme işlemi

Numune Kodu	Kompozisyon	Sinterleme sıcaklığı	Sinterleme süresi
1	% 100 Y-TZP	1450/1500 °C	1-2 saat
2	%75 Y-TZP/ %25 Mg-PSZ	1450/1500 °C	1-2 saat
3	%50 Y-TZP/ %50 Mg-PSZ	1450/1500 °C	1-2 saat
4	%25 Y-TZP/ %75 Mg-PSZ	1450/1500 °C	1-2 saat
5	%100 Mg-PSZ	1450/1500 °C	1-2 saat

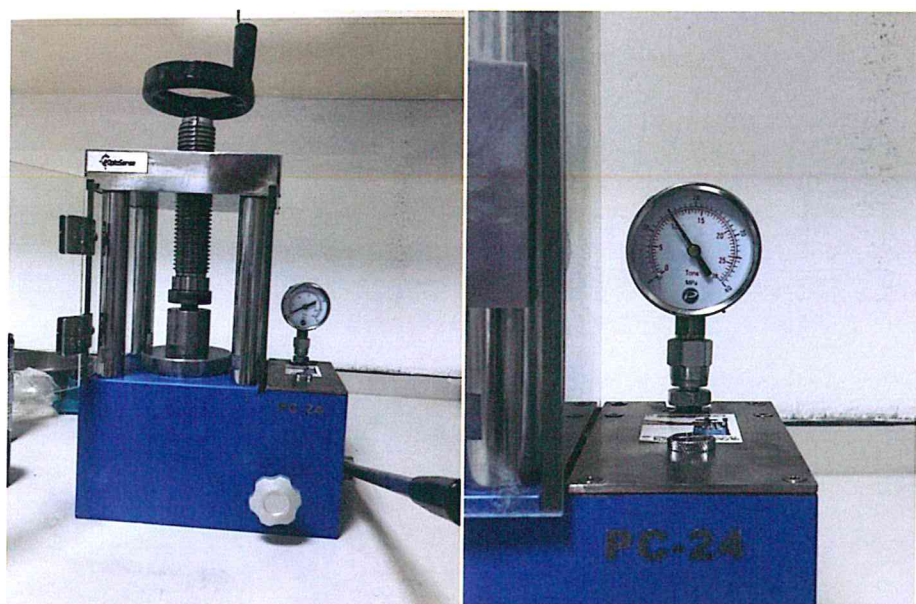
3.5 Karıştırma ve Homojenizasyon İşlemi

Numunelerin kompozisyonları belirlendikten sonra her bir değişken ve farklı testler için gerekli olan 2'şer disk numuneler göre toz miktarları hesaplanmıştır. Tüm kompozisyonlar için toplam toz miktarı hesaplandıktan sonra bilyali değirmenlerin haznelerine konulmuş ve üzerine zirkonya bilyalar eklenerek 4 saat süreyle gezegen tipi bilyali değirmende karıştırılmıştır. Karıştırma işleminden sonra hizneden çıkarılan tozlar elekten geçirilmiş ve şekillendirme işlemeye hazır hale getirilmiştir.

3.6 Şekillendirme

3.6.1 Kuru presleme

Reçetelerin hazırlanması ve gezegen tipi dejirmende bilyeler yardımıyla homojenleştirilen karışımın sonrasında şekillendirme işlemi yapılmıştır. Şekillendirme işleminin ilk aşaması olan kuru presleme yöntemiyle pres yapılmıştır. Kuru presleme genel anlamıyla kullanılacak kalının doldurulması, presin gerçekleşmesi ve preslenen numunenin çıkarılması aşamalarından oluşur. Kullanılan kaliba ve istenilen boyut için gerekli toz miktarı 7 gr hesaplandıktan sonra kalıp numunenin sıkışmasını engellemek için yağlanmış ve ardından tozlar doldurulmuş, kol yardımıyla da 14-15 Mpa basınç ile sıkıştırılmış, şekillendirilmiştir. Şekillendirme işlemi Şekil 3.2'de belirtilen pres makinesi ile kalıplama işlemi yapılmıştır. Kalıptan çıkan numunelerde oluşan çapaklar zımpara yardımıyla temizlenmiştir.



Şekil 3. 2 Kuru preslemede kullanılan pres

3.6.2 Soğuk İzostatik Presleme

Kuru presleme sonrası yapılan izostatik presleme genel olarak düşük bir basınçla şekillendirilmiş numuneleri hidrostatik basınçla tekrar sıkıştırılması işlemidir. Soğuk izostatik presleme (CIP) için kuru presleme sonrasında oluşturduğumuz numuneler kalıp içerisinde vakumlanarak konulmuş ve kalıplar içerisinde sıvı almayacak şekilde iyice bağlanmıştır. Kalıplar içerisinde yağ dolu olan bir basınç kabına bırakılmıştır. Soğuk

izostatik presleme sırasında basıncın her yönden uygulanması numunelerin eşit bir şekilde basıncı uğramasını sağlamıştır.



Şekil 3. 3 (CIP) Soğuk izostatik presleme cihazı

3.7 Uzaklaştırma

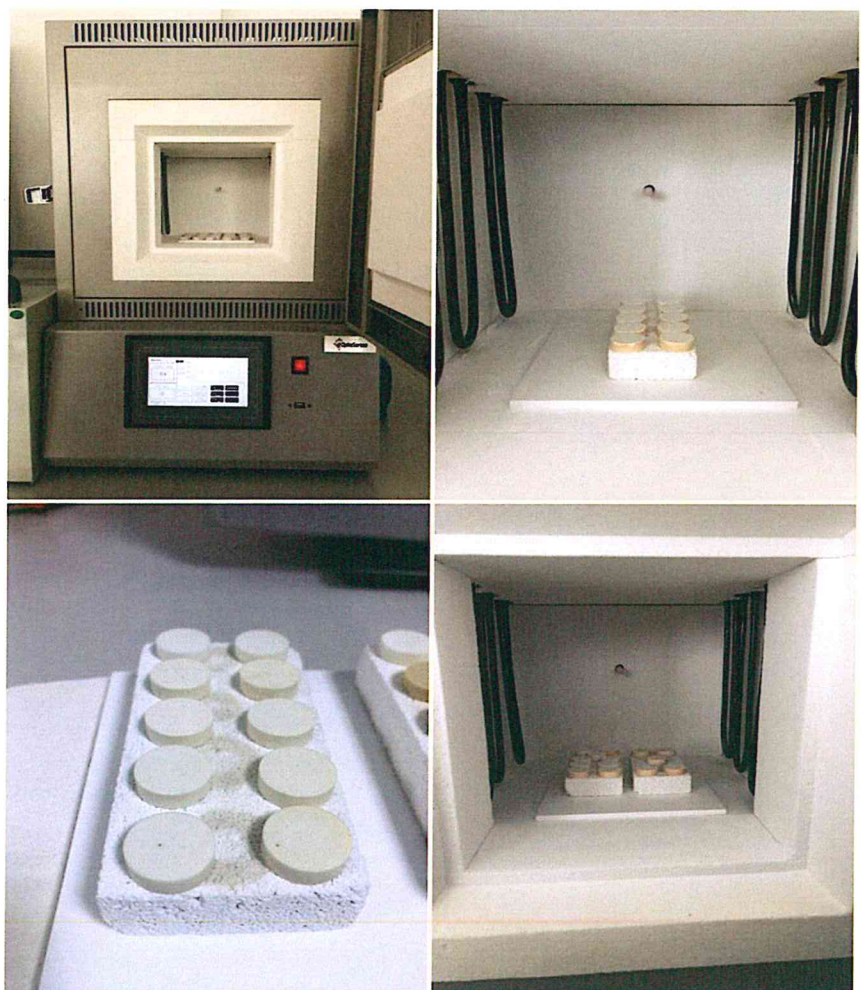
Numuneler sinterleme öncesi fırında 700°C 'de 2 saat süreyle uzaklaştırılma işlemi uygulanmıştır. Numuneler 840 dakikada 700°C 'ye çıkarılmış, bu sıcaklıkta 2 saat süreyle bekletilmiş ve 150 dakikada 50°C 'ye soğutulmuştur.

3.8 Sinterleme

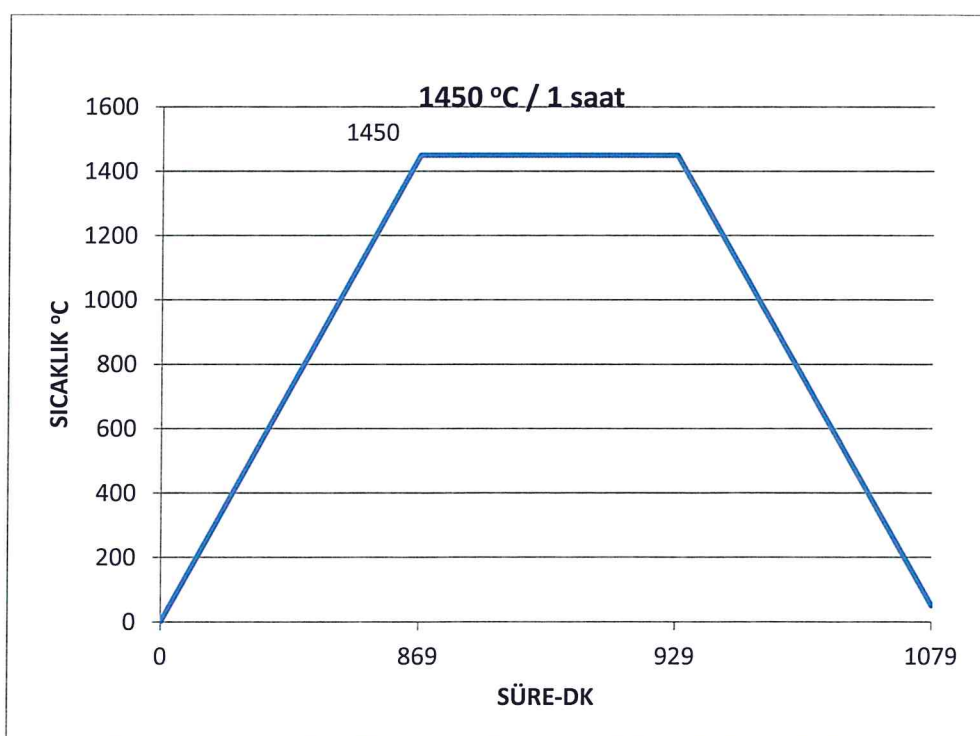
Şekillendirme aşamalarından gelen numuneler için 1450°C , 1500°C sinterleme sıcaklıkları, 1-2 saat sinterleme süreleri belirlenmiş ve uygulanmıştır. Sinterleme için fırın yaklaşık $1,6\text{-}1,5^{\circ}\text{C}/\text{dk}$ ısınma hızına göre hesaplanıp ayarlanmıştır.

Tablo 3. 2 Sinterleme işlemleri ve aşamaları

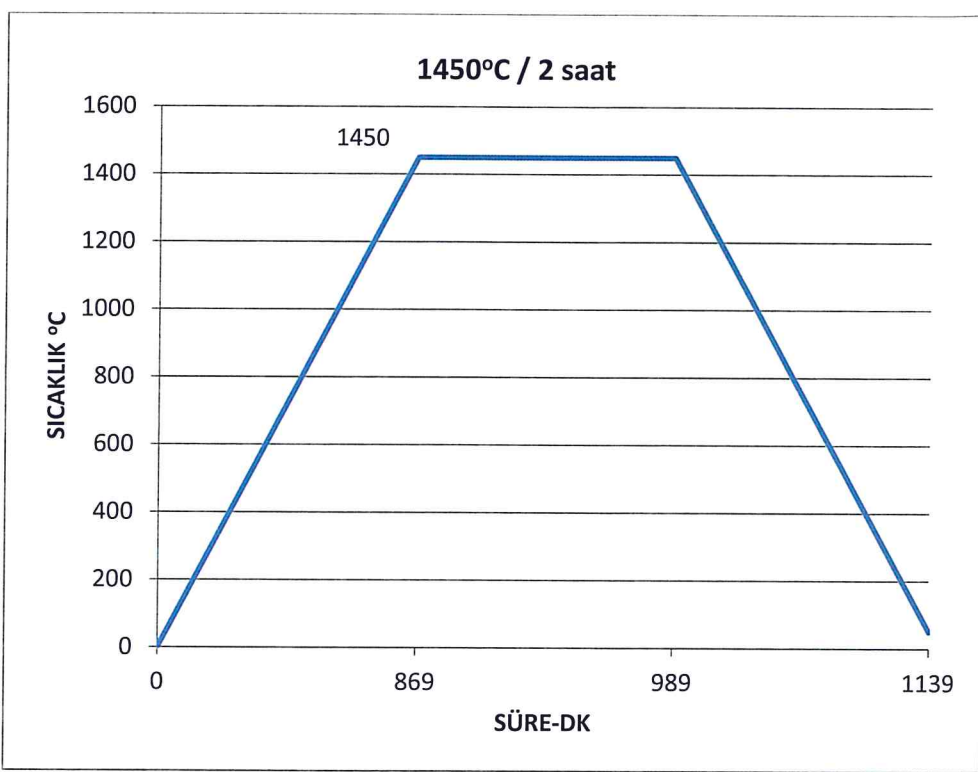
Sinterleme İşlemi	1.Aşama – Çıkış	2.Aşama – Bekleme	3.Aşama - Soğuma
$1450^{\circ}\text{C} / 1$ saat	869 dk - 1450°C	60 dk - 1450°C	150 dk – 50°C
$1450^{\circ}\text{C} / 2$ saat	869 dk - 1450°C	120 dk - 1450°C	150 dk – 50°C
$1500^{\circ}\text{C} / 1$ saat	900 dk - 1500°C	60 dk - 1500°C	150 dk – 50°C
$1500^{\circ}\text{C} / 2$ saat	900 dk - 1500°C	120 dk - 1500°C	150 dk – 50°C



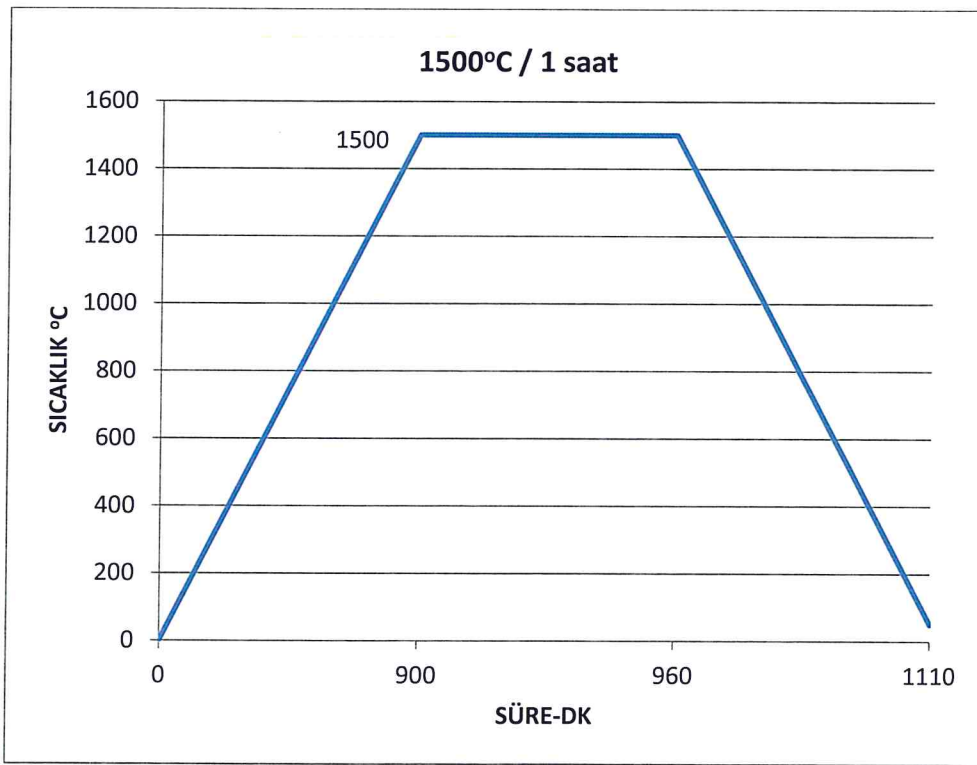
Şekil 3. 4 Numunelerin sinterlenmesi için fırına yerleştirime aşaması



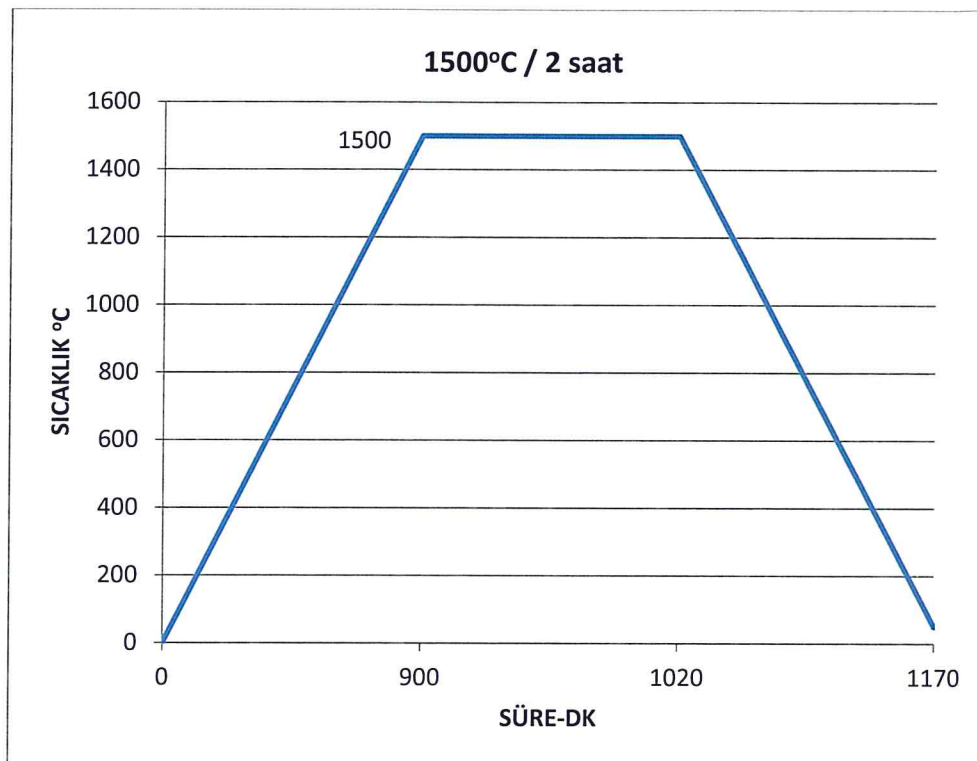
Şekil 3. 5 1450°C / 1 saat sinterleme grafiği



Şekil 3. 6 1450°C / 2 saat sinterleme grafiği



Şekil 3. 7 1500°C / 1 saat sinterleme grafiği

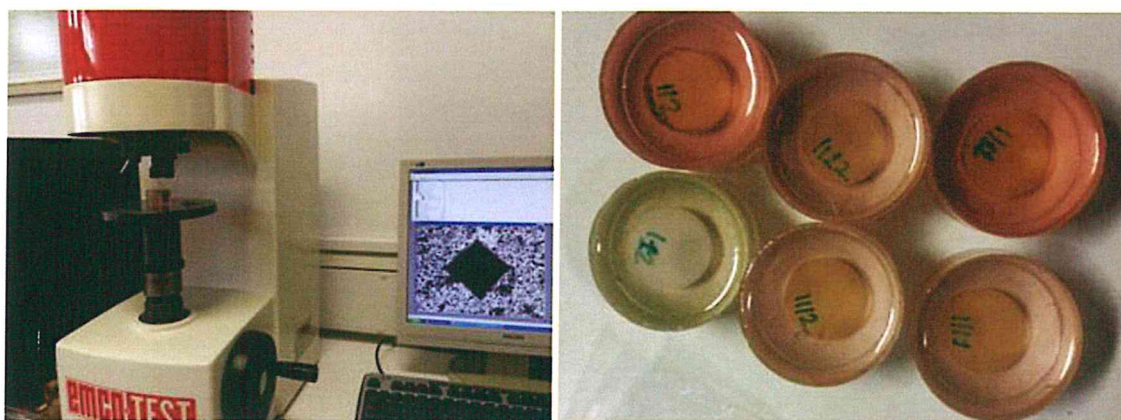


Şekil 3. 8 1500°C / 2 saat sinterleme grafiği

3.9 Numunelere Uygulanan Testler

3.9.1 Sertlik Ölçümleri

Dental amaçla kullanılabılırliği incelenen, farklı oranlarda hazırlanan Y-TZP ve Mg-PSZ tozları şekillendirilip sinterlendikten sonra sertlik değerleri bulunmak üzere soğuk kalıba alınmıştır. Numuneler kalıba alındıktan sonra zımparalanmış ve ardından elmas disklerle parlatılmıştır. Numunelerin Vickers sertlikleri bulunulması için tepe açısı 136° olan elmas piramit uç 10 kg ve 30 kg yük ile numunelerin üzerine batırılmış ve 3.1'de belirtilen Vickers Sertlik Formülü ile hesaplamaları yapılmıştır.



Şekil 3. 9 Sertlik ve kırılma tokluğunda kullanılan cihaz

$$VSD = 2\sin\left(\frac{\alpha}{2}\right)\left(\frac{P}{d^2}\right) \quad (3.1)$$

$$Hv = 1,8544 \frac{P}{d^2}$$

Hv = Vickers sertliği

α = tepe açısı = 136°

P = yük = 10-30 kg

$$d = \frac{d_1 + d_2}{2} \text{ mm}$$

3.9.2 Kırılma Tokluğu Ölçümleri

Malzemelerin kırılma toklukları, Vickers sertlik ölçümlerinde elde edilen çatılarak hesaplanmıştır. Elmas piramit uç ile bırakılan izler hesaplanmış ve denklem 3.2'de yerine konularak kırılma toklukları hesaplanmıştır.

$$K_{IC} = 0.018H\sqrt{a} \left(\frac{E}{H}\right)^{0.4} \left(\frac{c}{a} - 1\right)^{0.5} \quad (3.2)$$

K_{IC} = Kırılma Tokluğu

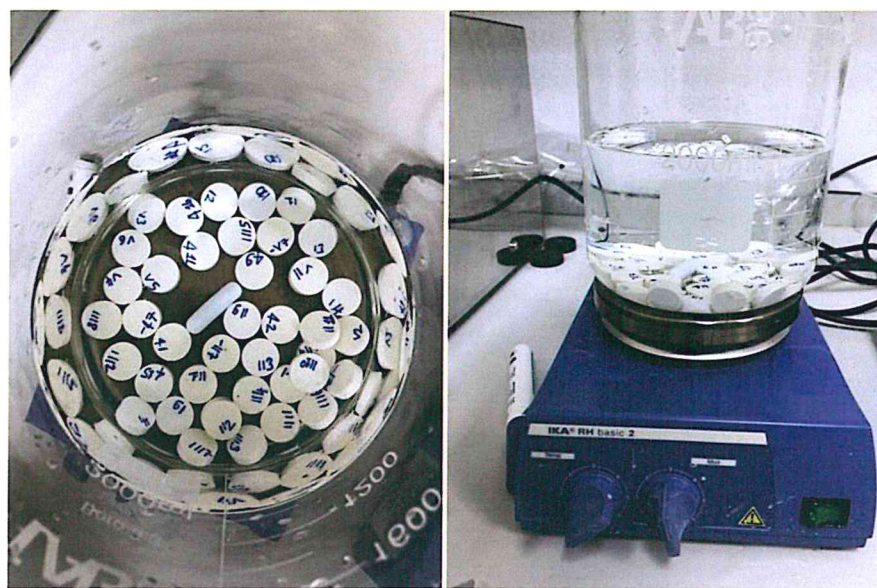
E = Elastik Modülü

H = Sertlik (N)

3.9.3 Yoğunluk Ölçümü Ve Su Emme Oranı

Numuneler büyük bir beher içeresine koyulup üzerine saf su doldurulmuştur. Daha sonra ultrasonic karıştırma cihazının üzerine alınarak içeresine konulan manyetik balıkla birlikte 4 saat süreyle kaynatma işlemi başlatılmıştır. İçeresine su girmesi sağlanan numuneler işlemenin önce kuru halde, üzerindeki fazla su alındıktan sonra su emdirilmiş hali ve Arşimed terazisi kullanılarak saf su içerisindeki askıda hali tariştirılmıştır. Tartımlar aşağıdaki formüllerde kullanılarak numunenin bulk (yığın)

yoğunluğu (3.3), açık porozite oranı (3.4), su emme oranı (3.5) ve yüzde deneysel teorik yoğunluğu (3.7) hesaplanmıştır.



Şekil 3. 10 Su Emdirme İşlemi

m_0 = Kuru Tartım

m_1 = Su Emdirilmiş Yaşı Tartım

m_2 = Saf Su İçerisinde Askıda Tartım

$$\text{Bulk Yoğunluk} = (m_0) / (m_1 - m_2) \quad (3.3)$$

$$\text{Görünür Porozite Oranı} = 100 \times (m_1 - m_0) / (m_1 - m_2) \quad (3.4)$$

Sinterlenmiş son halini almış numunenin, içerisinde alabildiği su oranına su emme oranı denir. Numunenin emdiği su miktarının, numunenin kuru ağırlığına oranlanmasıyla bulunur.

$$\% \text{ Su Emme Oranı} = 100 \times (m_1 - m_0) / (m_0) \quad (3.5)$$

Farklı oranlarda hazırlanan numunelerin teorik yoğunlukları 3.6'daki formül ile hesaplanmıştır. Teorik yoğunlıklarının, bulk (yığın) yoğunluklarına oranlanmasıyla % Teorik yoğunluğu hesaplanmıştır.

$$\text{Numunelerin Teorik Yoğunluğu} = d_1 V_1 + d_2 V_2 = d_s V_s \quad (3.6)$$

$$\% \text{ Teorik Yoğunluk} = 100 \times (m_0) / (m_1 - m_2) / \text{Teorik Yoğunluk} \quad (3.7)$$

3.9.4 X-işını Difraksiyonu(XRD)

Rigaku MiniPlex600 marka X-işını difraksiyonu (XRD) cihazı ile $5^\circ \leq 2\theta \leq 80^\circ$ tarama aralığında $2^\circ/\text{dakika}$ tarama hızı ve $70^\circ \leq 2\theta \leq 80^\circ$ tarama aralığında $0.5^\circ/\text{dakika}$ tarama hızı kullanılarak numunelerin içerdikleri fazlar ve kristallografik özelliklerini belirlenmiştir. Analizlerde CuK α kaynağı 40 kV'da, 10 mA'da kullanılmıştır.



Şekil 3. 11 Rigaku marka XRD cihazı

Malzemelerin monoklinik ve tetragonal+kübik faz oranlarının belirlenmesi için aşağıda verilen Toyoras yöntemi kullanılmıştır.

$$X_m = [I_m(-111) + I_m(111)] / [I_m(-111) + I_m(111) + I_t(101)]$$

X_m : Monoklinik fazın tamamlı şiddet oranı

I_m(-111) : 28° civarında bulunan monoklinik tepe noktasının şiddeti

I_m(111) : 31.5° civarında bulunan monoklinik tepe noktasının şiddeti

I_t(101) : 30.2° bulunan tetragonal+kübik tepe noktasının şiddeti

$$V_m = 1.311 X_m / (1 + 0.311 X_m)$$

$$V_t = 1 - V_m$$

V_t : Tetragonal+kübik faz hacim oranı

V_m : Monoklinik faz hacim oranı

3.9.5 SEM ve EDS

Temel olarak Taramalı elektron mikroskobu, Tungsten, Lantan hekza borit katottan veya alan emisyonlu (FEG) gun'dan ortaya çıkan elektronların kullanımı incelenerek malzeme yüzeyine gönderilmesi sonucu oluşan etkileşmelerden yararlanması esasına dayanır.

Numunelerin SEM görüntüleri 20.000 kW değerinde, 5-6 mm W.D. aralığında ve farklı büyütmeler elde edilmiştir. SEM işlem öncesi tane sınırlarının belli olabilmesi için 1200°C'de termal dağlama işlemi yapılmıştır.

4.BULGULAR

4.1 Numunelere Uygulanan Testlerin Sonuçları

4.1.1 Fiziksel Testlerin Sonuçları

Numuneler sinterleme öncesi ve sinterleme sonrası kuru şekilde hassas terazi ile tartımları alınmıştır. Sinterleme sonrası su emdirilmiş şekildeki ağırlıkları ve saf su içerisindeki ağırlıkları ayrı ayrı hassas terazi ile ölçümleri alınmıştır. Ölçümler kullanılarak su emme oranı, bulk yoğunluğu ve açık porozite hesaplanmıştır. Numunelerin işlemler sonrası ulaştığı teorik yoğunluk yüzdesi hesaplanmıştır. Bu bulgular sinterleme sıcaklığı, sinterleme süresi ve kompozisyonlara göre hesaplanmıştır.

4.1.1.1 %100 Y-TZP Numunelerinin Fiziksel Test Sonuçları

%100 Y-TZP numunelerinin şekillendirme işlemleri sonrasında tartımları ve sinterleme sonrası tartımları tabloda gösterilmiştir. Numunelerin sinterleme sonrasında azalmaları yüzdesel olarak hesaplanmıştır.

Tablo 4. 1 %100 Y-TZP numunelerinin şekillendirme sonrası ve sinterleme sonrası tartım tablosu

Numune Kodu	Şekillendirme Sonrası Tartım	Sinterleme Sıcaklığı	Sinterleme Sonrası Tartım	% Azalma
%100 Y-TZP/ 1500-1	6,8437	1500°C / 1 saat	6,6747	2,469%
%100 Y-TZP/ 1500-2	6,8271	1500°C / 2 saat	6,6696	2,307%
%100 Y-TZP/ 1450-1	6,8267	1450°C / 1 saat	6,6443	2,672%
%100 Y-TZP/ 1450-2	6,8184	1450°C / 2 saat	6,6297	2,768%
%100 Y-TZP/ 1500-2	6,8439	1500°C / 2 saat	6,6878	2,281%
%100 Y-TZP/ 1450-2	6,8503	1450°C / 2 saat	6,6962	2,250%
%100 Y-TZP/ 1450-1	6,8513	1450°C / 1 saat	6,6858	2,416%
%100 Y-TZP/ 1500-1	6,9486	1500°C / 1 saat	6,7598	2,717%

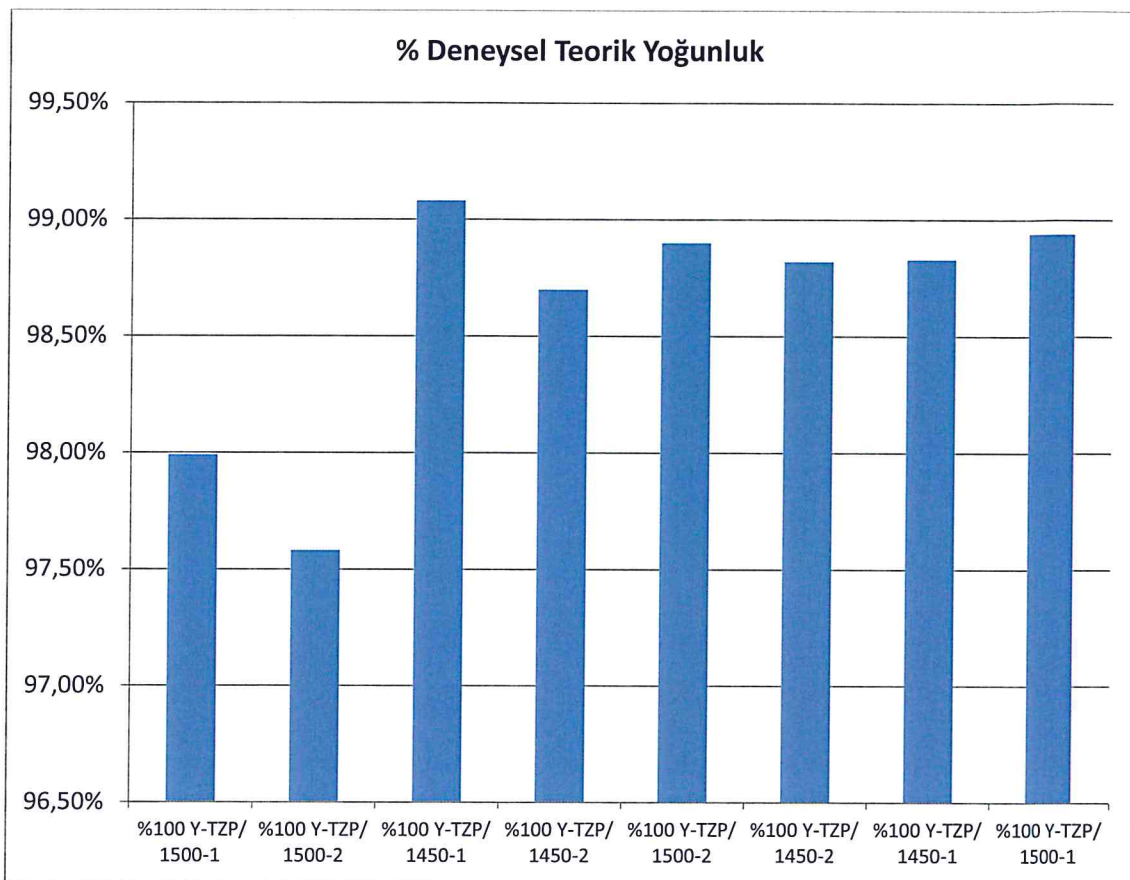
Numunelerinin sinterleme sonrasında tartımı, su emdirildikten sonraki yaş haldeki tartımı ve saf su içerisinde askıda tartımları tabloda verilmiştir. Numunelerin bu tartımları “ % Su Emme Oranı = $100 \times (m_1 - m_0) / (m_0)$ ” ve Görünür Porozite Oranı = $100 \times (m_1 - m_0) / (m_1 - m_2)$ ” denkleminde yerlerine konulmuştur.

Tablo 4. 2 %100 Y-TZP numunelerin kuru, yaş ve askıda tartım sonuçları ve % su emme ve % görünür porozite oranları

Numune Kodu	Kuru Tartım - m_0	Yaş Tartım - m_1	Askıda Tartım - m_2	% Su Emme	% Görünür Porozite
%100 Y-TZP/ 1500-1	6,6747	6,6897	5,5638	0,2247	1,3323
%100 Y-TZP/ 1500-2	6,6696	6,6959	5,5662	0,3943	2,3281
%100 Y-TZP/ 1450-1	6,6443	6,6526	5,5442	0,1249	0,7488
%100 Y-TZP/ 1450-2	6,6297	6,6699	5,5596	0,6064	3,6206
%100 Y-TZP/ 1500-2	6,6878	6,6918	5,5741	0,0598	0,3579
%100 Y-TZP/ 1450-2	6,6962	6,7026	5,5826	0,0956	0,5714
%100 Y-TZP/ 1450-1	6,6858	6,7544	5,6362	1,0261	6,1349
%100 Y-TZP/ 1500-1	6,7598	6,7745	5,6452	0,2175	1,3017

Tablo 4. 3 %100 Y-TZP Numunelerin bulk(yığın) yoğunluk ve % deneysel teorik yoğunlukları

Numune Kodu	Bulk (yığın) Yoğunluk	Teorik Yoğunluk	% Deneysel Teorik Yoğunluk
%100 Y-TZP/ 1500-1	5,9283	6,0500	97,99%
%100 Y-TZP/ 1500-2	5,9039	6,0500	97,58%
%100 Y-TZP/ 1450-1	5,9945	6,0500	99,08%
%100 Y-TZP/ 1450-2	5,9711	6,0500	98,70%
%100 Y-TZP/ 1500-2	5,9835	6,0500	98,90%
%100 Y-TZP/ 1450-2	5,9788	6,0500	98,82%
%100 Y-TZP/ 1450-1	5,9791	6,0500	98,83%
%100 Y-TZP/ 1500-1	5,9858	6,0500	98,94%



Şekil 4. 1 %100 Y-TZP % deneysel teorik yoğunluğu

Sonuçlarda; sinterleme sıcaklıklarını sabit kalması ve sinterleme sürelerinin artması numunelerin su emme oranlarını ve görünür porozite oranını azalttığı görülmüştür. Sinterleme süreleri aynı olan numunelerin, sinterleme sıcaklıklarını arttığında ise yine su emme oranları ve görünür porozite oranları azaldığı görülmüştür. Görünür porozitelerin, kapalı poroziteye dönüştüğü düşünülmektedir.

Numunelerin verilen tartımlarından bulk (yığın) yoğunlukları hesaplanmış, daha önce hesaplanan teorik yoğunlıklarla karşılaştırılarak ulaşılan teorik yoğunluk yüzdeleri Tablo 4.3'deki gibi bulunmuştur. Teorik yoğunluk yüzdeleri sinterleme süreleri ve sıcaklıklarını arttığında daha iyi sonuçlar elde edildiği görülmüştür.

4.1.1.2 %75 Y-TZP ve %25 Mg-PSZ İçeren Numunelerin Fiziksel Test Sonuçları

%75 Y-TZP ve %25 Mg-PSZ içeren numunelerin şekillendirme işlemleri sonrasında tartımları ve sinterleme sonrasında tartımları ölçülmüş, bu numunelerin sinterleme sonrası % azalmaları hesaplanmış Tablo 4.4'de gösterilmiştir.

Tablo 4. 4 %75 Y-TZP ve %25 Mg-PSZ İçeren Numunelerin şekillendirme sonrası ve sinterleme sonrası tartım tablosu

Numune Kodu	Şekillendirme Sonrası Tartım	Sinterleme Sıcaklığı	Sinterleme Sonrası Tartım	% Azalma
%75 Y-TZP/%25 Mg-PSZ/1500-1	6,8761	1500°C / 1 saat	6,6741	2,938%
%75 Y-TZP/%25 Mg-PSZ/ 1500-2	6,8974	1500°C / 2 saat	6,6695	3,304%
%75 Y-TZP/%25 Mg-PSZ/ 1450-1	6,8982	1450°C / 1 saat	6,6640	3,395%
%75 Y-TZP/%25 Mg-PSZ/ 1450-2	6,8692	1450°C / 2 saat	6,6577	3,079%
%75 Y-TZP/%25 Mg-PSZ/ 1500-2	6,8851	1500°C / 2 saat	6,6788	2,996%
%75 Y-TZP/%25 Mg-PSZ/ 1450-2	6,9087	1450°C / 2 saat	6,6742	3,394%
%75 Y-TZP/%25 Mg-PSZ/ 1450-1	6,9298	1450°C / 1 saat	6,6946	3,394%
%75 Y-TZP/%25 Mg-PSZ/ 1500-1	6,9124	1500°C / 1 saat	6,6841	3,303%

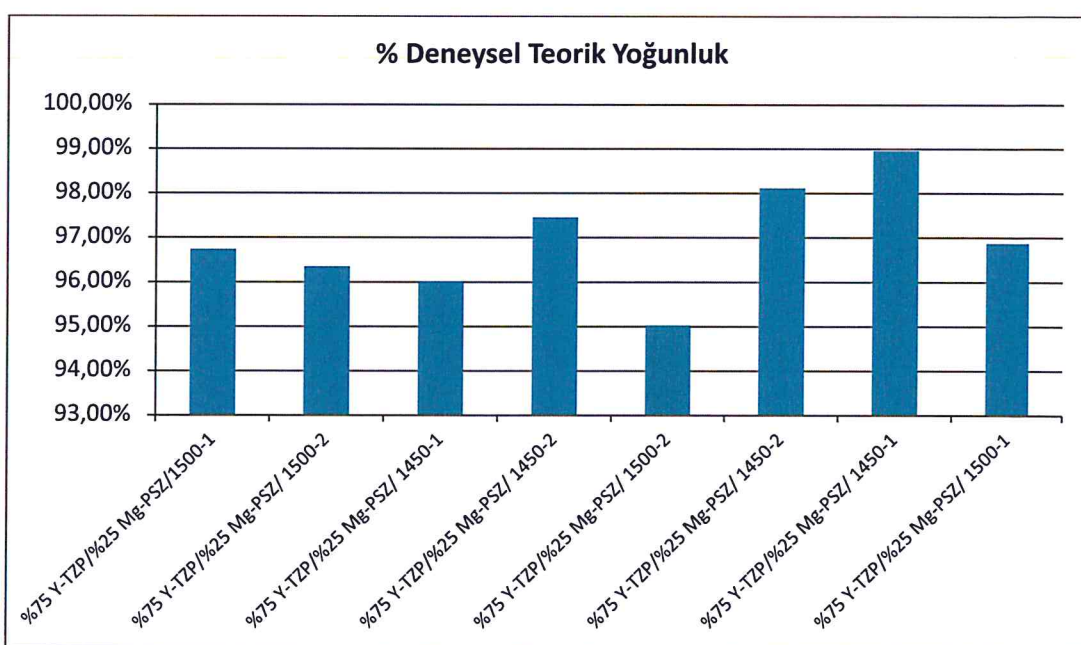
Numunelerinin sinterleme sonrasındaki tartımı, su emdirildikten sonraki yaş haldeki tartımı ve saf su içerisinde askıda tartımları tabloda verilmiştir. Numunelerin bu tartımları “ % Su Emme Oranı = $100 \times (m_1 - m_0) / (m_0)$ ” ve Görünür Porozite Oranı = $100 \times (m_1 - m_0) / (m_1 - m_2)$ ” denkleminde yerlerine konulmuştur.

Tablo 4. 5 %75 Y-TZP ve %25 Mg-PSZ İçeren numunelerin kuru, yaş ve askıda tartım sonuçları ve % su emme ve % görünürlük porozite oranları

Numune Kodu	Kuru Tartım - m_0	Yaş Tartım - m_1	Askıda Tartım - m_2	% Su Emme	% Görünür Porozite
%75 Y-TZP/%25 Mg-PSZ/1500-1	6,6741	6,6923	5,5355	0,2727	1,5733
%75 Y-TZP/%25 Mg-PSZ/ 1500-2	6,6695	6,6848	5,5241	0,2294	1,3182
%75 Y-TZP/%25 Mg-PSZ/ 1450-1	6,6640	6,6846	5,5209	0,3091	1,7702
%75 Y-TZP/%25 Mg-PSZ/ 1450-2	6,6577	6,6737	5,5283	0,2403	1,3969
%75 Y-TZP/%25 Mg-PSZ/ 1500-2	6,6788	6,7108	5,5324	0,4791	2,7155
%75 Y-TZP/%25 Mg-PSZ/ 1450-2	6,6742	6,6931	5,5526	0,2832	1,6572
%75 Y-TZP/%25 Mg-PSZ/ 1450-1	6,6946	6,7045	5,5702	0,1479	0,8728
%75 Y-TZP/%25 Mg-PSZ/ 1500-1	6,6841	6,6985	5,5417	0,2154	1,2448

Tablo 4. 6 %75 Y-TZP ve %25 Mg-PSZ İçeren Numunelerin bulk(yığın) yoğunluk, teorik yoğunlukları ve % deneysel teorik yoğunlukları

Numune Kodu	Bulk (yığın) Yoğunluk	Teorik Yoğunluk	% Deneysel Teorik Yoğunluk
%75 Y-TZP/%25 Mg-PSZ/1500-1	5,7695	5,964	96,74%
%75 Y-TZP/%25 Mg-PSZ/ 1500-2	5,7461	5,964	96,35%
%75 Y-TZP/%25 Mg-PSZ/ 1450-1	5,7266	5,964	96,02%
%75 Y-TZP/%25 Mg-PSZ/ 1450-2	5,8126	5,964	97,46%
%75 Y-TZP/%25 Mg-PSZ/ 1500-2	5,6677	5,964	95,03%
%75 Y-TZP/%25 Mg-PSZ/ 1450-2	5,8520	5,964	98,12%
%75 Y-TZP/%25 Mg-PSZ/ 1450-1	5,9020	5,964	98,96%
%75 Y-TZP/%25 Mg-PSZ/ 1500-1	5,7781	5,964	96,88%



Şekil 4. 2 %75 Y-TZP/%25 Mg-PSZ % deneysel teorik yoğunluğu

Tablodaki sonuçlara göre sinterleme sıcaklığının artmasıyla su emme oranlarında düşüş görülmüştür. Aynı şekilde görünür porozite oranlarında sinterleme sıcaklıklarının artması ve sinterleme sürelerinin artması yüzde görünür porozite oranının düşüşüne neden olmuştur.

Numunelerin tartımlarından hesaplanan bulk (yığın) yoğunlukları hesaplanmış ve teorik yoğunluklarıyla karşılaştırılmıştır. Yoğunluk değerlerinin %95'in üzerinde olduğu görülmüştür.

4.1.1.3 %50 Y-TZP ve %50 Mg-PSZ İçeren Numunelerin Fiziksel Test Sonuçları

%50 Y-TZP ve %50 Mg-PSZ içeren numunelerin şekillendirme işlemleri sonrasında tartımları ve sinterleme sonrasında tartımları ölçülmüş, bu numunelerin sinterleme sonrası % azalmaları hesaplanmış tablo 4.7'de gösterilmiştir.

Tablo 4. 7 %50 Y-TZP ve %50 Mg-PSZ İçeren Numunelerin şekillendirme sonrası ve sinterleme sonrası tartım tablosu

Numune Kodu	Şekillendirme Sonrası Tartım	Sinterleme Sıcaklığı	Sinterleme Sonrası Tartım	% Azalma
%50 Y-TZP/%50 Mg-PSZ/ 1500-1	6,8347	1500°C / 1 saat	6,6380	2,878%
%50 Y-TZP/%50 Mg-PSZ/ 1500-2	6,8194	1500°C / 2 saat	6,6220	2,895%
%50 Y-TZP/%50 Mg-PSZ/ 1450-1	6,8299	1450°C / 1 saat	6,6233	3,025%
%50 Y-TZP/%50 Mg-PSZ/ 1450-2	6,7907	1450°C / 2 saat	6,5868	3,003%
%50 Y-TZP/%50 Mg-PSZ/ 1450-2	6,8097	1450°C / 2 saat	6,6275	2,676%
%50 Y-TZP/%50 Mg-PSZ/ 1450-1	6,8117	1450°C / 1 saat	6,6133	2,913%
%50 Y-TZP/%50 Mg-PSZ/ 1500-2	6,8164	1500°C / 2 saat	6,6179	2,912%
%50 Y-TZP/%50 Mg-PSZ/ 1500-1	6,8385	1500°C / 1 saat	6,6315	3,027%

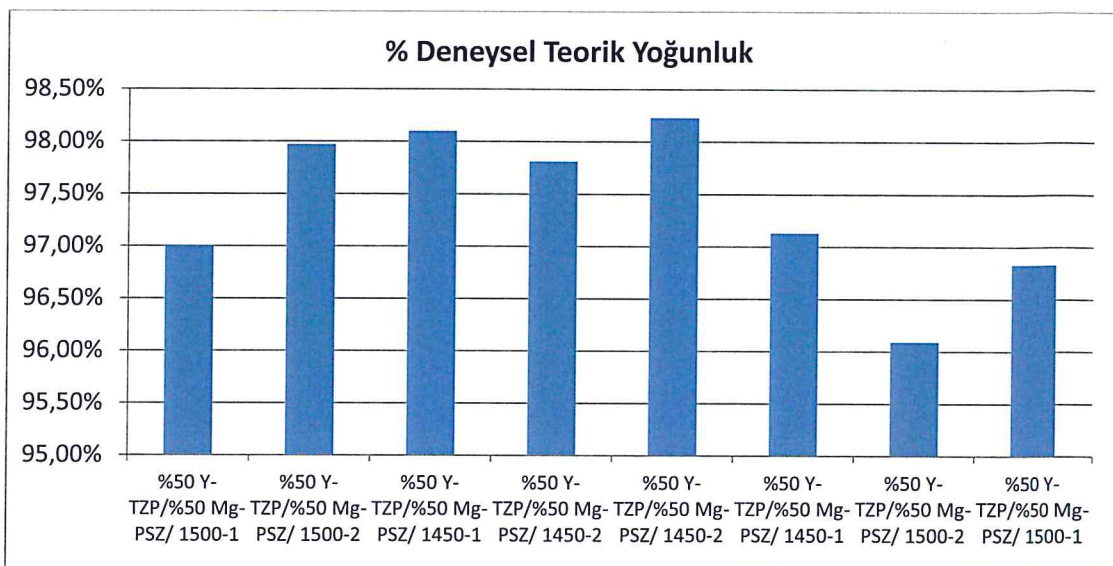
Numunelerinin sinterleme sonrasında tartımı, su emdirildikten sonraki yaş haldeki tartımı ve saf su içerisinde askıda tartımları tabloda verilmiştir. Numunelerin bu tartımları “ % Su Emme Oranı = $100 \times (m_1 - m_0) / (m_0)$ ” ve Görünür Porozite Oranı = $100 \times (m_1 - m_0) / (m_1 - m_2)$ ” denkleminde yerlerine konulmuştur.

Tablo 4. 8 %50 Y-TZP ve %50 Mg-PSZ İçeren numunelerin kuru, yaş ve askıda tartım sonuçları ve % su emme ve % görünür porozite oranları

Numune Kodu	Kuru Tartım - m_0	Yaş Tartım - m_1	Askıda Tartım - m_2	% Su Emme	% Görünür Porozite
%50 Y-TZP/%50 Mg-PSZ/ 1500-1	6,6380	6,654	5,4902	0,2410	1,3748
%50 Y-TZP/%50 Mg-PSZ/ 1500-2	6,6220	6,6362	5,4867	0,2144	1,2353
%50 Y-TZP/%50 Mg-PSZ/ 1450-1	6,6233	6,6306	5,4825	0,1102	0,6358
%50 Y-TZP/%50 Mg-PSZ/ 1450-2	6,5868	6,5976	5,4524	0,1640	0,9431
%50 Y-TZP/%50 Mg-PSZ/ 1450-2	6,6275	6,6622	5,5148	0,5236	3,0242
%50 Y-TZP/%50 Mg-PSZ/ 1450-1	6,6133	6,6274	5,4695	0,2132	1,2177
%50 Y-TZP/%50 Mg-PSZ/ 1500-2	6,6179	6,6412	5,47	0,3521	1,9894
%50 Y-TZP/%50 Mg-PSZ/ 1500-1	6,6315	6,6523	5,4876	0,3137	1,7859

Tablo 4. 9 %50 Y-TZP ve %50 Mg-PSZ İçeren Numunelerin bulk(yığın) yoğunluk ve % deneysel teorik yoğunlukları

Numune Kodu	Bulk (yığın) Yoğunluk	Teorik Yoğunluk	% Deneysel Teorik Yoğunluk
%50 Y-TZP/%50 Mg-PSZ/ 1500-1	5,7037	5,8804	97,00%
%50 Y-TZP/%50 Mg-PSZ/ 1500-2	5,7608	5,8804	97,97%
%50 Y-TZP/%50 Mg-PSZ/ 1450-1	5,7689	5,8804	98,10%
%50 Y-TZP/%50 Mg-PSZ/ 1450-2	5,7517	5,8804	97,81%
%50 Y-TZP/%50 Mg-PSZ/ 1450-2	5,7761	5,8804	98,23%
%50 Y-TZP/%50 Mg-PSZ/ 1450-1	5,7115	5,8804	97,13%
%50 Y-TZP/%50 Mg-PSZ/ 1500-2	5,6505	5,8804	96,09%
%50 Y-TZP/%50 Mg-PSZ/ 1500-1	5,6937	5,8804	96,83%



Şekil 4. 3 %50 Y-TZP/%50 Mg-PSZ % deneysel teorik yoğunluğu

Diğer kompozisyonlardaki gibi sinterleme sıcaklığı veya sinterleme sürelerinin artmasıyla azalan su emme ve görünür porozite oranı bu numunelerde görülmemiştir. Numunelerin tartımlarından hesaplanan bulk(yığın) yoğunluğu, daha önceden hesaplanan teorik yoğunluklarıyla karşılaştırılmış ve ulaşılan yüzdeleri hesaplanmıştır.

4.1.1.4 %25 Y-TZP ve %75 Mg-PSZ İçeren Numunelerin Fiziksel Test Sonuçları

%25 Y-TZP ve %75 Mg-PSZ içeren numunelerin şekillendirme işlemleri sonrasında tartımları ve sinterleme sonrasında tartımları ölçülmüş, bu numunelerin sinterleme sonrası % azalmaları hesaplanmış tablo 4.10'de gösterilmiştir.

Tablo 4. 10 %25 Y-TZP ve %75 Mg-PSZ İçeren Numunelerin şekillendirme sonrası ve sinterleme sonrası tartım tablosu

Numune Kodu	Şekillendirme Sonrası Tartım	Sinterleme Sıcaklığı	Sinterleme Sonrası Tartım	% Azalma
%25 Y-TZP/%75 Mg-PSZ/1500-1	6,7590	1500°C / 1 saat	6,5533	3,043%
%25 Y-TZP/%75 Mg-PSZ/1500-2	6,8079	1500°C / 2 saat	6,5816	3,324%
%25 Y-TZP/%75 Mg-PSZ/1500-2	6,7939	1500°C / 2 saat	6,5755	3,215%
%25 Y-TZP/%75 Mg-PSZ/1450-2	6,9637	1450°C / 2 saat	6,5824	5,476%
%25 Y-TZP/%75 Mg-PSZ/1450-1	6,9150	1450°C / 1 saat	6,5766	4,894%
%25 Y-TZP/%75 Mg-PSZ/1500-1	6,9354	1500°C / 1 saat	6,5920	4,951%
%25 Y-TZP/%75 Mg-PSZ/1450-1	6,9353	1450°C / 1 saat	6,5980	4,864%
%25 Y-TZP/%75 Mg-PSZ/1450-2	6,9904	1450°C / 2 saat	6,6106	5,433%

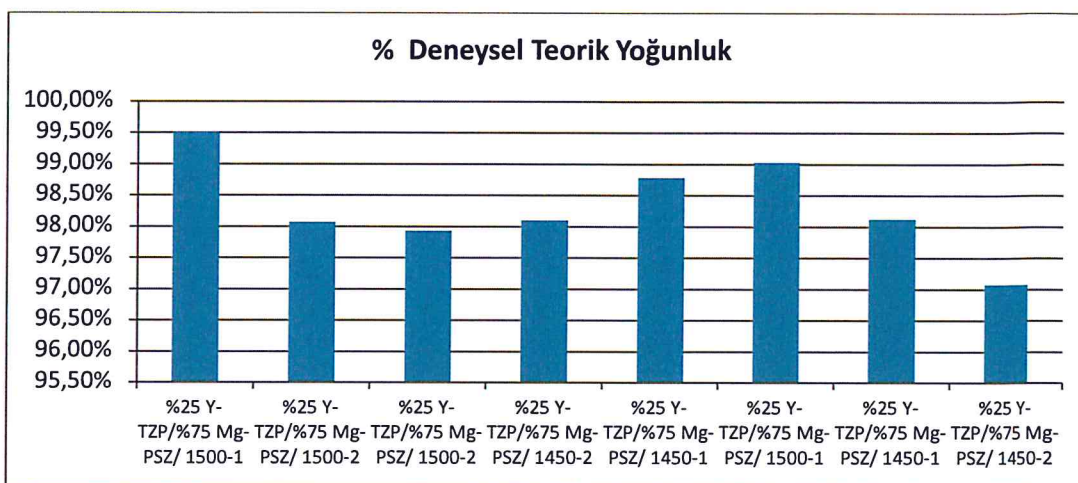
Numunelerinin sinterleme sonrasındaki tartımı, su emdirildikten sonraki yaş haldeki tartımı ve saf su içerisinde askıda tartımları tabloda verilmiştir. Numunelerin bu tartımları “ % Su Emme Oranı = $100 \times (m_1 - m_0) / (m_0)$ ” ve Görünür Porozite Oranı = $100 \times (m_1 - m_0) / (m_1 - m_2)$ ” denkleminde yerlerine konulmuştur.

Tablo 4. 11 %25 Y-TZP ve %75 Mg-PSZ İçeren numunelerin kuru, yaş ve askıda tartım sonuçları ve % su emme ve % görünürlük porozite oranları

Numune Kodu	Kuru Tartım - m_0	Yaş Tartım - m_1	Askıda Tartım - m_2	% Su Emme	% Görünür Porozite
%25 Y-TZP/%75 Mg-PSZ/ 1500-1	6,5533	6,5695	5,4339	0,2472	1,4266
%25 Y-TZP/%75 Mg-PSZ/ 1500-2	6,5816	6,5931	5,4358	0,1747	0,9937
%25 Y-TZP/%75 Mg-PSZ/ 1500-2	6,5755	6,5851	5,4273	0,1460	0,8292
%25 Y-TZP/%75 Mg-PSZ/ 1450-2	6,5824	6,5924	5,4354	0,1519	0,8643
%25 Y-TZP/%75 Mg-PSZ/ 1450-1	6,5766	6,6014	5,4533	0,3771	2,1601
%25 Y-TZP/%75 Mg-PSZ/ 1500-1	6,5920	6,6066	5,4587	0,2215	1,2719
%25 Y-TZP/%75 Mg-PSZ/ 1450-1	6,5980	6,6124	5,4528	0,2182	1,2418
%25 Y-TZP/%75 Mg-PSZ/ 1450-2	6,6106	6,6268	5,4524	0,2451	1,3794

Tablo 4. 12 %25 Y-TZP ve %75 Mg-PSZ İçeren Numunelerin bulk(yığın) yoğunluk ve %deneysel teorik yoğunlukları

Numune Kodu	Bulk (yığın) Yoğunluk	Teorik Yoğunluk	% Deneysel Teorik Yoğunluk
%25 Y-TZP/%75 Mg-PSZ/ 1500-1	5,7708	5,7991	99,51%
%25 Y-TZP/%75 Mg-PSZ/ 1500-2	5,6870	5,7991	98,07%
%25 Y-TZP/%75 Mg-PSZ/ 1500-2	5,6793	5,7991	97,93%
%25 Y-TZP/%75 Mg-PSZ/ 1450-2	5,6892	5,7991	98,10%
%25 Y-TZP/%75 Mg-PSZ/ 1450-1	5,7282	5,7991	98,78%
%25 Y-TZP/%75 Mg-PSZ/ 1500-1	5,7427	5,7991	99,03%
%25 Y-TZP/%75 Mg-PSZ/ 1450-1	5,6899	5,7991	98,12%
%25 Y-TZP/%75 Mg-PSZ/ 1450-2	5,6289	5,7991	97,07%



Şekil 4. 4 %25 Y-TZP/%75 Mg-PSZ % deneysel teorik yoğunluğu

%25 Y-TZP ve %75 Mg-PSZ içeren numunelerin tartımlarından hesaplanan bulk(yığın) yoğunluğu, daha önceden hesaplanan teorik yoğunluklarıyla karşılaştırılmış ve ulaşılan yüzdeleri hesaplanmıştır. Genel olarak değerlerin %97'nin üzerinde olması iyi olarak değerlendirilmiş ve en iyi sonucu %99,51 ile 1500°C ve 1 saat sinterleme süresi kullanılan numunelerden elde edilmiştir.

4.1.1.5 %100 Mg-PSZ İçeren Numunelerin Fiziksel Test Sonuçları

%100 Mg-PSZ içeren numunelerin şekillendirme işlemleri sonrasında tartımları ve sinterleme sonrasında tartımları ölçülmüş, bu numunelerin sinterleme sonrası % azalmaları hesaplanmış tablo 4.13 de gösterilmiştir.

Tablo 4. 13 %100 Mg-PSZ İçeren Numunelerin şekillendirme sonrası ve sinterleme sonrası tartım tablosu

Numune Kodu	Şekillendirme Sonrası Tartım	Sinterleme Sıcaklığı	Sinterleme Sonrası Tartım	% Azalma
%100 Mg-PSZ/ 1500-1	6,7312	1500°C / 1 saat	6,5359	2,901%
%100 Mg-PSZ/ 1500-2	6,6614	1500°C / 2 saat	6,4587	3,043%
%100 Mg-PSZ/ 1450-1	6,7170	1450°C / 1 saat	6,5139	3,024%
%100 Mg-PSZ/ 1450-2	6,7280	1450°C / 2 saat	6,5171	3,135%
%100 Mg-PSZ/ 1450-2	6,7101	1450°C / 2 saat	6,4949	3,207%
%100 Mg-PSZ/ 1450-1	6,7409	1450°C / 1 saat	6,5213	3,258%
%100 Mg-PSZ/ 1500-2	6,7498	1500°C / 2 saat	6,5438	3,052%
%100 Mg-PSZ/ 1500-1	6,9204	1500°C / 1 saat	6,5497	5,357%

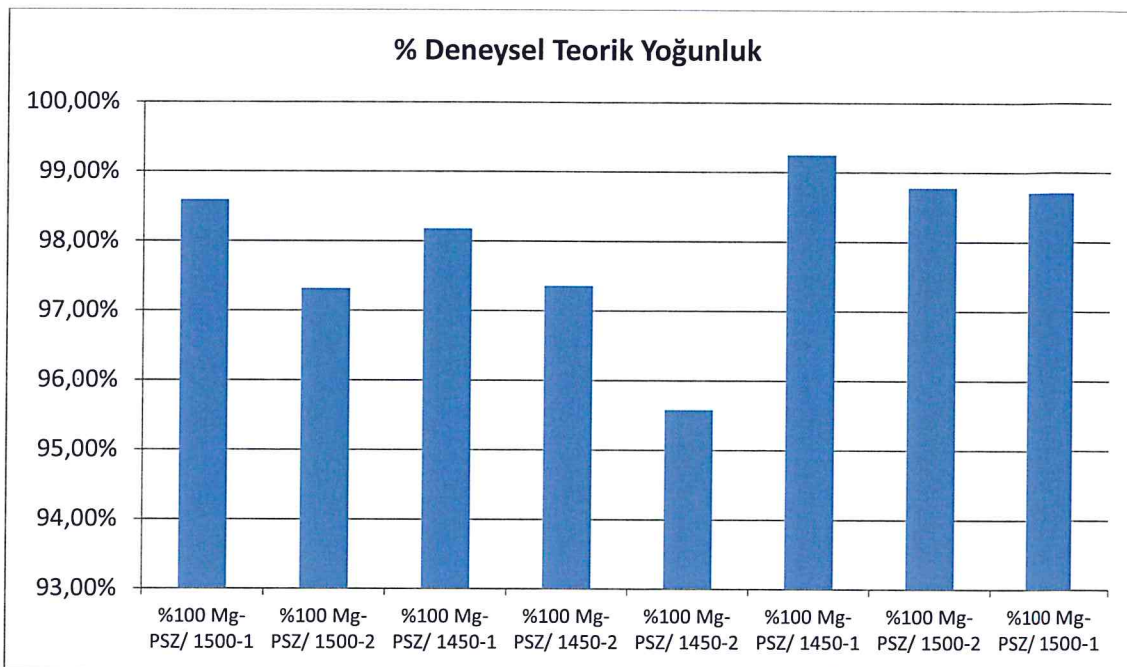
Numunelerinin sinterleme sonrasında tartımı, su emdirildikten sonraki yaş haldeki tartımı ve saf su içerisinde askıda tartımları tabloda verilmiştir. Numunelerin bu tartımları “% Su Emme Oranı = $100 \times (m_1 - m_0) / (m_0)$ ” ve Görünür Porozite Oranı = $100 \times (m_1 - m_0) / (m_1 - m_2)$ denkleminde yerlerine konulmuştur.

Tablo 4. 14 %100 Mg-PSZ İçeren numunelerin kuru, yaş ve askıda tartım sonuçları ve % su emme ve % görünürlük porozite oranları

Numune Kodu	Kuru Tartım - m_0	Yaş Tartım - m_1	Askıda Tartım - m_2	% Su Emme	% Görünür Porozite
%100 Mg-PSZ/ 1500-1	6,5359	6,5513	5,3923	0,2356	1,3287
%100 Mg-PSZ/ 1500-2	6,4587	6,4872	5,3270	0,4413	2,4565
%100 Mg-PSZ/ 1450-1	6,5139	6,5183	5,3584	0,0675	0,3793
%100 Mg-PSZ/ 1450-2	6,5171	6,5512	5,381	0,5232	2,9140
%100 Mg-PSZ/ 1450-2	6,4949	6,5547	5,3667	0,9207	5,0337
%100 Mg-PSZ/ 1450-1	6,5213	6,5292	5,3805	0,1211	0,6877
%100 Mg-PSZ/ 1500-2	6,5438	6,5747	5,4165	0,4722	2,6679
%100 Mg-PSZ/ 1500-1	6,5497	6,5599	5,3999	0,1557	0,8793

Tablo 4. 15 %100 Mg-PSZ İçeren Numunelerin bulk(yığın) yoğunluk ve % deneysel teorik yoğunlukları

Numune Kodu	Bulk (yığın) Yoğunluk	Teorik Yoğunluk	% Deneysel Teorik Yoğunluk
%100 Mg-PSZ/ 1500-1	5,6393	5,7200	98,59%
%100 Mg-PSZ/ 1500-2	5,5669	5,7200	97,32%
%100 Mg-PSZ/ 1450-1	5,6159	5,7200	98,18%
%100 Mg-PSZ/ 1450-2	5,5692	5,7200	97,36%
%100 Mg-PSZ/ 1450-2	5,4671	5,7200	95,58%
%100 Mg-PSZ/ 1450-1	5,6771	5,7200	99,25%
%100 Mg-PSZ/ 1500-2	5,6500	5,7200	98,78%
%100 Mg-PSZ/ 1500-1	5,6463	5,7200	98,71%



Şekil 4. 5 %100 Mg-PSZ % deneysel teorik yoğunluğu

%100 Mg-PSZ numunelerin tartımlarından hesaplanan bulk(yığın) yoğunluğu, daha önceden hesaplanan teorik yoğunluklarıyla karşılaştırılmış ve ulaşılan yüzdeleri hesaplanmıştır. Numunelerin en iyi sonucu %99,25 ile 1450°C ve 1 saat sinterleme süresi kullanılan numunelerden elde edilmiştir.

4.1.1.6 Fiziksel Testlerin Toplu Sonuçları

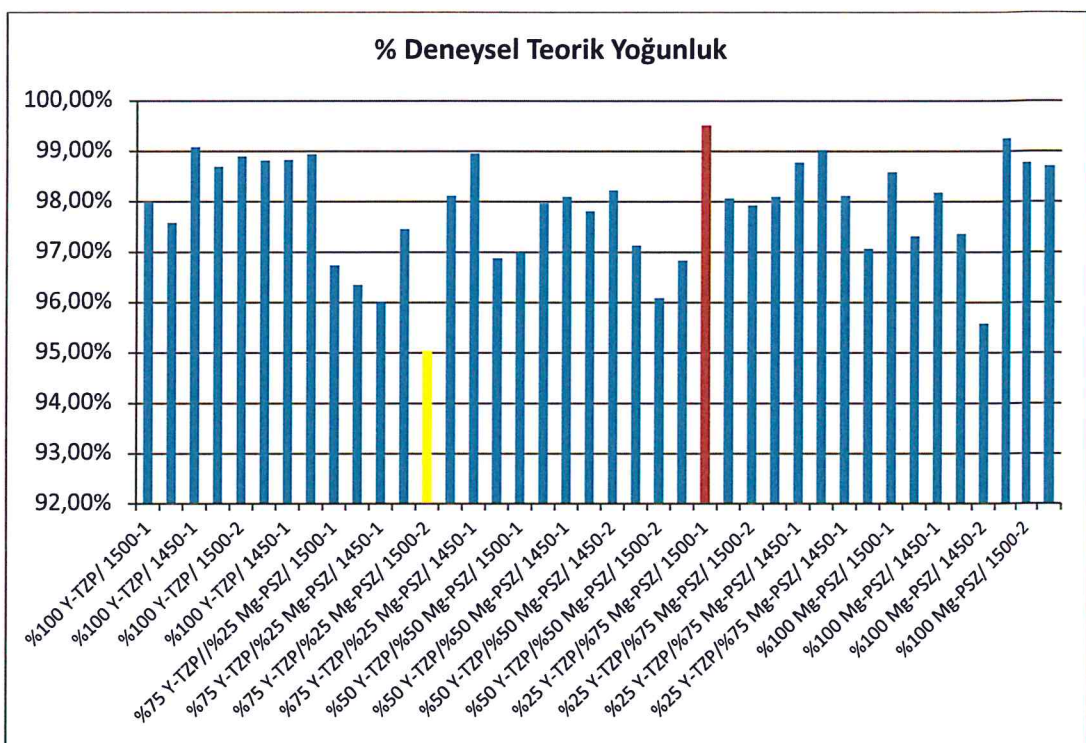
%100 Y-TZP, %75 Y-TZP/%25 Mg-PSZ, %50 Y-TZP/%50 Mg-PSZ, %25 Y-TZP/%75 Mg-PSZ ve %100 Mg-PSZ numunelerinin değişen sinterleme sıcaklıkları (1450°C ve 1500°C) ve sinterleme sürelerine (1 saat ve 2 saat) bağlı değişen bazı fiziksel özellikleri toplu şekilde tabloda verilmiştir.

Tablo 4. 16 Farklı oranlarda hazırlanmış Y-TZP ve Mg-PSZ içeren Numunelerin sinterleme sıcaklığı ve sinterleme sürelerine bağlı değişen fiziksel sonuçları

Numune	% Azalma	% Deneysel Teorik Yoğunluk	% Su Emme	% Görünür Porozite
%100 Y-TZP/ 1500-1	2,469%	97,99%	0,2247	1,3323
%100 Y-TZP/ 1500-2	2,307%	97,58%	0,3943	2,3281
%100 Y-TZP/ 1450-1	2,672%	99,08%	0,1249	0,7488
%100 Y-TZP/ 1450-2	2,768%	98,70%	0,6064	3,6206
%100 Y-TZP/ 1500-2	2,281%	98,90%	0,0598	0,3579
%100 Y-TZP/ 1450-2	2,250%	98,82%	0,0956	0,5714
%100 Y-TZP/ 1450-1	2,416%	98,83%	1,0261	6,1349
%100 Y-TZP/ 1500-1	2,717%	98,94%	0,2175	1,3017

Tablo 4. 16 Farklı oranlarda hazırlanmış Y-TZP ve Mg-PSZ İçeren Numunelerin sinterleme sıcaklığı ve sinterleme sürelerine bağlı değişen fiziksel sonuçları (Devamı)

%75 Y-TZP//%25 Mg-PSZ/ 1500-1	2,938%	96,74%	0,2727	1,5733
%75 Y-TZP//%25 Mg-PSZ/ 1500-2	3,304%	96,35%	0,2294	1,3182
%75 Y-TZP//%25 Mg-PSZ/ 1450-1	3,395%	96,02%	0,3091	1,7702
%75 Y-TZP//%25 Mg-PSZ/ 1450-2	3,079%	97,46%	0,2403	1,3969
%75 Y-TZP//%25 Mg-PSZ/ 1500-2	2,996%	95,03%	0,4791	2,7155
%75 Y-TZP//%25 Mg-PSZ/ 1450-2	3,394%	98,12%	0,2832	1,6572
%75 Y-TZP//%25 Mg-PSZ/ 1450-1	3,394%	98,96%	0,1479	0,8728
%75 Y-TZP//%25 Mg-PSZ/ 1500-1	3,303%	96,88%	0,2154	1,2448
%50 Y-TZP//%50 Mg-PSZ/ 1500-1	2,878%	97,00%	0,2410	1,3748
%50 Y-TZP//%50 Mg-PSZ/ 1500-2	2,895%	97,97%	0,2144	1,2353
%50 Y-TZP//%50 Mg-PSZ/ 1450-1	3,025%	98,10%	0,1102	0,6358
%50 Y-TZP//%50 Mg-PSZ/ 1450-2	3,003%	97,81%	0,1640	0,9431
%50 Y-TZP//%50 Mg-PSZ/ 1450-2	2,676%	98,23%	0,5236	3,0242
%50 Y-TZP//%50 Mg-PSZ/ 1450-1	2,913%	97,13%	0,2132	1,2177
%50 Y-TZP//%50 Mg-PSZ/ 1500-2	2,912%	96,09%	0,3521	1,9894
%50 Y-TZP//%50 Mg-PSZ/ 1500-1	3,027%	96,83%	0,3137	1,7859
%25 Y-TZP//%75 Mg-PSZ/ 1500-1	3,043%	99,51%	0,2472	1,4266
%25 Y-TZP//%75 Mg-PSZ/ 1500-2	3,324%	98,07%	0,1747	0,9937
%25 Y-TZP//%75 Mg-PSZ/ 1500-2	3,215%	97,93%	0,1460	0,8292
%25 Y-TZP//%75 Mg-PSZ/ 1450-2	5,476%	98,10%	0,1519	0,8643
%25 Y-TZP//%75 Mg-PSZ/ 1450-1	4,894%	98,78%	0,3771	2,1601
%25 Y-TZP//%75 Mg-PSZ/ 1500-1	4,951%	99,03%	0,2215	1,2719
%25 Y-TZP//%75 Mg-PSZ/ 1450-1	4,864%	98,12%	0,2182	1,2418
%25 Y-TZP//%75 Mg-PSZ/ 1450-2	5,433%	97,07%	0,2451	1,3794
%100 Mg-PSZ/ 1500-1	2,901%	98,59%	0,2356	1,3287
%100 Mg-PSZ/ 1500-2	3,043%	97,32%	0,4413	2,4565
%100 Mg-PSZ/ 1450-1	3,024%	98,18%	0,0675	0,3793
%100 Mg-PSZ/ 1450-2	3,135%	97,36%	0,5232	2,9140
%100 Mg-PSZ/ 1450-2	3,207%	95,58%	0,9207	5,0337
%100 Mg-PSZ/ 1450-1	3,258%	99,25%	0,1211	0,6877
%100 Mg-PSZ/ 1500-2	3,052%	98,78%	0,4722	2,6679
%100 Mg-PSZ/ 1500-1	5,357%	98,71%	0,1557	0,8793



Şekil 4. 6 Numunelerin toplu % deneysel teorik yoğunluğu

Farklı oranlarda hazırlanan numuneler arasında en düşük su emme oranına 0,0598 ile 1500°C / 2 saat sinterlenmiş bir %100 Y-TZP numunesi, en yüksek su emme oranı ise 1,0261 ile 1450°C / 1 saat sinterlenmiş %100 Y-TZP numunelerinde görülmüştür. Su emme oranına paralel olarak, görünür porozite oranlarında aynı numunelerde görülmüştür. Görünür porozite oranları 6,1349 ile 1450°C / 1 saat sinterlenmiş %100 Y-TZP numunesinde en yüksek, 0,3579 ile 1500°C / 2 saat sinterlenmiş bir %100 Y-TZP numunesinde en düşük orana ulaşıldığı görülmüştür.

Sinterleme sonrası azalma olarak incelendiğinde en düşük oranda azalma 2,250% ile 1450°C / 2 saat sinterlenmiş bir %100 Y-TZP numunesinde, en yüksek oranda azalma ise 5,476% ile 1450°C / 2 saat sinterlenmiş bir %25 Y-TZP/%75 Mg-PSZ numunesinde görülmüştür. En yüksek teorik yoğunluk oranı 99,51% ile 1500°C / 1 saat sinterlenmiş %25 Y-TZP/%75 Mg-PSZ numunesinde, en düşük teorik yoğunluk ise 95,03% ile 1500°C / 2 saat sinterlenmiş bir %75 Y-TZP/%75 Mg-PSZ numunesinde görülmüştür.

4.1.2 Sertlik ve Kırılma Tokluğu Testlerinin Sonuçları

Pres ile şekillendirilen numuneler, 1450-1500°C sıcaklık, 1-2 saat süreyle sinterlenmiştir. Numuneler sinterlendikten sonra sertlik değerleri bulunmak üzere ilk olarak bakelite alınmıştır. Bakelite alınan numuneler zımparalama işleminden geçirilmiş

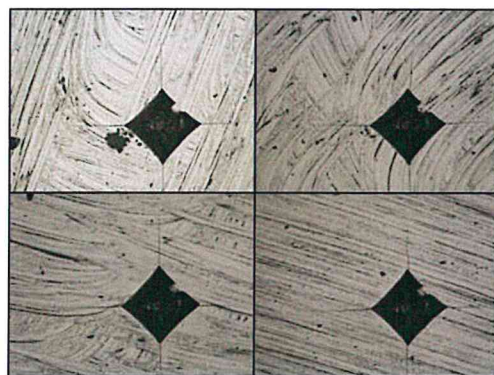
ve parlatma yapılmıştır. Numunelerin Vickers sertlikleri bulunulması için tepe açısı 136° olan elmas piramit uç kullanılmış ve 10 ve 30 kg yük numunelerin üzerine batırılmıştır. Batırılan ucun numunede bıraktığı izin köşegen ölçüleri bulunmuş ve bu değerler kullanılarak Vickers sertlik değerleri ölçülmüştür. Numunenin 4 farklı noktası üzerinden alınan sertlik değerleri hesaplanmış ve bu değerlerin ortalaması alınmıştır.

Numunelerin kırılma tokluğu hesaplanması ise üzerine batırılan elmas ucun yüzeyde bıraktığı izin köşelerinde ilerleyen çatlakların boyları ölçülmüş ve Niihara kırılma tokluğu denkleminde yerine konularak hesaplanmıştır. Numune üzerinde oluşturulan izlerin, 3 farklı noktadan elde edilen çatlak boyları denkleme konularak hesaplanmış ve kırılma tokluğu bu üç değerin ortalaması alınarak hesaplanmıştır.

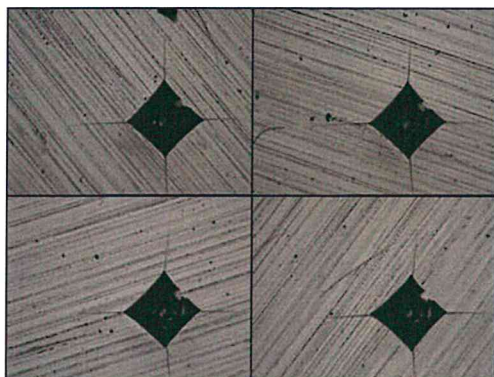
4.1.2.1 %100 Y-TZP Numunelerinin Sertlik ve Kırılma Tokluğu Test Sonuçları

Tablo 4. 17 1450-1500°C 1-2 saat sinterlenmiş %100 Y-TZP numunelerinin sertlik (HV) ve kırılma tokluğu sonuçları (K_{IC})

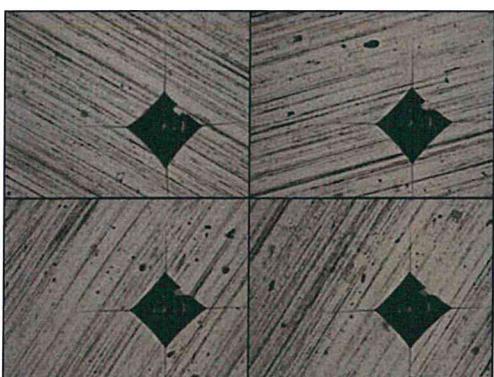
Numune	Çatlak boyları		Çatlak boyları		Çatlak boyları		Ort. Sertlik-HV	Ort. Kırılma Tokluğu- K_{IC}
%100 Y-TZP/1500/1	181,6	154,5	151,9	153,7	128,3	144,1	12,21 GPa	5,79 MPa.m ^{1/2}
	165	171,1	169,4	172	145,8	124		
%100 Y-TZP/1500/2	173,7	143,2	156,3	141,4	161,5	135,3	12,02 GPa	5,84 MPa.m ^{1/2}
	152,8	151,9	157,1	137,9	140,6	157,1		
%100 Y-TZP/1450/2	144,1	157,1	165	148,4	186,8	170,2	12,26 GPa	5,78 MPa.m ^{1/2}
	139,7	165	133,6	156,3	144,1	151,9		
%100 Y-TZP/1450/1	180,7	142,3	193,8	185,1	185,1	180,7	12,31 GPa	5,42 MPa.m ^{1/2}
	189,4	184,2	168,5	144,1	176,4	185,1		



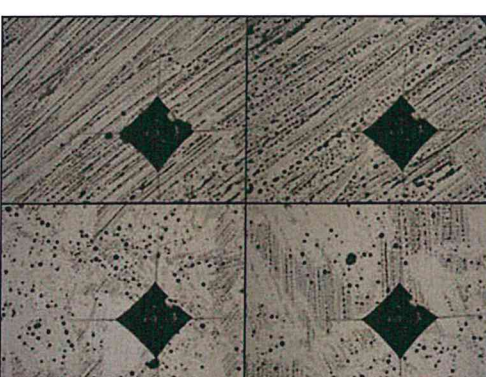
Şekil 4. 7 %100 Y-TZP/1500/1 numunesi Vickers Sertlik görüntüleri



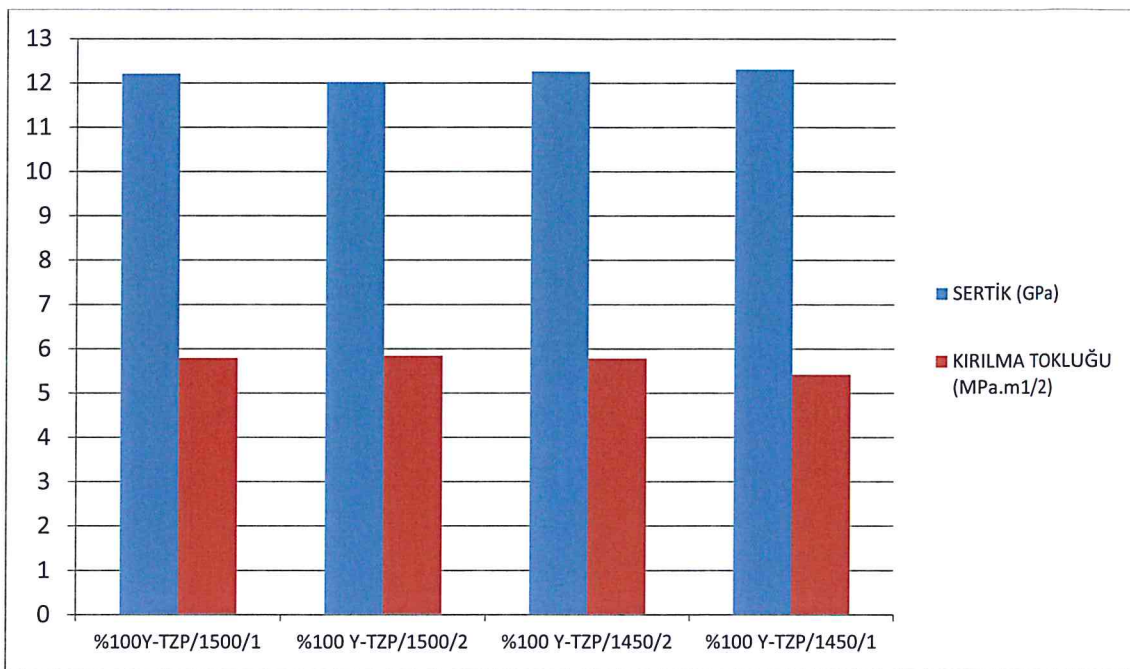
Şekil 4. 8 %100Y-TZP/1500/2 numunesi Vickers Sertlik görüntüleri



Şekil 4. 9 %100Y-TZP/1450/2 numunesi Vickers Sertlik görüntüleri



Şekil 4. 10 %100Y-TZP/1450/1 numunesi Vickers Sertlik görüntüleri



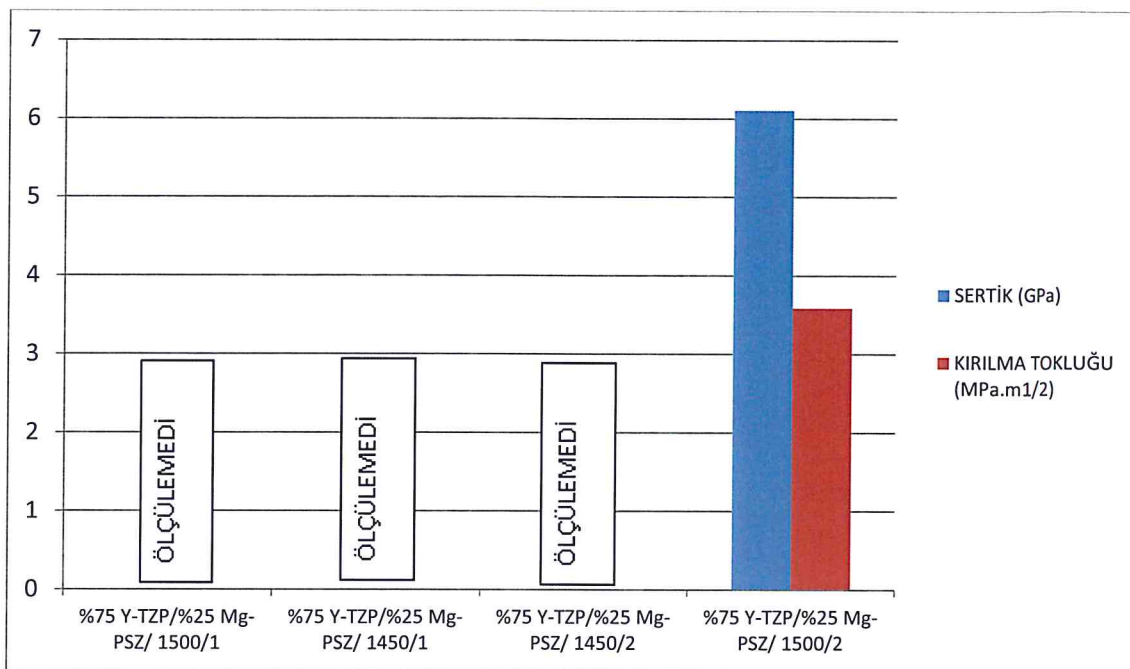
Şekil 4. 11 %100 Y-TZP sertlik ve kırılma tokluğu

1450-1500°C 1-2 saat sinterlenmiş %100 Y-TZP numunelerinin sertlik ve kırılma tokluğunu ölçmek için 30 kg yük numunelerin üzerine batırılmıştır. Vickers Sertlik ölçümelerinde elde edilen görüntüler şekil 4.7, şekil 4.8, şekil 4.9 ve şekil 4.10'da gösterilmiştir. Her bir numuneden 4 adet sertlik alınmış olup tablo 4.16'da alınan 4 ölçümden 3'ünün ortalamaları gösterilmiştir. En yüksek sertlik %100 Y-TZP/1450/1 12,31 GPa, en yüksek kırılma tokluğu ise %100 Y-TZP/1500/2 5,84 MPa.m^{1/2} ulaşlığı görülmüştür.

4.1.2.2 %75 Y-TZP ve %25 Mg-PSZ İçeren Numunelerin Sertlik ve Kırılma Tokluğu Test Sonuçları

Tablo 4. 18 1450-1500°C 1-2 saat sinterlenmiş %75 Y-TZP ve %25 Mg-PSZ numunelerinin sertlik (HV) ve kırılma tokluğu sonuçları (K_{IC})

Numune	Çatlak boyları		Çatlak boyları		Çatlak boyları		Ort. Sertlik-HV	Ort. Kırılma Tokluğu-K _{IC}
%75 Y-TZP/%25 Mg-PSZ/1500/1	-	-	-	-	-	-	-	-
	-	-	-	-	-	-		
%75 Y-TZP/%25 Mg-PSZ/1450/1	-	-	-	-	-	-	-	-
	-	-	-	-	-	-		
%75 Y-TZP/%25 Mg-PSZ/1450/2	-	-	-	-	-	-	-	-
	-	-	-	-	-	-		
%75 Y-TZP/%25 Mg-PSZ/1500/2	227	55,9	154,5	181,6	35,8	175,5	6,11 GPa	3,59 MPa.m ^{1/2}
	98,7	136,2	96	226,1	91,7	103		



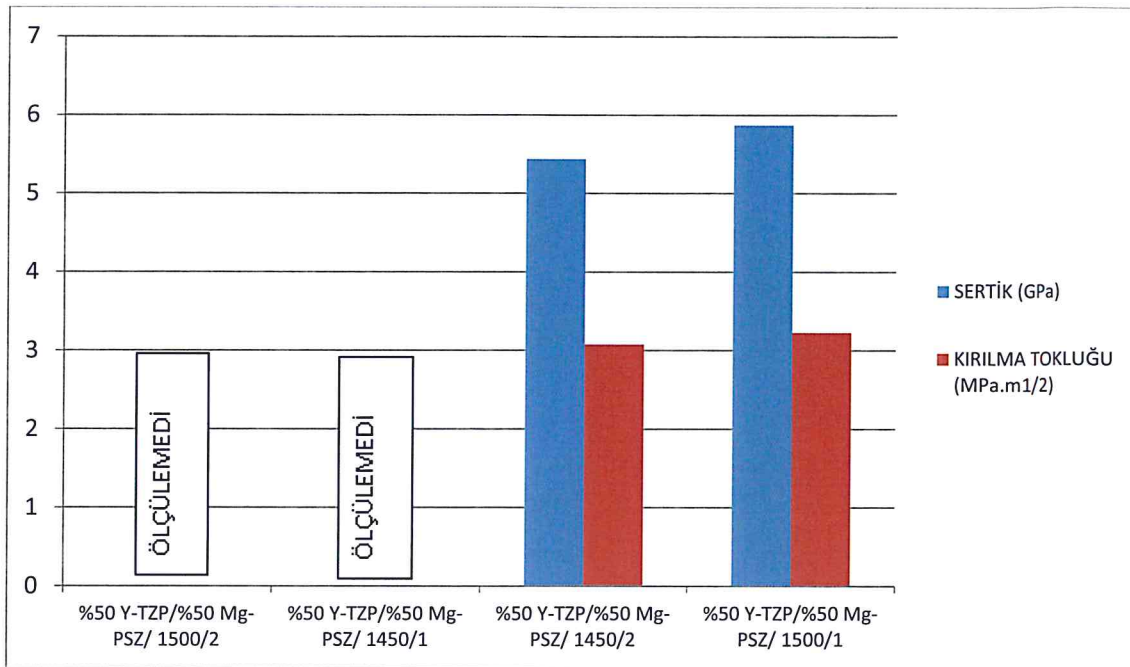
Şekil 4. 12 %75 Y-TZP/%50 Mg-PSZ sertlik ve kırılma tokluğu

1450-1500°C 1-2 saat sinterlenmiş %75 Y-TZP ve %25 Mg-PSZ numunelerinin sertlik ve kırılma tokluğunu ölçmek için 10 kg yük numunelerin üzerine batırılmıştır. %75 Y-TZP/1500/1, %75 Y-TZP/1450/1, %75 Y-TZP/1450/2 numunelerin parçalanması sebebiyle değer alınamamıştır. %75 Y-TZP/1500/2 sonucu Tablo 4.18'de gösterilmiştir. Tabloda da gösterildiği gibi %75 Y-TZP/1500/2 serlik değeri 6,11 GPa, kırılma tokluğu değeri 3,59 MPa.m^{1/2} şeklinde sonuç elde edilmiştir.

4.1.2.3 %50 Y-TZP ve %50 Mg-PSZ İçeren Numunelerin Sertlik ve Kırılma Tokluğu Test Sonuçları

Tablo 4. 19 1450-1500oC 1-2 saat sinterlenmiş %50 Y-TZP ve %50 Mg-PSZ numunelerinin sertlik (HV) ve kırılma tokluğu sonuçları (KIC)

Numune	Çat�ak boyları		Çat�ak boyları		Çat�ak boyları		Ort. Sertlik-HV	Ort. Kırılma Tokluğu-KIC
%50 Y-TZP/%50 Mg-PSZ/ 1500/2	-	-	-	-	-	-	-	-
	-	-	-	-	-	-		
%50 Y-TZP/%50 Mg-PSZ/ 1450/1	-	-	-	-	-	-	-	-
	-	-	-	-	-	-		
%50 Y-TZP/%50 Mg-PSZ/ 1450/2	195,6	188,6	108,3	129,2	154,5	176,4	5,44 GPa	3,08 MPa.m ^{1/2}
	118,7	174,6	144,9	154,5	149,3	200,8		
%50 Y-TZP/%50 Mg-PSZ/ 1500/1	68,1	131,8	151	101,3	266,3	140,3	5,87 GPa	3,23 MPa.m ^{1/2}
	117,9	124,8	111,7	170,2	330	163,3		



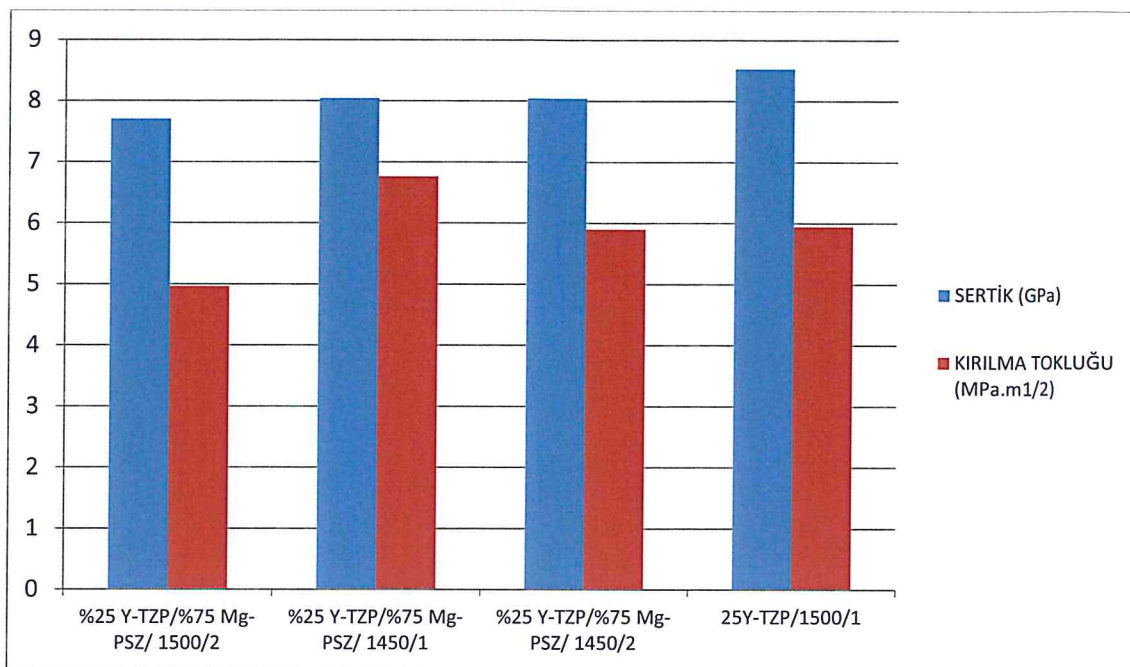
Şekil 4. 13 %50 Y-TZP/%50 Mg-PSZ sertlik ve kırılma tokluğu

1450-1500°C 1-2 saat sinterlenmiş %50 Y-TZP ve %50 Mg-PSZ numunelerinin sertlik ve kırılma tokluğunu ölçmek için 10 kg yük numunelerin üzerine batırılmıştır. %50 Y-TZP/1500/2, %50 Y-TZP/1450/1 numunelerin parçalanması sebebiyle değer alınamamıştır. Değer alınan %50 Y-TZP/1450/2 ve %50 Y-TZP/1500/1 sonuçları Tablo 4.19'da gösterilmiştir. En yüksek sertlik %50 Y-TZP/1500/1 5,87 GPa, en yüksek kırılma tokluğu ise %50 Y-TZP/1500/1 3,23 MPa.m^{1/2} ulaştiği görülmüştür.

4.1.2.4 %25 Y-TZP ve %75 Mg-PSZ İçeren Numunelerin Sertlik ve Kırılma Tokluğu Test Sonuçları

Tablo 4. 20 1450-1500oC 1-2 saat sinterlenmiş %25 Y-TZP ve %75 Mg-PSZ numunelerinin sertlik (HV) ve kırılma tokluğu sonuçları (KIC)

Numune	Çatlak boyları		Çatlak boyları		Çatlak boyları		Ort. Sertlik-HV	Ort. Kırılma Tokluğu-KIC
%25 Y-TZP/%75 Mg-PSZ/ 1500/2	63,7	82,1	52,4	59,4	24,4	56,7	7,70 GPa	4,96 MPa.m^{1/2}
	78,6	169,4	39,3	49,8	114,4	63,7		
%25 Y-TZP/%75 Mg-PSZ/ 1450/1	91,7	67,2	117,9	58,5	143,2	168,5	8,04 GPa	6,76 MPa.m^{1/2}
	99,5	106,5	106,5	106,5	103	137,9		
%25 Y-TZP/%75 Mg-PSZ/ 1450/2	162,4	146,7	174,6	78,6	199,1	131,8	8,04 GPa	5,90 MPa.m^{1/2}
	128,3	157,1	126,6	159,8	104,8	110		
%25 Y-TZP/%75 Mg-PSZ/ 1500/1	113,5	117,9	151,9	153,7	158	176,4	8,53 GPa	5,95 MPa.m^{1/2}
	131	149,3	110,9	130,1	178,1	95,2		



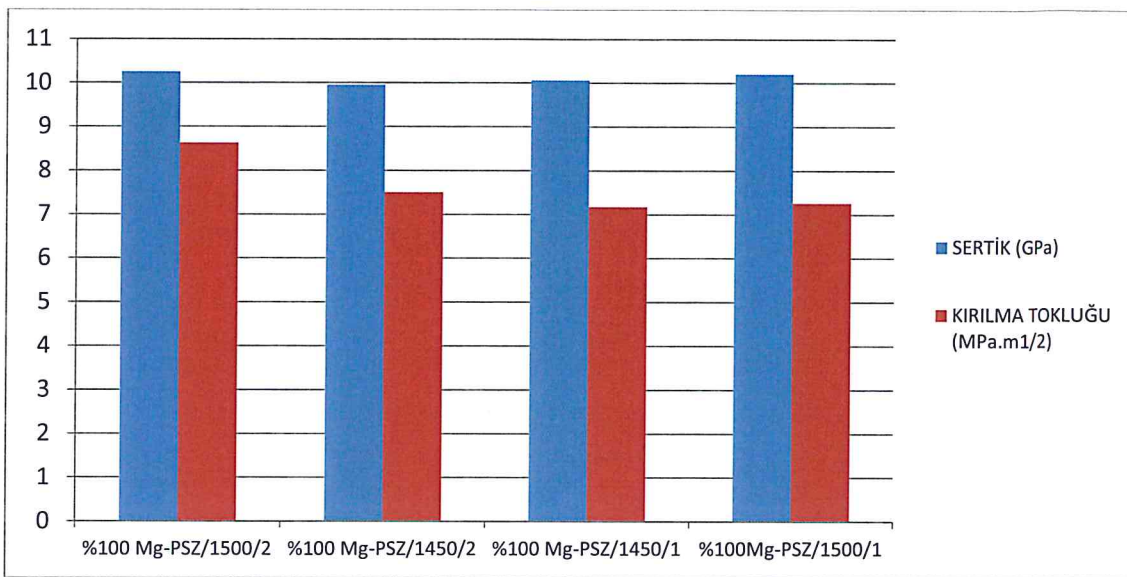
Şekil 4. 14 %25 Y-TZP/%75 Mg-PSZ sertlik ve kırılma tokluğu

1450-1500°C 1-2 saat sinterlenmiş %25 Y-TZP ve %75 Mg-PSZ numunelerinin sertlik ve kırılma tokluğunu ölçmek için %25 Y-TZP/1500/2 numunesi için 10 kg, %25 Y-TZP/1450/1, %25 Y-TZP/1450/2 ve %25 Y-TZP/1500/1 numuneleri için 30 kg yük numuneler üzerine batırılmıştır. Sonuçlar Tablo 4.20'de gösterilmiştir. En yüksek sertlik %25 Y-TZP/1500/1 8,53 GPa, en yüksek kırılma tokluğu ise %25 Y-TZP/1500/1 5,95 MPa.m^{1/2} ulaşlığı görülmüştür.

4.1.2.5 %100 Mg-PSZ Numunelerinin Sertlik ve Kırılma Tokluğu Test Sonuçları

Tablo 4. 21 1450-1500°C 1-2 saat sinterlenmiş %100 Mg-PSZ numunelerinin sertlik (HV) ve kırılma tokluğu sonuçları (KIC)

Numune	Çatlak boyları		Çatlak boyları		Çatlak boyları		Ort. Sertlik-HV	Ort. Kırılma Tokluğu-K _{IC}
%100 Mg-PSZ/1500/2	48	67,2	143,2	71,6	64,6	43,7	10,25 GPa	8,63 MPa.m ^{1/2}
	66,4	69,8	72,5	51,5	96	54,1		
%100 Mg-PSZ/1450/2	95,2	90,8	110,9	115,2	100,4	98,7	9,95 GPa	7,50 MPa.m ^{1/2}
	101,3	95,2	69	91,7	74,2	75,1		
%100 Mg-PSZ/1450/1	66,4	69,8	165,9	100,4	105,6	83,8	10,06 GPa	7,17 MPa.m ^{1/2}
	186	84,7	62	79,4	97,8	142,8		
%100 Mg-PSZ/1500/1	97,8	92,5	135,3	93,4	75,1	88,2	10,21 GPa	7,26 MPa.m ^{1/2}
	103,9	71,6	127,5	88,2	95,2	91,7		



Şekil 4. 15 100 Mg-PSZ sertlik ve kırılma tokluğu

1450-1500°C 1-2 saat sinterlenmiş %100 Mg-PSZ numunelerinin sertlik ve kırılma tokluğunu ölçmek için 25Y-TZP/1500/2 numuneleri için 30 kg yük numunelerin üzerine batırılmıştır. Sonuçlar Tablo 4.21'de gösterilmiştir. En yüksek sertlik 100Mg-PSZ/1500/2 10,25 GPa, en yüksek kırılma tokluğu ise 100Mg-PSZ/1500/2 8,63 MPa.m^{1/2} ulaştığı görülmüştür.

4.1.2.6 Sertlik ve Kırılma Tokluğu Testlerinin Toplu Sonuçları

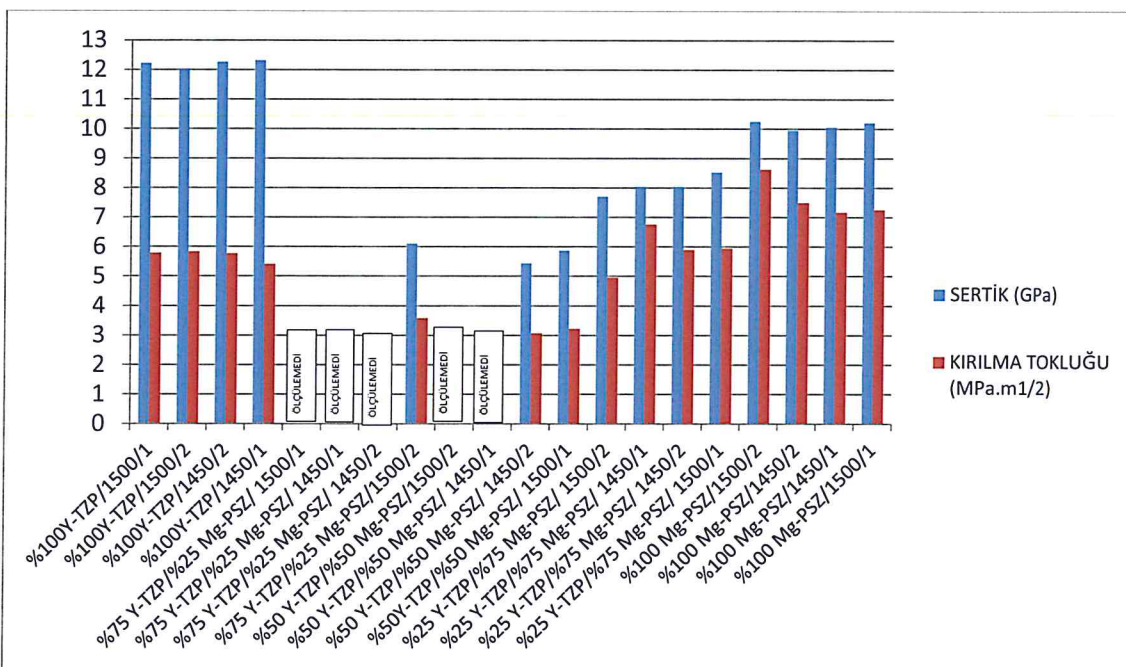
1450°C ve 1500°C sinterleme sıcaklıklarını, 1 ve 2 saat sinterleme süreleriyle hazırlanmış olan %100 Y-TZP, %75 Y-TZP/%25 Mg-PSZ, %50 Y-TZP/%50 Mg-PSZ, %25 Y-TZP/%75 Mg-PSZ, %100Mg-PSZ numunelerinin sertlik ve kırılma tokluğu testlerinin sonuçları verilmiştir.

Tablo 4. 22 Sertlik ve Kırılma Tokluğu Testlerinin Toplu Sonuçları

Numune	Sertlik (HV) GPa	Ort. Sertlik	Kırılma tokluğu (K _{IC}) MPa.m ^{1/2} Bhat	Kırılma tokluğu (K _{IC}) MPa.m ^{1/2} Charles-evans	Kırılma tokluğu (K _{IC}) MPa.m ^{1/2} Niihara	Ort. Kırılma Tokluğu
%100Y-TZP/1500/1	12,21	12,20	5,79	5,23	5,79	5,71
%100Y-TZP/1500/2	12,02		5,84	5,30	5,84	
%100Y-TZP/1450/2	12,26		5,78	5,22	5,78	
%100Y-TZP/1450/1	12,31		5,42	4,64	5,42	
%75 Y-TZP/%25 Mg-PSZ/ 1500/1	0,00	6,11	0,00	0,00	0,00	3,59
%75 Y-TZP/%25 Mg-PSZ/ 1450/1	0,00		0,00	0,00	0,00	
%75 Y-TZP/%25 Mg-PSZ/ 1450/2	0,00		0,00	0,00	0,00	
%75 Y-TZP/%25 Mg-PSZ/1500/2	6,11		3,59	2,57	3,59	

Tablo 4. 22 Sertlik ve Kırılma Tokluğu Testlerinin Toplu Sonuçları (Devamı)

%50 Y-TZP/%50 Mg-PSZ/1500/2	0,00	5,65	0,00	0,00	0,00	3,16
%50 Y-TZP/%50 Mg-PSZ/ 1450/1	0,00		0,00	0,00	0,00	
%50 Y-TZP/%50 Mg-PSZ/ 1450/2	5,44		3,08	1,89	3,08	
%50Y-TZP/%50 Mg-PSZ/ 1500/1	5,87		3,23	2,08	3,23	
%25 Y-TZP/%75 Mg-PSZ/ 1500/2	7,70		4,96	4,14	4,96	
%25 Y-TZP/%75 Mg-PSZ/ 1450/1	8,04	8,08	6,76	6,05	6,76	5,89
%25 Y-TZP/%75 Mg-PSZ/ 1450/2	8,04		5,90	4,98	5,90	
%25 Y-TZP/%75 Mg-PSZ/ 1500/1	8,53		5,95	5,11	5,95	
%100 Mg-PSZ/1500/2	10,25		8,63	8,77	8,63	
%100 Mg-PSZ/1450/2	9,95	10,12	7,50	7,34	7,50	7,64
%100 Mg-PSZ/1450/1	10,06		7,17	6,90	7,17	
%100 Mg-PSZ/1500/1	10,21		7,27	7,12	7,26	



Şekil 4. 16 Numunelerin toplu sertlik ve kırılma tokluğu

Numunelerin ortalama sertlik ve kırılma tokluklarına bakıldığında en yüksek ortalama sertlik 12,20 GPa ile %100 Y-TZP görülmüştür. En düşük sertlik ortalaması ise %50 Y-TZP/%50 Mg-PSZ numunelerinde 5,65 GPa le ölçülmüştür.

Numunelerde en yüksek sertlik değerine 12,31 GPa ile %100 Y-TZP/1450/1 numunesinde ulaşılmıştır. En düşük sertlik değeri ise %50 Y-TZP/1450/2 numunesinde 5,44 GPa ile değerine ulaşılmıştır.

Numunelerin kırılma tokluklarına bakıldığından $3,08 \text{ MPa.m}^{1/2}$ ile %50 Y-TZP/1450/2 en düşük değer görülmüştür. $8,63 \text{ MPa.m}^{1/2}$ ile %100 Mg-PSZ/1500/2 numunede en yüksek kırılma tokluğu değeri görülmüştür.

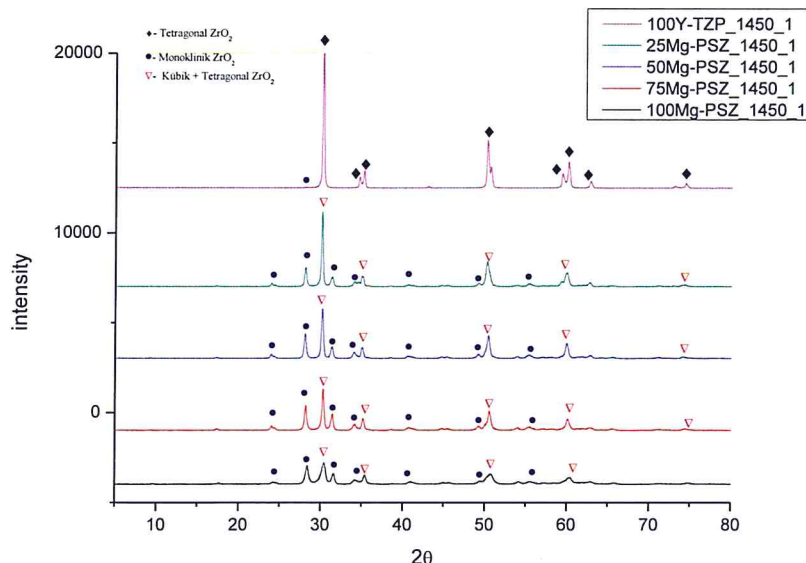
Kırılma tokluğu ortalamalarına baktığımızda en yüksek kırılma tokluğu $7,64 \text{ MPa.m}^{1/2}$ değeri ile %100 Mg-PSZ'de görülmüş, en düşük kırılma tokluğu $3,16 \text{ MPa.m}^{1/2}$ %50 Y-TZP/%50 Mg-PSZ'de görülmüştür.

4.1.3 X-ışınları Difraksiyonu(XRD) Faz Analiz Sonuçları

4.1.3.1 Sinterleme Sıcaklıklarına göre XRD Sonuçları ve Faz Analizi

XRD için hazırlanan numunelerin $5^\circ \leq 2\theta \leq 80^\circ$ tarama aralığı $2^\circ/\text{dakika}$ tarama hızı ile analizleri yapılmıştır. Sinterleme sıcaklıklarına göre elde edilen XRD grafikleri aşağıda verilmiş ve fazların tespiti yapılarak tetragonal+kübik-monoklinik fazların oranları hesaplanmıştır.

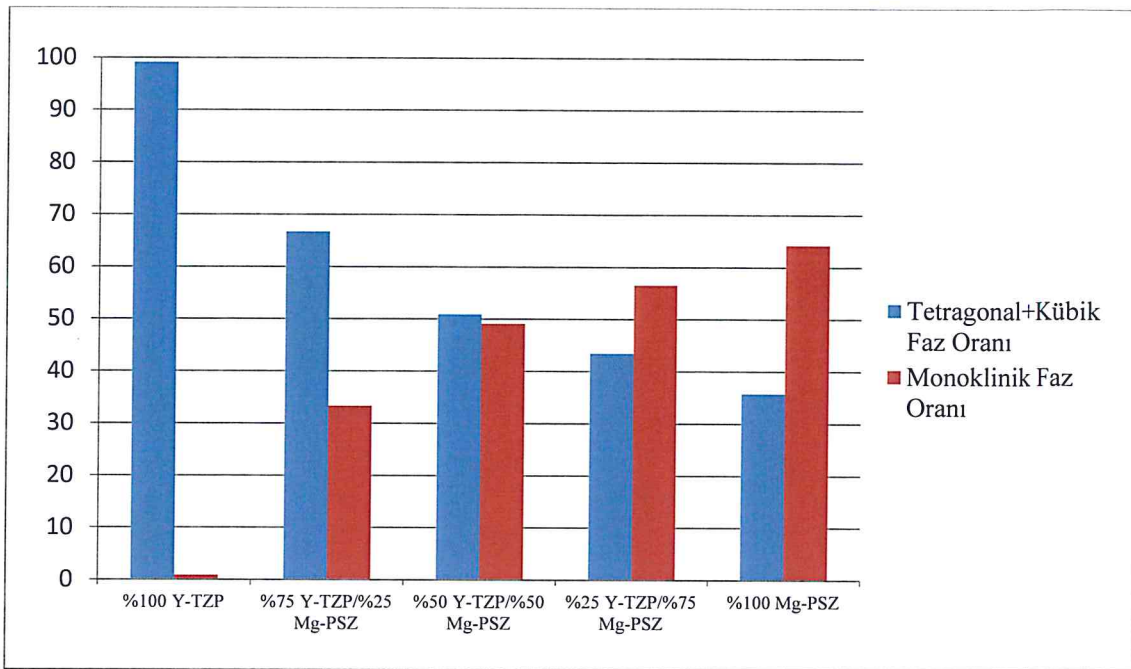
4.1.3.1.1 $1450^\circ\text{C}/1$ saat sinterlenmiş numunelerin XRD sonuçları



Şekil 4. 17 1450°C - 1 Saat Sinterlenmiş Numunelerin XRD Grafiği

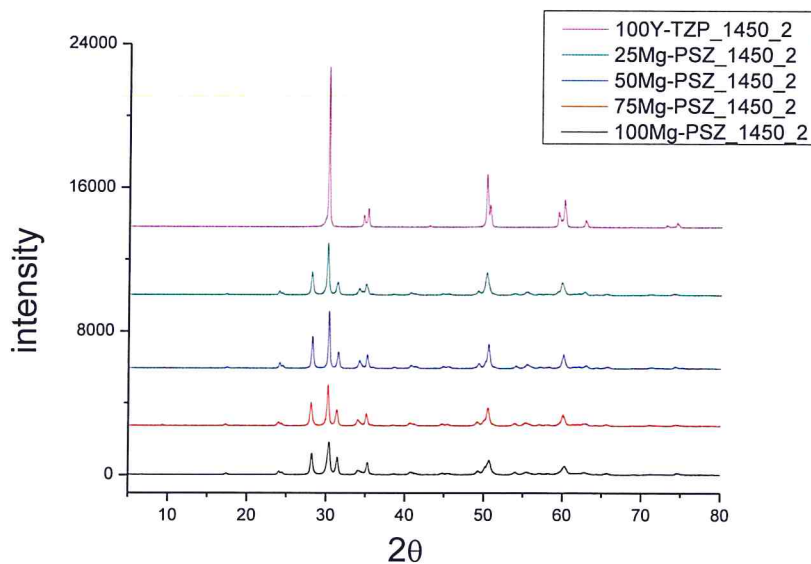
Tablo 4. 23 1450°C - 1 Saat Sinterlenen Numunelerin Faz Oranları

	Sinterleme	Tetragonal+Kübik Faz Oranı	Monoklinik Faz Oranı
%100 Y-TZP	1450/1	99,15	0,85
%75 Y-TZP/%25 Mg-PSZ	1450/1	66,68	33,32
%50 Y-TZP/%50 Mg-PSZ	1450/1	50,88	49,12
%25 Y-TZP/%75 Mg-PSZ	1450/1	43,47	56,53
%100 Mg-PSZ	1450/1	35,78	64,22



Şekil 4. 18 1450°C - 1 Saat Sinterlenen Numunelerin Faz Oranları Grafiği

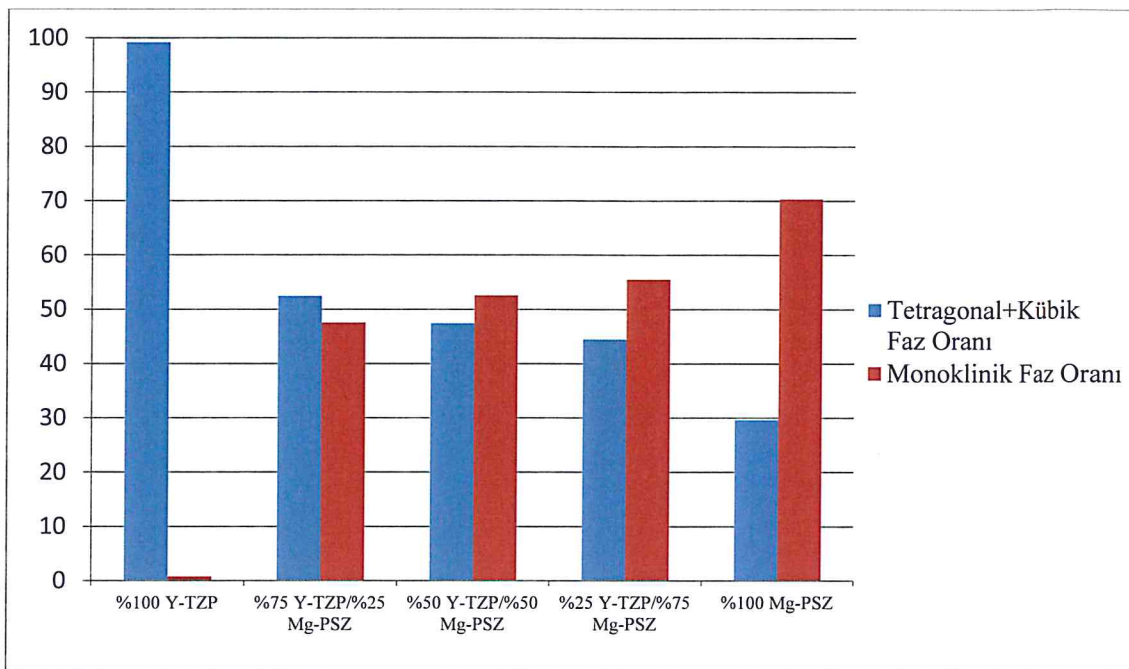
4.1.3.1.2 1450°C/2 saat sinterlenmiş numunelerin XRD sonuçları



Şekil 4. 19 1450°C - 2 Saat Sinterlenmiş Numunelerin XRD Grafiği

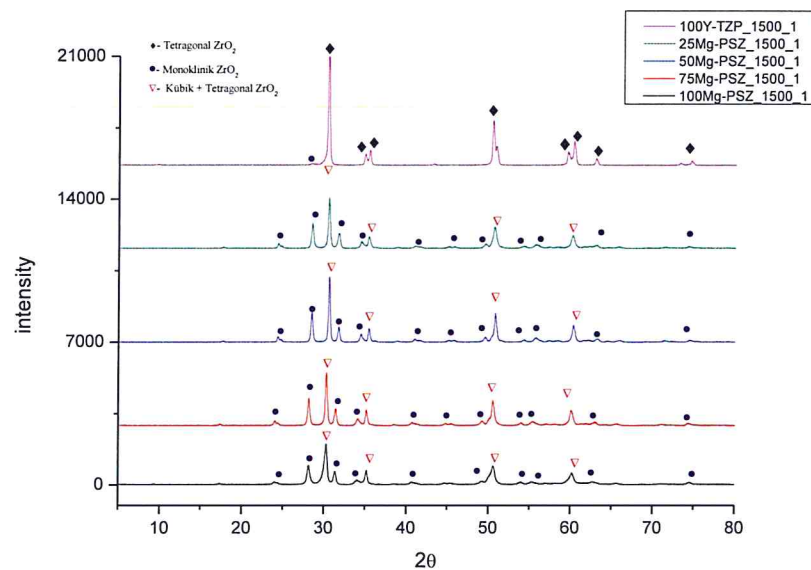
Tablo 4. 24 1450°C - 2 Saat Sinterlenen Numunelerin Faz Oranları

	Sinterleme	Tetragonal+Kübik Faz Oranı	Monoklinik Faz Oranı
%100 Y-TZP	1450/2	99,21	0,78
%75 Y-TZP/%25 Mg-PSZ	1450/2	52,44	47,56
%50 Y-TZP/%50 Mg-PSZ	1450/2	47,45	52,55
%25 Y-TZP/%75 Mg-PSZ	1450/2	44,46	55,54
%100 Mg-PSZ	1450/2	29,66	70,34



Şekil 4. 20 1450°C - 2 Saat Sinterlenen Numunelerin Faz Oranları Grafiği

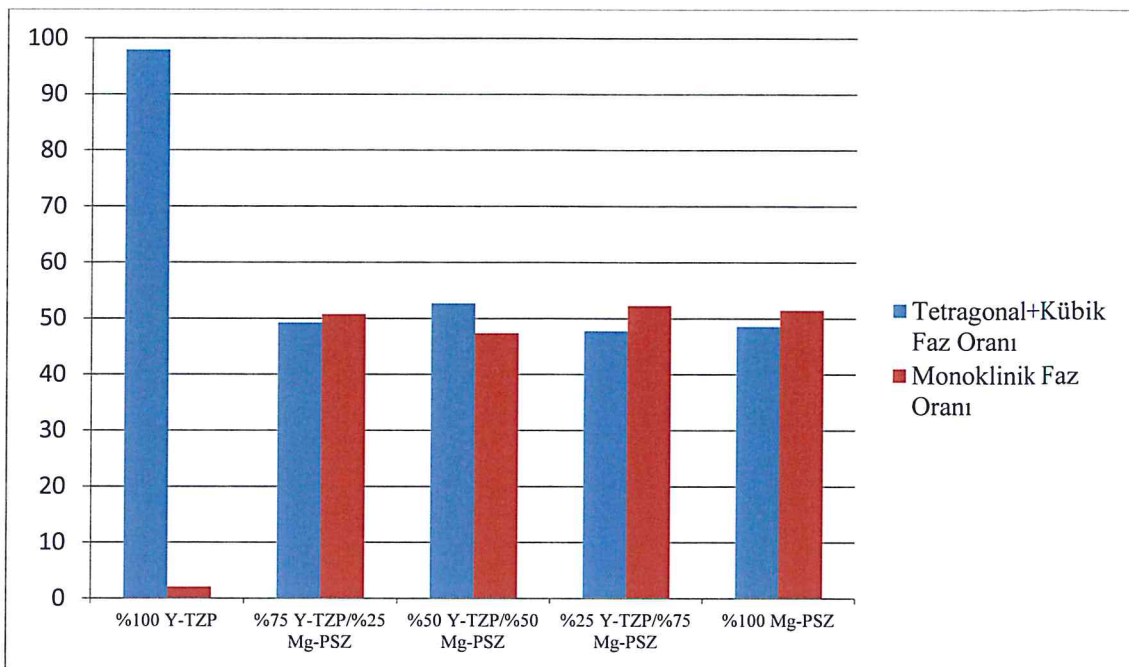
4.1.3.1.3 1500°C/1 saat sinterlenmiş numunelerin XRD sonuçları



Şekil 4. 21 1500°C - 1 Saat Sinterlenmiş Numunelerin XRD Grafiği

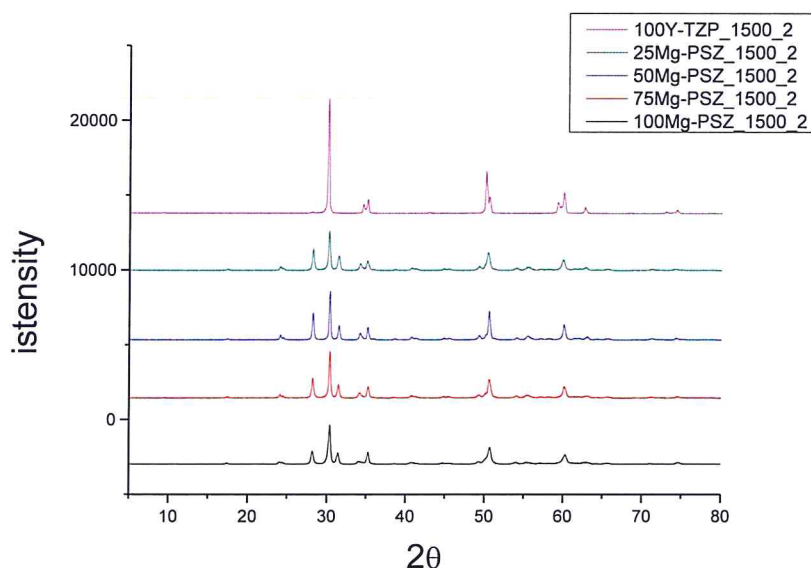
Tablo 4. 25 1500°C - 1 Saat Sinterlenen Numunelerin Faz Oranları

	Sinterleme	Tetragonal+kübik faz oranı	Monoklinik faz oranı
%100 Y-TZP	1500/1	97,92	2,08
%75 Y-TZP/%25 Mg-PSZ	1500/1	49,26	50,74
%50 Y-TZP/%50 Mg-PSZ	1500/1	52,64	47,36
%25 Y-TZP/%75 Mg-PSZ	1500/1	47,74	52,26
%100 Mg-PSZ	1500/1	48,56	51,44



Şekil 4. 22 1500°C - 1 Saat Sinterlenen Numunelerin Faz Oranları Grafiği

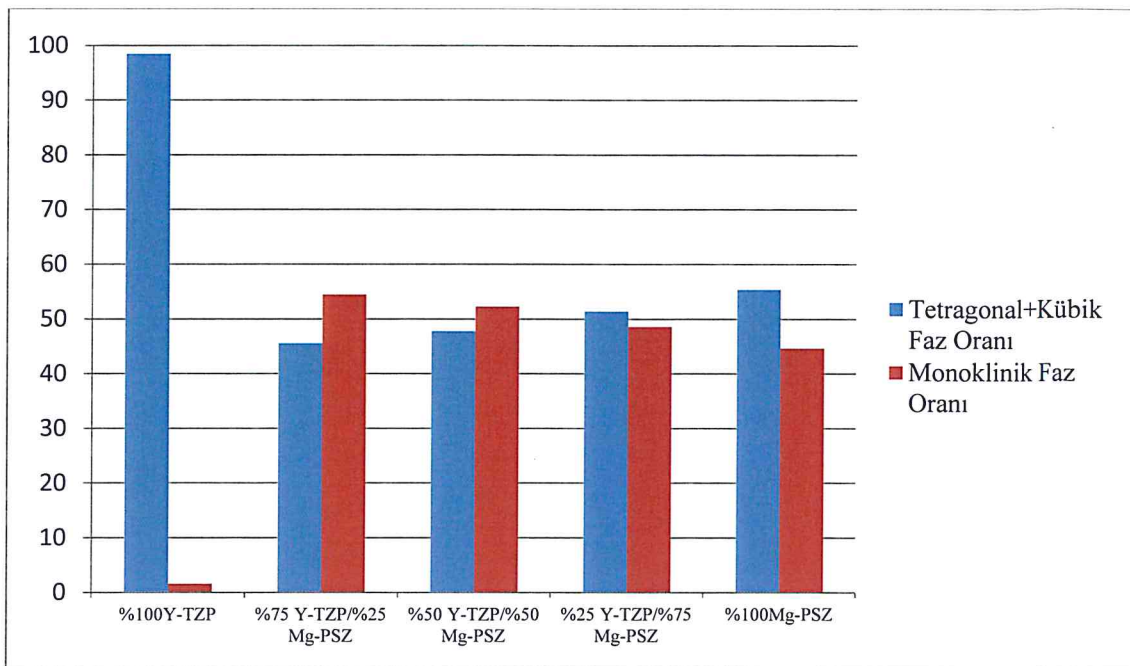
4.1.3.1.4 1500°C/2 saat sinterlenmiş numunelerin XRD sonuçları



Şekil 4. 23 1500°C - 2 Saat Sinterlenmiş Numunelerin XRD Grafiği

Tablo 4. 26 1500°C - 2 Saat Sinterlenen Numunelerin Faz Oranları

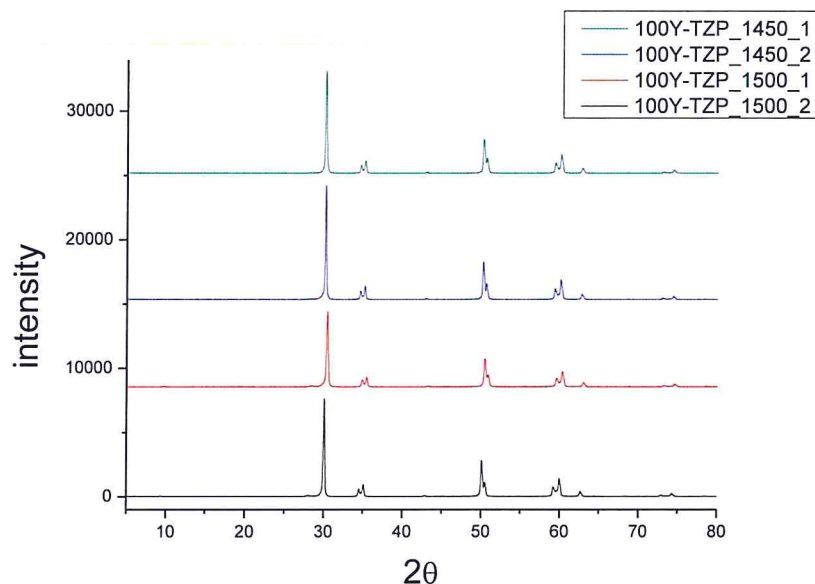
	Sinterleme	Tetragonal+Kübik Faz Oranı	Monoklinik Faz Oranı
%100Y-TZP	1500/2	98,43	1,56
%75 Y-TZP/%25 Mg-PSZ	1500/2	45,54	54,45
%50 Y-TZP/%50 Mg-PSZ	1500/2	47,75	52,25
%25 Y-TZP/%75 Mg-PSZ	1500/2	51,41	48,59
%100Mg-PSZ	1500/2	55,35	44,65



Şekil 4. 24 1500°C - 2 Saat Sinterlenen Numunelerin Faz Oranları Grafiği

4.1.3.2 Kompozisyonla Bağlı XRD Sonuçları ve Faz Analizi

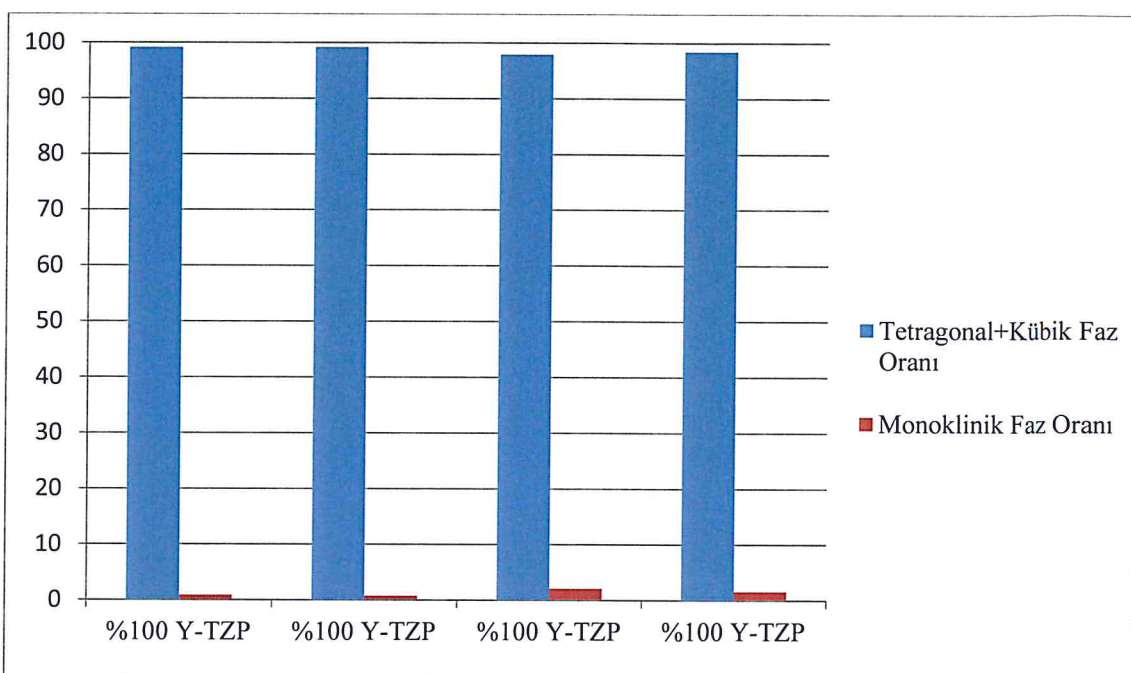
4.1.3.2.1 %100Y-TZP XRD sonuçları



Şekil 4. 25 %100Y-TZP XRD Grafiği

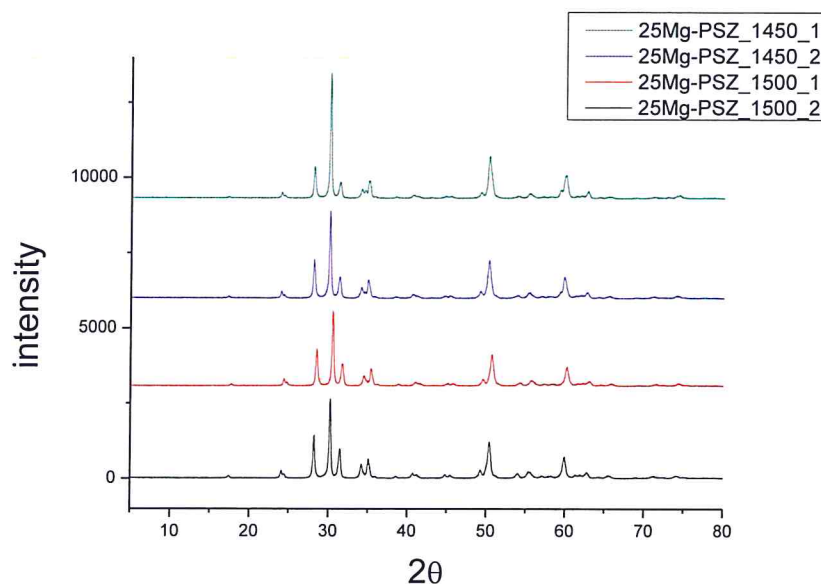
Tablo 4. 27 100Y-TZP Numunelerin Faz Oranları

	Sinterleme	Tetragonal+Cübik Faz Oranı	Monoklinik Faz Oranı
%100 Y-TZP	1450/1	99,15	0,85
%100 Y-TZP	1450/2	99,21	0,78
%100 Y-TZP	1500/1	97,92	2,08
%100 Y-TZP	1500/2	98,43	1,57



Şekil 4. 26 100Y-TZP Numunelerin Faz Oranları Grafiği

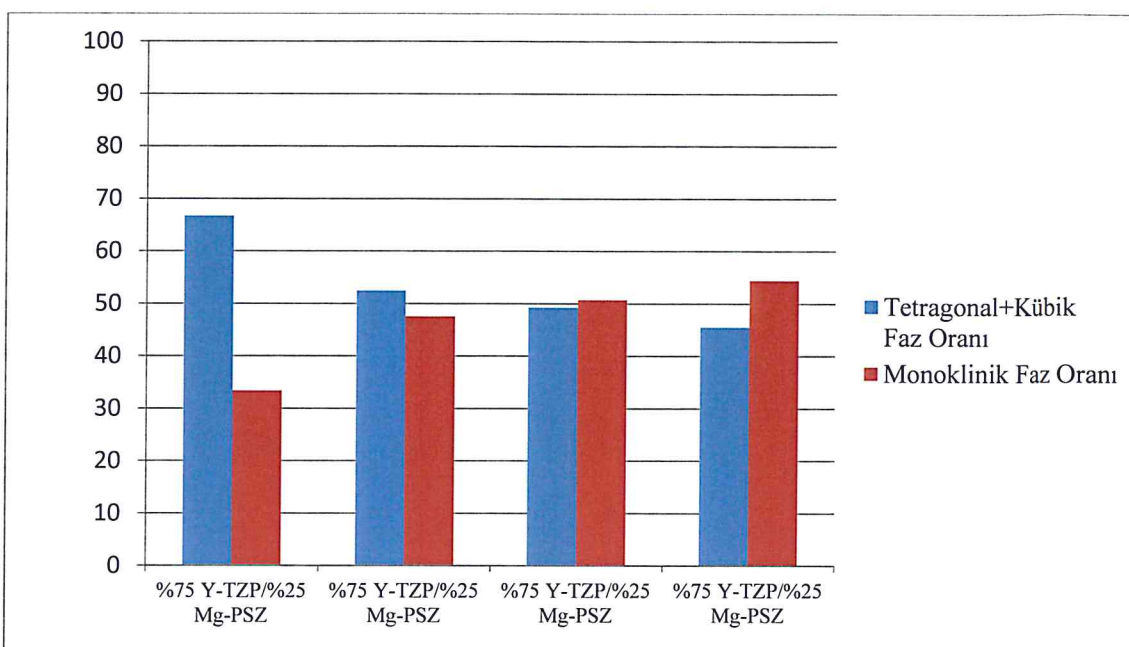
4.1.3.2.2 %75 Y-TZP/%25 Mg-PSZ XRD sonuçları



Şekil 4. 27 75Y-TZP/25Mg-PSZ XRD Grafiği

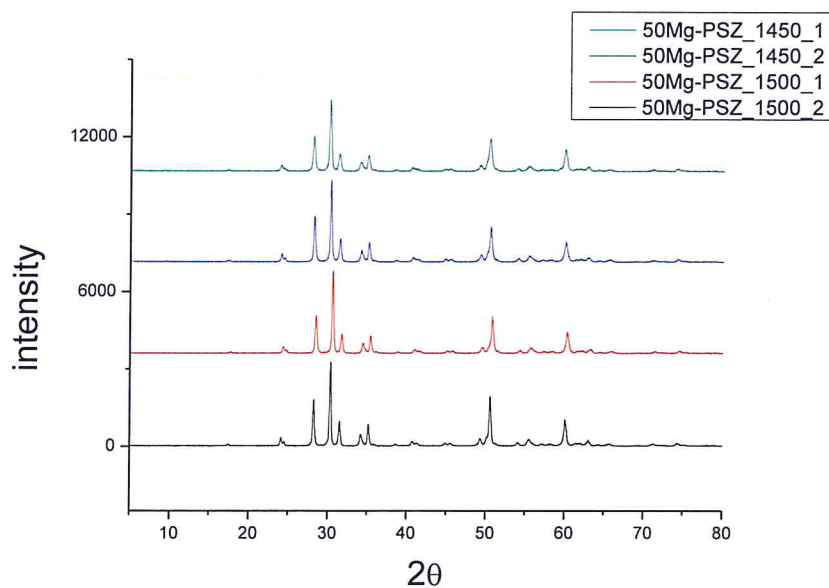
Tablo 4. 28 75Y-TZP/25Mg-PSZ Numunelerin Faz Oranları

	Sinterleme	Tetragonal+Kübik Faz Oranı	Monoklinik Faz Oranı
%75 Y-TZP/%25 Mg-PSZ	1450/1	66,68	33,32
%75 Y-TZP/%25 Mg-PSZ	1450/2	52,44	47,56
%75 Y-TZP/%25 Mg-PSZ	1500/1	49,26	50,74
%75 Y-TZP/%25 Mg-PSZ	1500/2	45,54	54,45



Şekil 4. 28 75Y-TZP/25Mg-PSZ Numunelerin Faz Oranları Grafiği

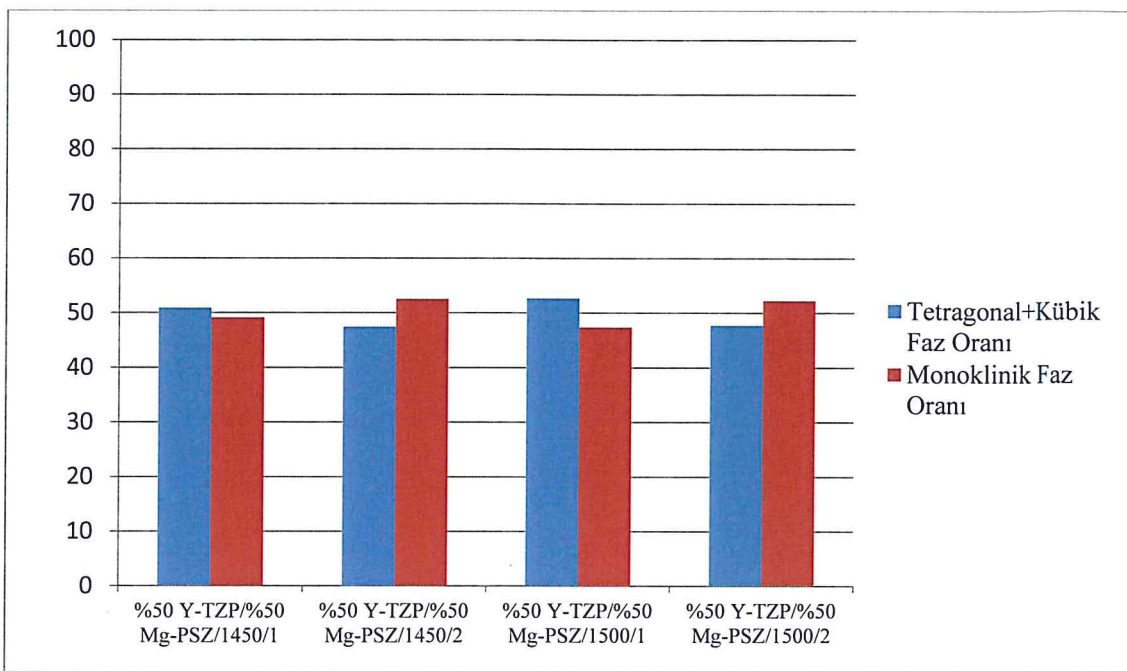
4.1.3.2.3 %50 Y-TZP/%50 Mg-PSZ XRD sonuçları



Şekil 4. 29 50Y-TZP/50Mg-PSZ XRD Grafiği

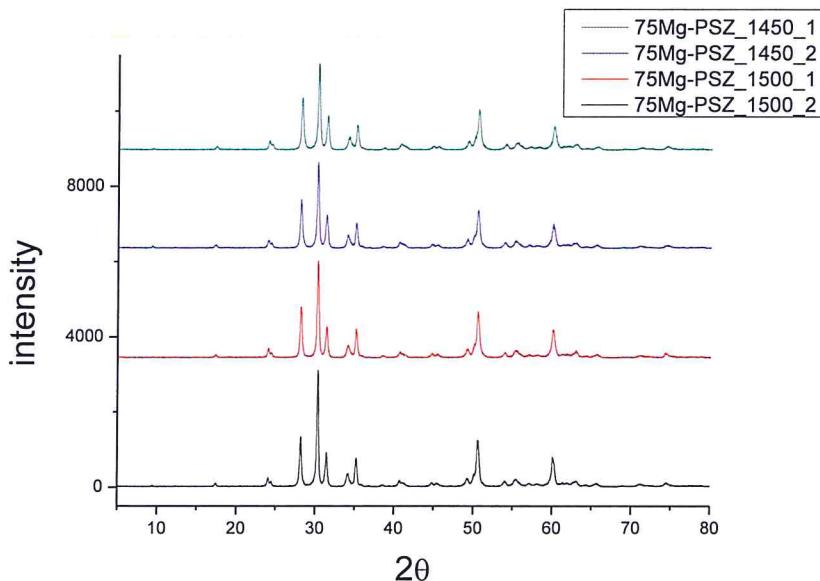
Tablo 4. 29 %50 Y-TZP/%50 Mg-PSZ Numunelerin Faz Oranları

	Sinterleme	Tetragonal+Kübik Faz Oranı	Monoklinik Faz Oranı
%50 Y-TZP/%50 Mg-PSZ	1450/1	50,88	49,12
%50 Y-TZP/%50 Mg-PSZ	1450/2	47,45	52,55
%50 Y-TZP/%50 Mg-PSZ	1500/1	52,64	47,36
%50 Y-TZP/%50 Mg-PSZ	1500/2	47,75	52,25



Şekil 4. 30 %50 Y-TZP/%50 Mg-PSZ Numunelerin Faz Oranları Grafiği

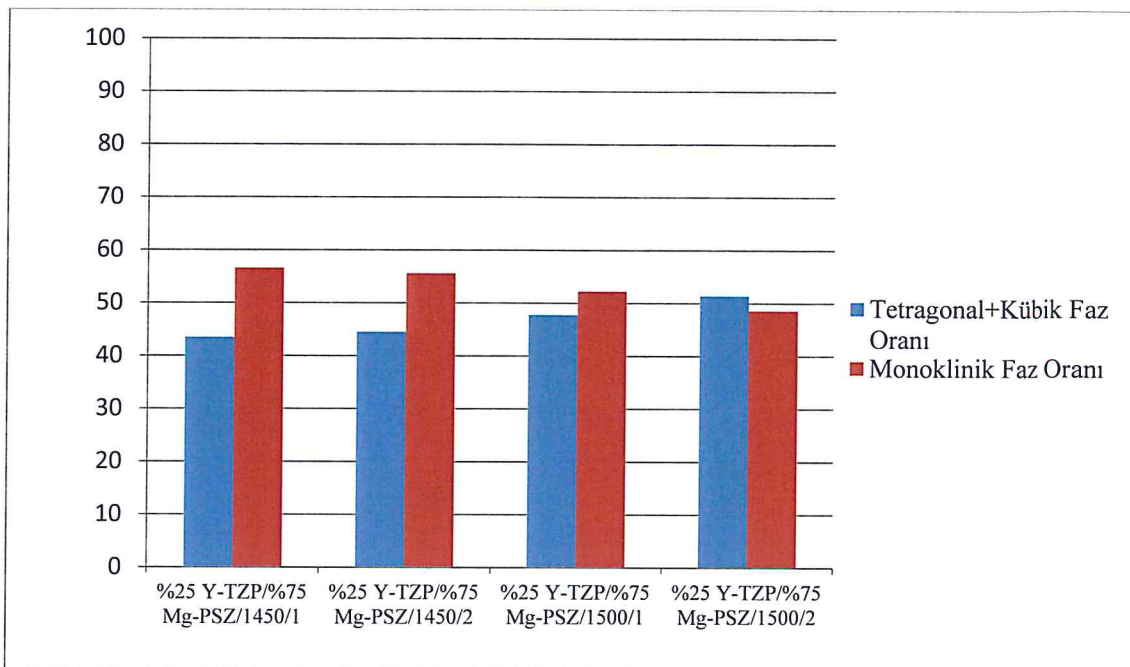
4.1.3.2.4 %25 Y-TZP/%75 Mg-PSZ XRD sonuçları



Şekil 4. 31 %25 Y-TZP/%75 Mg-PSZ XRD Grafiği

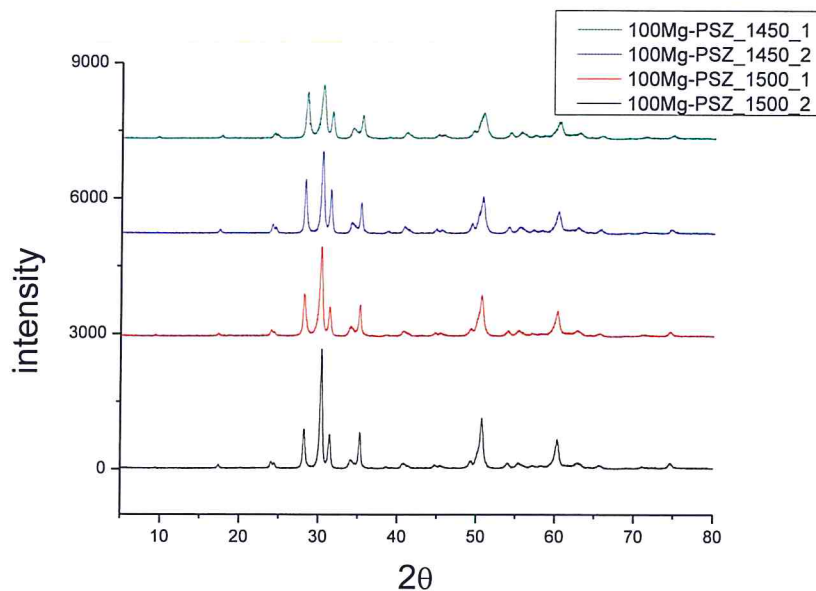
Tablo 4. 30 25Y-TZP/75Mg-PSZ Numunelerin Faz Oranları

	Sinterleme	Tetragonal+Kübik Faz Oranı	Monoklinik Faz Oranı
%25 Y-TZP/%75 Mg-PSZ	1450/1	43,47	56,53
%25 Y-TZP/%75 Mg-PSZ	1450/2	44,46	55,54
%25 Y-TZP/%75 Mg-PSZ	1500/1	47,74	52,26
%25 Y-TZP/%75 Mg-PSZ	1500/2	51,41	48,59



Şekil 4. 32 %25 Y-TZP/%75 Mg-PSZ Numunelerin Faz Oranları Grafiği

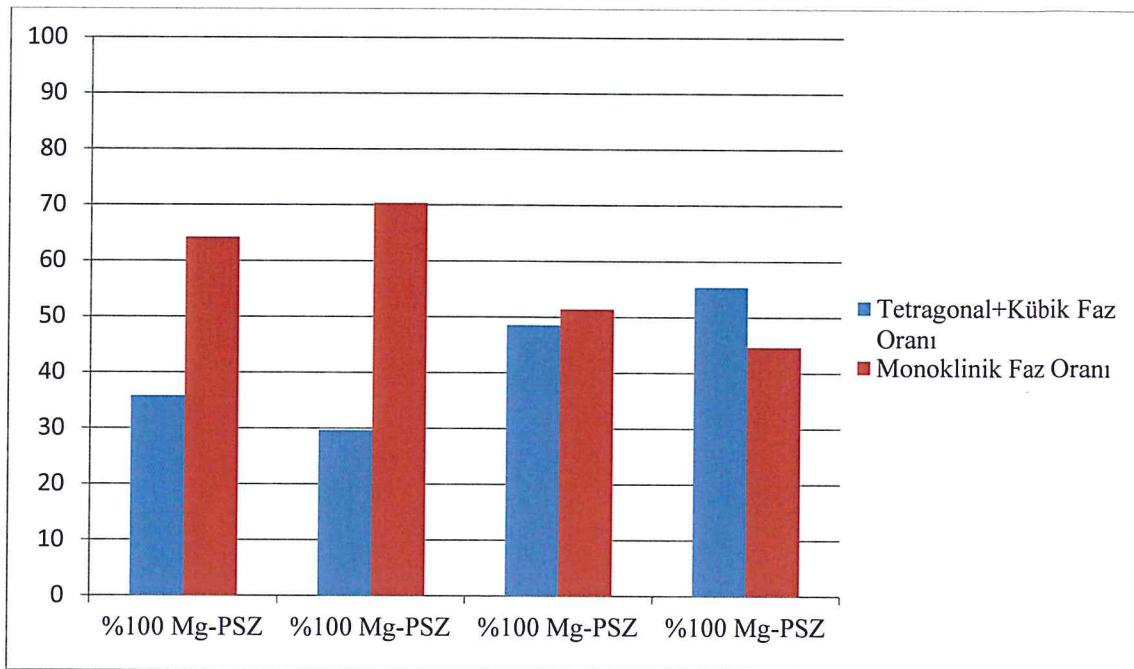
4.1.3.2.5 %100Mg-PSZ XRD sonuçları



Şekil 4. 33 %100 Mg-PSZ XRD Grafiği

Tablo 4. 31 %100 Mg-PSZ Numunelerin Faz Oranları

	Sinterleme	Tetragonal+Kübik Faz Oranı	Monoklinik Faz Oranı
%100 Mg-PSZ	1450/1	35,78	64,22
%100 Mg-PSZ	1450/2	29,66	70,34
%100 Mg-PSZ	1500/1	48,56	51,44
%100 Mg-PSZ	1500/2	55,35	44,65

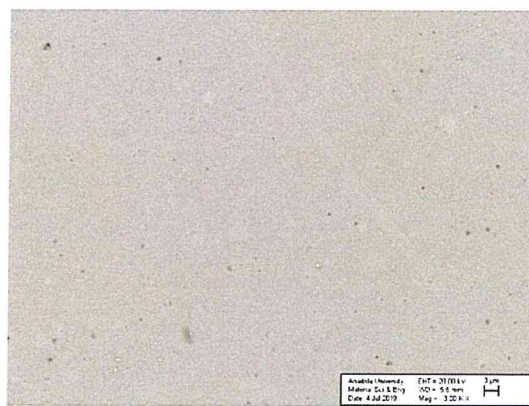


Şekil 4. 34 %100 Mg-PSZ Numunelerin Faz Oranları Grafiği

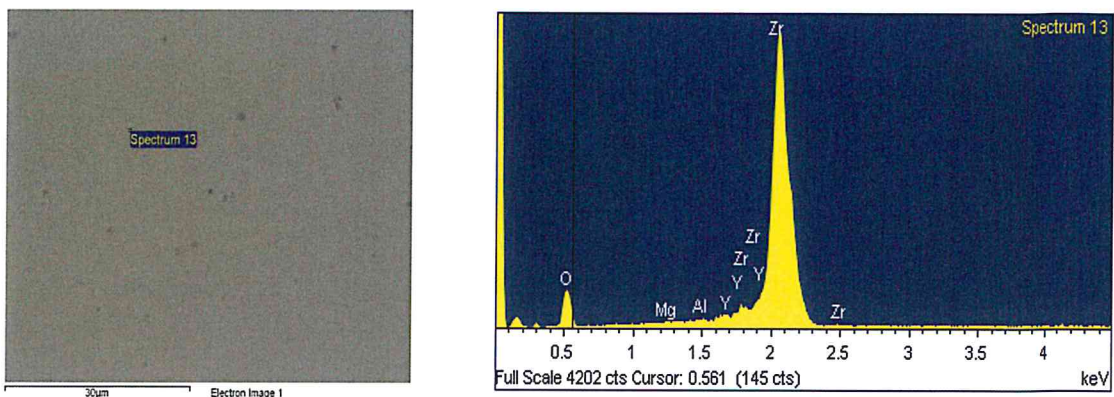
4.1.4 SEM ve EDS analizleri Sonuçları

1500°C sıcaklık ve 1 saat sinterlenmiş olan %100 Y-TZP, %100 Mg-PSZ ve en iyi sonuçları elde ettiğimiz %25 Y-TZP/%75 Mg-PSZ numunelerine 1200°C termal dağlama işlemi uygulanıp SEM ve EDS analizleri yapılmıştır.

4.1.4.1 %100 Y-TZP SEM ve EDS analizleri Sonuçları



Şekil 4. 35 %100 Y-TZP numunesinin SEM görüntüsü (10k X)

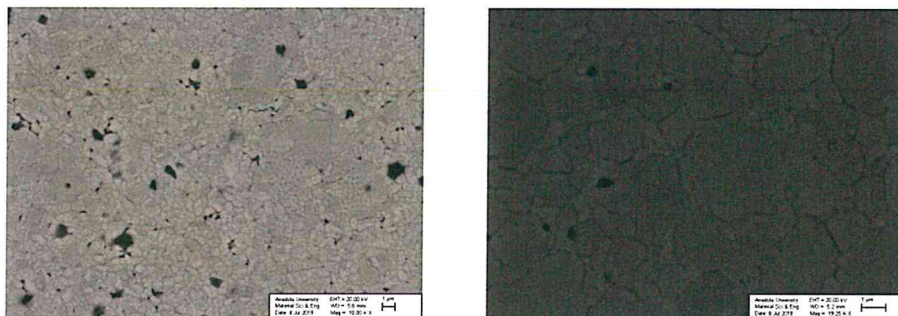


Şekil 4. 36 %100 Y-TZP numunesinin siyah tanenin EDS analizi

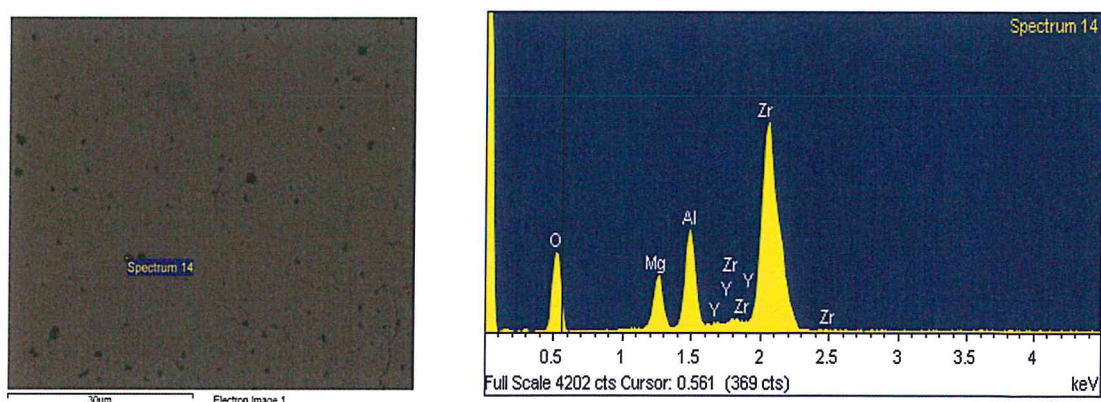
Tablo 4. 32 %100 Y-TZP numunesinin siyah tanenin EDS analiz sonuçları

Element	Ağırlık%	Atomik%
O	27.78	68.52
Mg	0.00	0.00
Al	0.21	0.31
Y	1.73	0.77
Zr	70.28	30.40

4.1.4.2 %25 Y-TZP/%75 Mg-PSZ SEM ve EDS analizleri Sonuçları



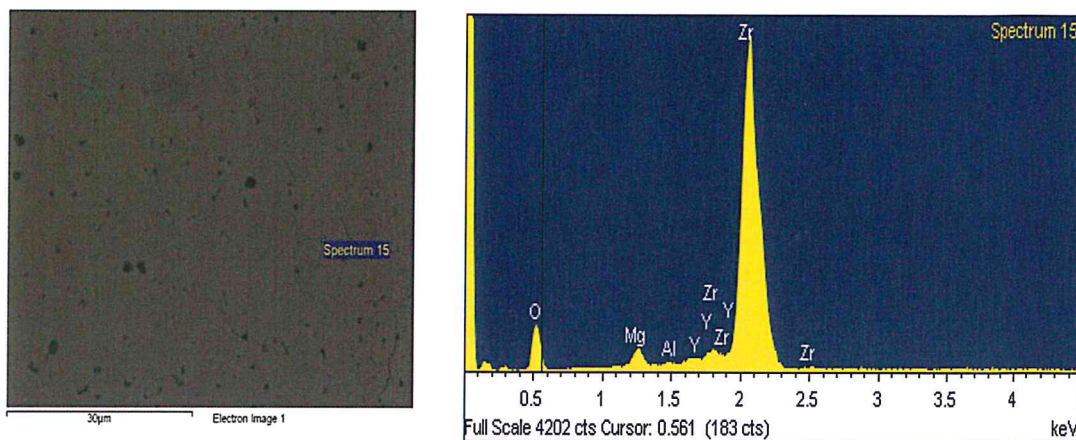
Şekil 4. 37 %25 Y-TZP/%75 Mg-PSZ numunesinin SEM görüntüsü (10k X,19.25k X)



Şekil 4. 38 %25 Y-TZP/%75 Mg-PSZ numunesinin siyah tanenin EDS analizi

Tablo 4. 33 %25 Y-TZP/%75 Mg-PSZ numunesinin siyah tanenin EDS analiz sonuçları

Element	Ağırlık%	Atomik%
O	39.54	70.50
Mg	5.10	5.99
Al	8.33	8.81
Y	0.00	0.00
Zr	47.03	14.71

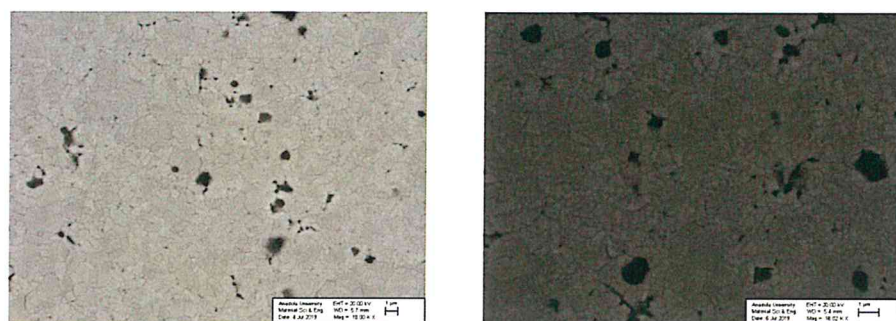


Şekil 4. 39 %25 Y-TZP/%75 Mg-PSZ numunesinin beyaz tanenin EDS analizi

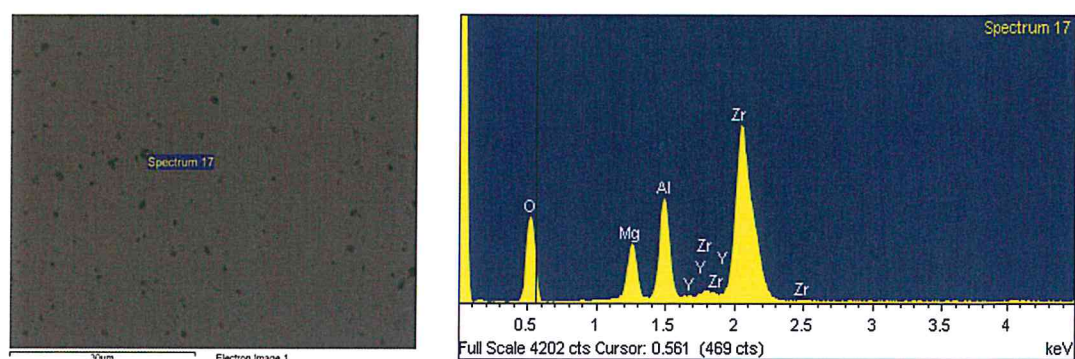
Tablo 4. 34 %25 Y-TZP/%75 Mg-PSZ numunesinin beyaz tanenin EDS analiz sonuçları

Element	Ağırlık%	Atomik%
O	28.96	68.32
Mg	1.84	2.86
Al	0.20	0.28
Y	0.00	0.00
Zr	68.99	28.54

4.1.4.3 %100 Mg-PSZ SEM ve EDS analizleri Sonuçları



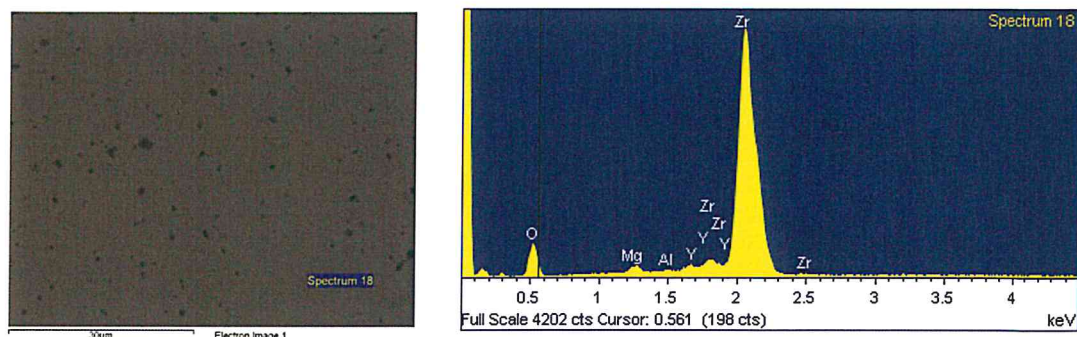
Şekil 4. 40 %100 Mg-PSZ numunesinin SEM görüntüsü (10k X, 16.02k X)



Şekil 4. 41 %100 Mg-PSZ numunesinin siyah tanenin EDS analizi

Tablo 4. 35 %25 Y-TZP/%75 Mg-PSZ numunesinin siyah tanenin EDS analiz sonuçları

Element	Ağırlık%	Atomik%
O	28.96	68.32
Mg	1.84	2.86
Al	0.20	0.28
Y	0.00	0.00
Zr	68.99	28.54



Şekil 4. 42 %100 Mg-PSZ numunesinin beyaz tanenin EDS analizi

Tablo 4. 36 %100 Mg-PSZ numunesinin beyaz tanenin EDS analiz sonuçları

Element	Ağırlık%	Atomik%
O	28.96	68.32
Mg	1.84	2.86
Al	0.20	0.28
Y	0.00	0.00
Zr	68.99	28.54

5-SONUÇ VE ÖNERİLER

Bu çalışmada, Y-TZP ve Mg-PSZ ile kısmi stabilize edilmiş zirkonya kullanılarak biyomalzemeler üretilmiş ve malzemelerin karakterizasyonları incelenmiştir.

Çalışma için yurtdışından Y-TZP ve Mg-PSZ temini yapılmıştır. Daha önce yapılan çalışmalar göz önünde bulundurularak 5 farklı kompozisyon oranı (%100 Y-TZP, %75 Y-TZP/ %25 Mg-PSZ, %50 Y-TZP/ %50 Mg-PSZ, %25 Y-TZP/ %75 Mg-PSZ, %100 Mg-PSZ) belirlenmiştir. Belirlenen kompozisyonlara bağlı olarak önceki yapılan çalışmalar göz önünde bulundurularak sinterleme sıcaklıkları (1450 ve 1500°C) ve sinterleme sürelerine (1 ve 2 saat) karar verilmiştir.

Belirlenen kompozisyonlar için gerekli Y-TZP ve Mg-PSZ tozları tartılmış, öğütme haznesinin içeresine bilyalar eklenerek 4 saat boyunca bilyeler yardımıyla ve 4 saat boyunca karıştırma işlemi yapılmıştır. Çıkan tozlar elekten geçirilmiştir sonra belirlenmiş numune boyutuna uyacak şekilde 14-15 Mpa basınç ile preslenmiştir. Soğuk izostatik presleme için numuneler tekrar kalıba alınarak yağ dolu hazneye bırakılarak tekrar 3 eksenli basınçta maruz bırakılmıştır. Soğuk izostatik presleme sonrası numuneler 700°C sıcaklıkta 2 saat süreyle uzaklaştırma işlemine tabii tutulmuş, daha sonra ise belirlenmiş sinterleme sıcaklıklarını ve sürelerine göre sinterleme işlemi yapılmıştır.

Elde edilen sonuçlar aşağıda sıralanmıştır.

- Farklı oranlarda hazırlanan numuneler arasında en düşük su emme oranına 0,0598 ile 1500 °C / 2 saat sinterlenmiş bir %100Y-TZP numunesi, en yüksek su emme oranı ise 1,0261 ile 1450 °C / 1 saat sinterlenmiş %100Y-TZP numunelerinde görülmüştür. Su emme oranına paralel olarak, görünür porozite oranlarında aynı numunelerde görülmüştür. Görünür porozite oranları 6,1349 ile 1450 °C / 1 saat sinterlenmiş %100Y-TZP numunesinde en yüksek, 0,3579 ile 1500 °C / 2 saat sinterlenmiş bir %100Y-TZP numunesinde en düşük orana ulaşıldığı görülmüştür.
- Sinterleme sonrası azalma olarak incelendiğinde en düşük oranda azalma 2,250% ile 1450 °C / 2 saat sinterlenmiş bir %100Y-TZP numunesinde, en yüksek oranda azalma ise 5,476% ile 1450 °C / 2 saat sinterlenmiş bir %25Y-TZP/%75Mg-PSZ numunesinde görülmüştür. En yüksek teorik yoğunluk oranı

99,51% ile 1500 °C / 1 saat sinterlenmiş %25Y-TZP/%75Mg-PSZ numunesinde, en düşük teorik yoğunluk ise 95,03% ile 1500 °C / 2 saat sinterlenmiş bir %75Y-TZP/%25Mg-PSZ numunesinde görülmüştür.

- Numunelerin ortalama sertlik ve kırılma tokluklarına bakıldığından en yüksek ortalama sertlik 12,20 GPa ile %100Y-TZP görülmüştür. En düşük sertlik ortalaması ise 50Y-TZP/%50 Mg-PSZ numunelerinde 5,65 GPa ile ölçülmüştür.
- Numunelerde en yüksek sertlik değerine 12,31 GPa ile 100Y-TZP/1450/1 numunesinde ulaşılmıştır. En düşük sertlik değeri ise 50Y-TZP/1450/2 numunesinde 5,44 GPa ile değerine ulaşılmıştır.
- Numunelerin kırılma tokluklarına bakıldığından $3,08 \text{ MPa.m}^{1/2}$ ile 50Y-TZP/1450/2 en düşük değer görülmüştür. $8,63 \text{ MPa.m}^{1/2}$ ile 100Mg-PSZ/1500/2 numunede en yüksek kırılma tokluğu değeri görülmüştür.
- Kırılma tokluğu ortalamalarına baktığımızda en yüksek kırılma tokluğu $7,64 \text{ MPa.m}^{1/2}$ değeri ile 100Mg-PSZ'de görülmüş, en düşük kırılma tokluğu $3,16 \text{ MPa.m}^{1/2}$ %50Y-TZP/%50 Mg-PSZ'de görülmüştür.

6-KAYNAKLAR

- Bostancıoğlu Beklem R., (2015). *Metal Katkılı Hidroksiyapatit Nanokaplama Malzemeleri Üzerinde Büyüütülen Yağ Dokusu Kaynaklı Mezenkimal Kök Hücrelerin Adezyon, Canlilik Ve Osteojenikfarklaşma Kapasitelerinin İn Vitro Yöntemlerle Değerlendirilmesi.* Doktora Tezi, Anadolu Üniversitesi, Fen Bilimleri Enstitüsü, Eskişehir.
- Boyacıoğlu T., (2007). *Katı Oksit Yakıt Hücrelerinde Elektrolit Malzemesi Olarak Kullanılan Kübik Zirkonyum Oksitin (C-ZrO₂) Değişik Oranlarda Metal Oksit Katkıları İle Oda Sıcaklığındaki Mekanik Özelliklerinin İyileştirilmesi.* Yüksek Lisans Tezi, Gazi Üniversitesi, Fen Bilimleri Enstitüsü, Ankara
- Bultan Ö., Öngül D. ve Türkoğlu P., (2010). Zirkonyanın Mikroyapılarına ve Üretim Şekillerine Göre Sınıflandırılması. Yüksek Lisans Tezi, İstanbul Üniversitesi, Sağlık Bilimleri Enstitüsü, İstanbul.
- Biyomalzeme Biliminin Diğer Dallarla İlişkisi, <http://aves.erciyes.edu.tr/ImageOfByte.aspx?Resim=8&SSNO=2&USER=7395> (Erişim Tarihi: 13.02.2018)
- Biyomalzeme Kullanımı, https://biomaten.metu.edu.tr/sites/biomaten.metu.edu.tr/files/Vasif_Hasirci_BIOMATEN.pdf (Erişim Tarihi:15.02.2018)
- Biyomalzemeler, <http://drntncl.blogspot.com/2016/01/biyomalzemeler.html> (Erişim Tarihi :15.02.2018)
- Biyaseramik Malzemeler, <http://docplayer.biz.tr/22988601-Seramik-esaslı-biyomalzemeler.html> (Erişim Tarihi: 15.02.2018)
- Biyaseramik Malzemeler, <https://docplayer.biz.tr/12481541-Biyoseramik-malzemeler.html> (Erişim Tarihi :16.02. 2018)
- Demir N., (2014). *Magnezyum Florür Katkılı Sığır Hidroksiyapatit Esaslı Kompozit Biyomalzeme Üretim Ve Karakterizasyonu.* Yüksek Lisans Tezi, İstanbul Teknik Üniversitesi, Fen Bilimleri Enstitüsü, İstanbul.
- Eğilmez F., Biçer Yıldırım A.Z. ve Ergün G., (2010). Zirkonyumla Güçlendirilmiş Seramikler ve Dental İmplantolojide Kullanımı. *Cumhuriyet Dental Journal*, 13(2).
- Günhan B., (2014). *Renkli Zirkonya Diş Bloklarının Üretimi ve Karakterizasyonu.* Yüksek Lisans Tezi, Dumluşpınar Üniversitesi, Fen Bilimleri Enstitüsü, Kütahya
- Gür Kaya A. ve Taşkin M., (2004). Metalik Biyomalzemeler Ve Biyoyumur. *Doğu Anadolu Bölgesi Araştırmaları*
- Güven Ş.Y., (2014). Biyoyumluluk ve Biyomalzemelerin Seçimi. *Süleyman Demirel Üniversitesi Mühendislik Bilimleri ve Tasarım Dergisi*, 2(3), 303-311.
- Karaalioğlu O.F. ve Duymuş Yeşil Z., (2008). Diş Hekimliğinde Uygulanan CAD/CAM Sistemleri. *Atatürk Univ. Di Hek. Fak. Derg.*, Cilt:18, Say:&:1, Sayfa: 25-32.

- Kükürtçü B., (2008). *Biyoaktif Cam ve Cam-Seramik Malzemelerin Üretimi ve Yapay Vücut Sıvısı İçerisindeki Davranımlarının İncelenmesi*. Yüksek Lisans Tezi, İstanbul Teknik Üniversitesi, Fen Bilimleri Enstitüsü, İstanbul.
- Matik H.T., (2018). *Zirkonya Bazlı Diş Dolgularının Geri Kazanılması*. Yüksek Lisans Tezi, Karabük Üniversitesi, Fen Bilimleri Enstitüsü, Karabük.
- Nağış Çekiç I. Ve Ergün G., (2008). Zirkonya Seramiklerin Diş Hekimliğindeki Yeri ve Geleceği. *Gazi Üniversitesi Diş Hekimliği Fakültesi Dergisi*, 25(3):51-60.
- Ortopedide Kullanılan Polimer Esaslı Kompozit Mazlumeler, <https://kimyaca.com/biyouyumlulu-polimerik-malzemeler/#prettyPhoto> (Erişim Tarihi :20.02.2018)
- Özcan T., (2010). *Biyonanoimplantların Biyoyumluluğu*. Yüksek Lisans Tezi, Balıkesir Üniversitesi, Fen Bilimleri Enstitüsü, Balıkesir.
- Özkan A., Şişik N. ve Öztürk U., (2016). Kompozit Malzemelerin Ağız, Yüz, Çene Cerrahisinde Kullanımı ve Malzeme Uygunluklarının Belirlenmesi. *Düzce Üniversitesi Bilim ve Teknoloji Dergisi*, 4 , 227-242.
- Pasinli A., (2004). Biyomedikal Uygulamalarda Kullanıla Biyomalzemeler. *Makine Teknolojileri Dergisi*, 25-34.
- Sarsılmaz F. ve Sarsılmaz C., (2003). Ortopedide Kullanılan Polimer Esaslı Kompozit Malzemeler. *Doğu Anadolu Bölgesi Araştırmaları*,3.
- Sünbü'l A.E., (2007). *Müllit/Zirkonya Kompozitlerin, Müllit Tanelerinin Yönlenmesine Bağlı Tokluğu*. Yüksek Lisans Tezi, Gebze Yüksek Teknoloji Enstitüsü, Mühendislik ve Fen Bilimleri Enstitüsü, Gebze
- Tekin Hazır Y., (2017). *Zirkonya Esaslı Tam Seramik ve Metal Destekli Seramik Kronların Marjinal Uyumlularının ve Çıgneme Simülatörü Sonrası Aşınma Miktarlarının Değerlendirilmesi*. Uzmanlık Tezi, Gaziosmanpaşa Üniversitesi, Sağlık Bilimleri Enstitüsü, Tokat.
- Tüylek Z., (2017). Biomateryaller ve Sağlıkta Kullanımı. *Bozok Tıp Derg.*, 7(4):80-9.
- Uz M.M., (2018). *Dental Uygulamalara Yönelik İtriya Katkılı Zirkonya Seramik Tozlarının Sentezi ve Kalıplanabilirlik Özelliklerinin İncelenmesi*. Yüksek Lisans Tezi, Yıldız Teknik Üniversitesi, Fen Bilimleri Enstitüsü, İstanbul.
- Yazıcı E.G., (2013). *MgO-Kısmen Stabilize Zirkonya Dental Altyapı Seramiklerin Üretimi ve Karakterizasyonu*. Yüksek Lisans Tezi, Afyon Kocatepe Üniversitesi, Bilimleri Enstitüsü, Afyon.
- Yelten A., (2010). *Sol-Jel Yöntemi ile Üretilmiş Alümina-Bovine Hidroksiapatit (Bha) Kompozitlerinin Özellikleri ve Karakterizasyonu*. Yüksek Lisans Tezi, İstanbul Üniversitesi, Fen Bilimleri Enstitüsü, İstanbul
- Yerliyurt K., (2014). Restoratif Diş Hekimliğinde Zirkonyum Uygulamaları. *Kocatepe Tıp Dergisi*, 15(2):202-6.
- Yıldırım B., (2014). *Zirkonya Alt Yapıya Uygulanan Farklı Yüzey İşlemlerinin Zirkonya-Siman Arasındaki Fiziksel Bağlanma Özelliklerine Etkisinin Araştırılması*. Doktora Tezi, Ege Üniversitesi, Sağlık Bilimleri Enstitüsü, İzmir.
- Yılmaz M., (2016). *Zirkonya İle Toklastırılmış Alümina (ZTA) Biyo Seramik İmplant Malzemelerin Üretimi*, Yüksek Lisans Tezi, Kocaeli Üniversitesi, Fen Bilimleri Enstitüsü, Kocaeli.

Zümrüt Z., (2019). *Tam Faktöriyel Deney Tasarımı Tekniği ile Hidroksiapit Kaplı Titanyum İmplant Malzemelerin Mekanik Özellikleri Üzerine Parametrelerin Etkisi*. Yüksek Lisans Tezi, İstanbul Teknik Üniversitesi, Fen Bilimleri Enstitüsü, İstanbul.

ÖZGEÇMİŞ

Adı-Soyadı : Bilal SÖYLEMEZ
Doğum Yeri ve Tarihi : Alanya/Antalya 24.09.1991
Yabancı Dili : İngilizce
İletişim (Telefon/e-posta) : 0 545 407 06 07 / bilalsoylemezoglu@gmail.com

Eğitim Geçmişi ve Mezuniyet yılı

Lise : Fevzi Alaettinoğlu Lisesi - 2010
Lisans : Fırat Üniversitesi, Metalurji ve Malzeme Mühendisliği - 2014
Yüksek Lisans : Alanya Alaaddin Keykubat Üniversitesi, Malzeme Bilimi ve Mühendisliği Anabilim Dalı - 2019